

The water clock of the Bronze Age (Northern Black Sea Coast)

Larisa N. Vodolazhskaya¹, Anatoliy N. Usachuk², Mikhail Yu. Nevsky³

¹ Southern Federal University (SFU), Rostov-on-Don, Russian Federation; E-mails: larisavodol@aaatec.org, larisavodol@yahoo.com

² Department Donetsk Regional Museum, Donetsk, Ukraine; E-mail: doold@mail.ru

³ Southern Federal University (SFU), Rostov-on-Don, Russian Federation; E-mail: mnevsk@gmail.com

Abstract

In the article presents the results of the multidisciplinary study conducted with the help of archaeological, physical and astronomical methods. The aim of the study was to analyze and interpret marks and drawings applied to the surface of the vessel of the Bronze Age (Srubna culture) found near the Staropetrovsky village (Donetsk region, Ukraine) near the border between the Donetsk and Lugansk regions. The carried out calculations and measurements possible to prove that staropetrovsky vessel is the most ancient water clock, discovered on the territory of Europe, and have approximately the same age as the oldest known ancient Egyptian water clock. Such vessels - water clocks were needed for Srubna population to mark sundial, which had recently been discovered in the Northern Black Sea Coast.

Based on the analysis of marks on the outside of the vessel, it was revealed that Staropetrovsky vessel is unique ancient complex device for measuring time and at the same time using a water clock, and with the help of a sundial, allows to monitor of the uneven apparent motion of the Sun long before the existing written evidence about such monitoring.

Series of marks on the outer surface of the vessel and on its corolla was associated with the star Sirius and its heliacal rising. Given in this paper the results of astronomical calculations allow to state that astronomical beginning of the year recorded since the heliacal rising of Sirius at the Srubna population of the Northern Black Sea Coast.

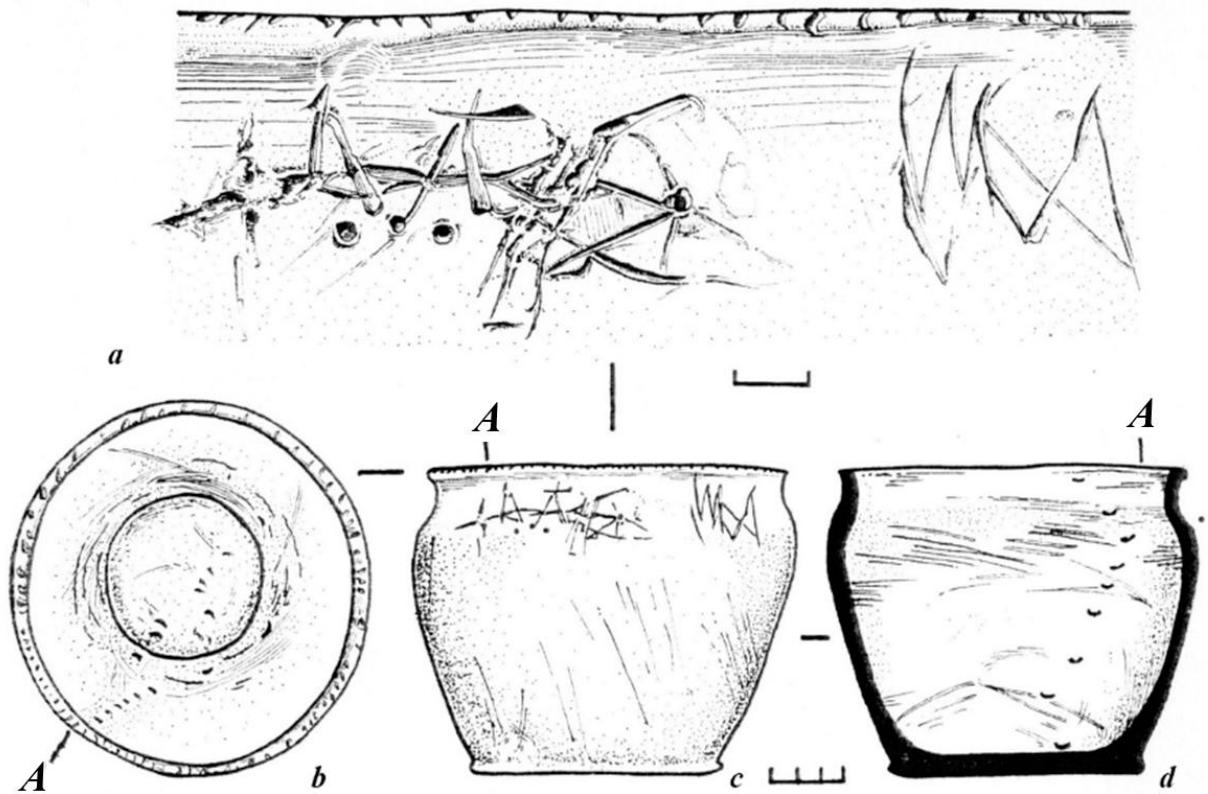
Keywords: archaeoastronomy, modeling, Srubna culture, vessel, marks, water clock, sundial, equation of time, Sirius, heliacal rising.

Introduction

In 1985, near the village of Staropetrovsky neighborhood Yenakiyevo a clay pot, owned Srubna culture and dating XV-XIV centuries BC, was found in a ruined barrow [1-3]. Its uniqueness lies in the combination groups of signs printed on the outer and inner surface of the vessel. Especially rare is the label on the inside of the vessel, which is a vertical row of nail marks (Fig. 1).

Staropetrovsky vessel is not very symmetrical shape. Its height from 11.6-11.8 cm to 12.0-12.2 cm. The diameter of the corolla is 14.3-14.6 cm, of bottom – 9.4-9.8 cm.

Color of staropetrovsky vessel outside - yellow-gray with dark gray (sometimes to almost black) spots. A crack on the fracture is dark gray without sharp interlayers. In general, the roasting vessel is qualitative enough, the sound is clear and voiced when tapped on the walls of the vessel.



e



f

Figure 1. Vil. Staropetrovsky, ruined barrow, vessel with the marks on the inner surface: *a* - drawing composition on the outer side of the vessel, *b* - top view (drawing), *c* - a side view (drawing), *d* - marks on the inner side surface (drawing); *A* - place labeling on the inner surface relative the compositions on the outside of the vessel (drawing: V.B. Punkovsky, A.N. Usachuk, 1993), *e* - Photo of the outer side surface of the vessel (photo by A.N. Usachuk, 2014), *f* - photo inner surface of the vessel (photo by A.N. Usachuk, 2014).

Plot of the outer surface of Staropetrovsky vessel is covered with incised signs (Fig. 1). The vertical line of the nail marks extends on the inner surface of the vessel. Eight nail marks deposited on the lateral side of the vessel detected only.

At the moment, a unique vessel is stored in the Donetsk regional museum. He miraculously survived during the bombing of the museum in August 2014¹.

The ancient water clock

The best-known type of ancient vessels with vertical marks is water clock (clepsydra).

The earliest mention of a water clock was found in the texts of cuneiform tablets of collections Enuma - Anu - Enlil (XVII-XII century BC) and MUL.APIN (VII century BC.) [4]. In these tablets speaks about water clock in connection with the board to the guards in the daytime and nighttime.

However, the ancient water clocks and fragments thereof from Mesopotamia were not found until now. Is therefore their appearance remains unclear. It is assumed that in Babylon could be used water clocks of cylindrical shape [5].

The oldest of discovered water clocks were found in Egyptian territory at Karnak and date the era of Amenhotep III (XIV c. BC) (Fig. 2 a). In Egypt, was also found an inscription with description the water clock in the tomb of Amenemhet (XVI c. BC), dignitary of times of Amenhotep I, which asserted that Amenemhet was their inventor [6].

Fragments of the Egyptian clepsydra and reduced copies were found too. They dated Hellenistic and Roman periods [7 - 12].

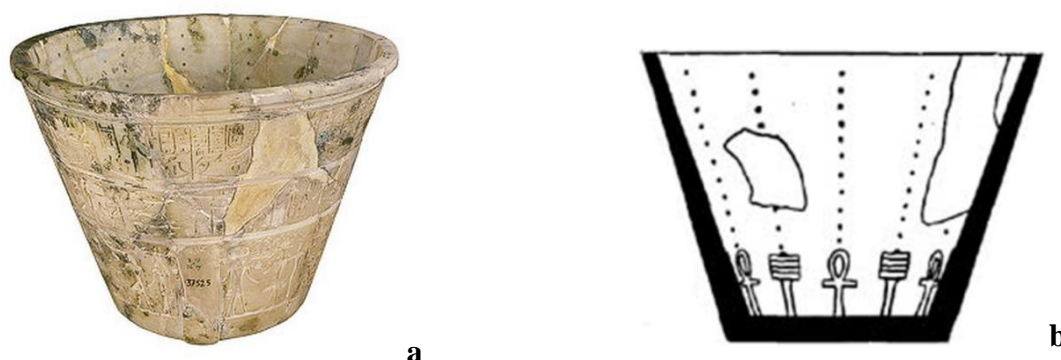


Figure 2. Karnak clepsydra: *a* - photo of clepsydra (Cairo, Egyptian Museum)², *b* - scheme of Karnak clepsydra scales on its inner surface [13].

The ancient water clocks could have a different shape (inverted truncated cone, prism, cylinder, etc..) And they measured the volume of flowing or flowing water. Water clock could be filled and flowing down type [14].

Water clocks were used to measure time indoors, often in the temples in the commission of divine service when required to consider the time. Every hour of the day was dedicated to a

¹ <http://www.youtube.com/watch?v=FKkCIKYM2dc>

² http://www.eternalegypt.org/EternalEgyptWebsiteWeb/HomeServlet?ee_website_action_key=action.display.text.viewer&language_id=1&element_id=60513&name=19741&image_name=http://www.eternalegypt.org/images/elements/19741_310x310.jpg&mode=1n&title=Water%20Clock

deity, and a special prayer dedicated to each deity. Water clocks were an important tool for determining the time in astronomical observations at night [15].

Counting out of time in the Egyptian clepsydras was produced on the graduated scales inflicted on the internal surface of vessel. Clepsydra from Karnak had 12 similar scales of different length, probably, on one on every month of year (fig. of 2b). They were divided into 11 intervals, probably, allowing to measure time from the end of 1th hour to the end of 12th o'clock of night. By an initial point for measuring, maybe, rising or culmination of certain star served, whereupon counting out of clock was produced regardless of star supervisions [16]

In some other standards of clepsydras also there were 12 scales, but divided already into 12 intervals. In a number of clepsydras distribution of scales on months was uneven [17]. Thus, there were not strict rules for marking of the Egyptian clepsydras, and they fully could change in different epochs.

Calculations of volume of staropetrovsky vessel

Discovered in 1985 near-by the settlement of Staropetrovsky Srubna vessel has marks on an internal side, reminding marking of clepsydras [18].

Originally, on the basis of drawing published before (fig. 1), we conducted the calculations of volumes, corresponding to the marks of vessel. A vessel was mentally divided into eight horizontal layers between nine marks. From the steep bends of lateral walls, for more exact calculation of volume of vessel, layer between the first and second marks was additionally divided into four layers, and layer between eighth and ninth marks - on two layers. Space between a bottom and first mark, and also by a ninth mark and overhead edge of vessel, also examined by us, as separate layers. Thus, a vessel was mentally broken by us on thirteen layers (N=13).

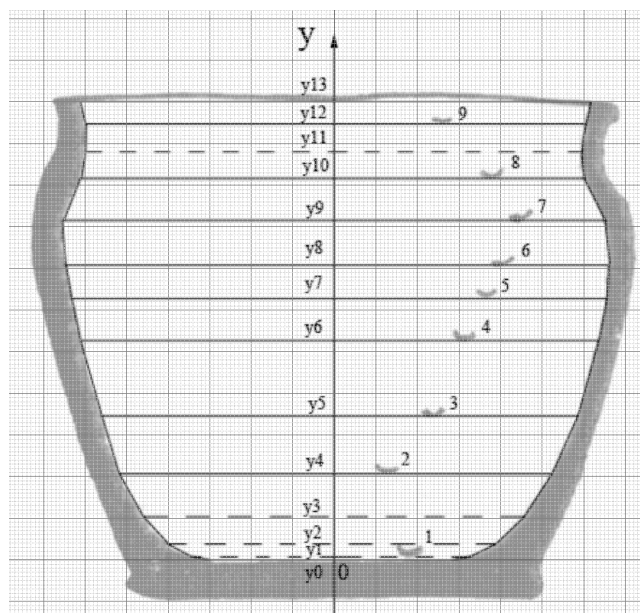


Figure 2. Vil.Staropetrovsky, ruined barrow, vessel with the marks on the inner surface: Y is the vertical co-ordinate axis directed from a bottom to the halo of vessel, y_i - coordinates of marks and auxiliary layers on the axis of Y. Next to marks their numbers are filled in.

The side of vessel we approximated a polyline corresponding to dividing of vessel by layers (fig. 3). Every layer was presented by us, as the truncated sloping abrupt the volume of that settled accounts on a formula 1:

$$V_i = \frac{1}{12} \cdot \pi \cdot h_i \cdot (d_{i-1}^2 + d_{i-1} \cdot d_i + d_i^2),$$

где $h_i = y_i - y_{i-1}$,

$i \in [1; N]$

(1)

V_i – calculated volume of i cone, i – number of cone, y_i - coordinate of mark of vessel or auxiliary layer on the axis of Y (for the bottom $i=0$), h_i – height of i cone, d_i – diameter of founding of i cone, N – common amount of layers. In our case $N=13$.

The results of our calculations are presented in a table 1.

Table 1. Calculated volumes of layers - the truncated cones; i – number of cone, y_i - coordinate of mark of vessel or auxiliary layer on the axis of Y (for the bottom $i=0$), h_i – height of i cone, d_i – diameter of founding of i cone, V_i – calculated volume of i cone.

i	y_i (cm)	h_i (cm)	d_i (cm)	V_i (cm ³)
0	0.0	0.0	5.8	-
1	0.1	0.1	6.7	3.1
2	0.4	0.3	7.9	12.6
3	1.1	0.7	9.2	40.0
4	2.1	1.0	10.5	75.7
5	3.5	1.4	11.5	132.9
6	5.3	1.8	12.5	203.6
7	6.3	1.0	12.9	126.5
8	7.2	0.9	13.1	119.5
9	8.2	1.0	13.1	134.3
10	9.2	1.0	12.0	123.7
11	9.8	0.6	11.9	67.6
12	10.5	0.7	12.0	78.8
13	11.0	0.5	12.2	57.9

Calculated by us on drawing the total volume of vessel is equal to the sum of volumes of all layers of $V_{all}=1176.2$ cm³.

The resulting volumes of layers between marks are presented in a table 2.

Table 2. Calculated resulting volumes of layers - the truncated cones between marks; m - number of mark, j - number of layer between marks, V_j - volume of j layer.

m	j	V_j , cm ³
1	-	-
2	1	128.3
3	2	132.9
4	3	203.6
5	4	126.5
6	5	119.5
7	6	134.3
8	7	123.7
9	8	146.4

The measured maxheight of staropetrovsky vessel is equal 12.2 cm.

The volume of vessel between extreme (1th and 9th) marks settled accounts by us on a formula 2, mean volume of layer between marks - on a formula 3, and standard deviation settled accounts on a formula 4 [19]:

where V_{marks} - volume of vessel between extreme (1th and 9th) marks, j - number of layer between marks, n - common amount of layers between marks ($n=8$), V_j - volume of j layer, V_{ar_m} - mean volume (arithmetical mean) of layer between marks, σ - standard deviation.

$$V_{marks} = \sum_{j=1}^n V_j \quad (2)$$

$$V_{ar_m} = \sum_{j=1}^n \frac{V_j}{n} \quad (3)$$

$$\sigma = \pm \sqrt{\frac{1}{n} \sum_{j=1}^n (V_{ar_m} - V_j)^2} \quad (4)$$

Expected on a formula 2 volume of vessel between the extreme (1th and 9th) marks of $V_{marks} = 1115.3 \text{ cm}^3$. Expected on a formula 3 mean volume of layer between the marks of $V_{ar_m} = 139.4 \text{ cm}^3$. Expected on a formula 4 standard deviation $\sigma = \pm 25.4 \text{ cm}^3$. Thus, the volume of every layer of vessel between two nearby marks appeared equal $139.4 \pm 25.4 \text{ cm}^3$. The volumes of almost all layers got in this range. Only the volume of 3th layer on 38.8 cm^3 (23.5%) exceeded the high bound of the indicated range. For finding out of reason of such rejection realization of the direct measuring of volume of vessel was required by water. If reason consisted in inaccuracy of drawing, then such measuring fully would confirm our hypothesis that a staropetrovsky vessel could be used as clepsydras.

Thus, the calculations conducted by us on the basis of the primary drawing of staropetrovsky vessel, in the first approaching, confirmed a hypothesis that a staropetrovsky vessel could be the clepsydra of story type for measuring of temporal intervals of equal duration, as marks marked volumes approximately the same size. However, for a final conclusion, measuring of volume of vessel was required by water.

Measuring of volume of staropetrovsky vessel

For verification of results of calculations and clarification of volume, A.N. Usachuk conducted measuring of volume of every layer of vessel between marks by means of water. In an order to obtain maximal exactness of measuring, chemical laboratory measure glasses were used: on 200 ml (№ 00159) and on 25 ml (without №) of PAO "Steklopribor".

In the process of the repeated study of marks it was educed on the internal side of staropetrovsky vessel, that a 1th mark on drawing behaves to the group of marks on the bottom of vessel, as is on continuation of line along that most marks of bottom are situated. However, approximately on the same height, but on continuation of line along that most lateral marks are situated, there is another mark not marked on the primary drawing. This mark and was numbered by us in measuring, as a 1th mark (fig. 4). It was also discovered that the 9th mark of drawing by

sight notably differs from other marks and actually is a casual scratch, therefore by us it was not examined in measuring. And, as a result, measuring of volume between 8th and 9th marks not produced.

At comparison of location of marks with a picture on the external side of vessel it was educed, that mark 7 is situated approximately at the same level, what underbody of rim of "wheel", and mark 8 - at the level of center of wheel. I.e. the elements of "wheel" could perform the duty of marks on exteriority of vessel. Supposing that overhead part of rim of "wheel" also could act part mark, we made an effort take into account and it in the further measuring water, designating, as a mark of T.



Figure 4. Vil. Staropetrovsky, ruined barrow, vessel with the marks on the inner surface, photo of internal surface of vessel. On a photo next to marks on the side of their number in measuring.

Every measuring of vessel water was produced in six repetitions. Water was poured by means of measure glasses (determining a volume to the same) to each of marks and for marks on an internal side measured the height of water level from a bottom. The results of measuring are presented in a table 3 and 4.

Table 3. Results of measuring of volume of vessel by water; V_{m_1}, \dots, V_{m_8} is the measured volume of vessel from a bottom to each of eight marks, V_{m_T} of T is the measured volume of vessel to the mark of T , $V_{m_{gen}}$ - the general measured volume of vessel.

measuring number	V_{m_1} , (ml)	V_{m_2} , (ml)	V_{m_3} , (ml)	V_{m_4} , (ml)	V_{m_5} , (ml)	V_{m_6} , (ml)	V_{m_7} , (ml)	V_{m_8} , (ml)	V_{m_T} , (ml)	$V_{m_{gen}}$, (ml)
1	36.5	140.0	259.5	418.0	539.0	686.5	848.0	999.0	1138.5	1187.5
2	36.0	143.0	256.0	414.6	532.5	684.0	846.0	988.8	1138.3	1180.5
3	37.0	137.5	260.5	410.5	528.2	679.5	842.5	983.0	1137.5	1181.0
4	37.6	137.0	264.9	416.3	525.0	690.5	842.0	988.0	1134.5	1180.0
5	36.4	143.3	257.8	411.5	523.5	686.0	846.5	984.0	1128.5	1186.5
6	37.0	140.0	252.0	414.5	523.0	682.5	842.5	996.0	1133.8	1171.0

Table 4. Results of measuring of height of location of marks in relation to a bottom; y_{m_1}, \dots, y_{m_8} – measured height of each of eight marks.

measuring number	y_{m_1} , (cm)	y_{m_2} , (cm)	y_{m_3} , (cm)	y_{m_4} , (cm)	y_{m_5} , (cm)	y_{m_6} , (cm)	y_{m_7} , (cm)	y_{m_8} , (cm)
1	0.8	2.3	3.7	5.1	6.1	6.9	8.2	9.4
2	0.8	2.2	3.7	5.1	6.1	6.9	8.2	9.4
3	0.7	2.3	3.8	5.1	6.0	6.9	8.2	9.4
4	0.8	2.3	3.9	5.1	6.0	6.9	8.2	9.4
5	0.7	2.4	3.8	5.1	6.0	6.9	8.2	9.5
6	0.8	2.4	3.8	5.1	6.1	6.9	8.2	9.5

Then, the got volumes and heights were counted for every layer on formulas 5 and 6:

$$V_{l_j} = V_{m_j} - V_{m_{(j-1)}} \quad (5)$$

$$h_{l_j} = y_{m_j} - y_{m_{(j-1)}}, \quad (6)$$

where $j \in [1; k]$

where j - number of layer, n - amount of layers ($k=7$), V_{l_j} - measured volume of layer j , V_{m_j} - measured volume of vessel from a bottom to the mark $m=j+1$, h_{l_j} is the measured height of layer j , y_{m_j} - measured height of vessel from a bottom to the mark $m=j+1$.

The results of such count are presented in a table 5 and 6.

Table 5. Volume of layers of vessel between marks; V_{l_0} - volume of layer of vessel from a bottom to the mark 1, V_{l_0}, \dots, V_{l_7} - height of layers between nearby eight marks, V_{l_T} - volume of layer of vessel from a mark 8 to the mark T , V_{l_h} - volume of layer of vessel from the mark T to the edge of corolla.

measuring number	V_{l_0} , (ml)	V_{l_1} , (ml)	V_{l_2} , (ml)	V_{l_3} , (ml)	V_{l_4} , (ml)	V_{l_5} , (ml)	V_{l_6} , (ml)	V_{l_7} , (ml)	V_{l_T} , (ml)	V_{l_h} , (ml)
1	36.5	103.5	119.5	158.5	121.0	147.5	161.5	151.0	139.5	49.0
2	36.0	107.0	113.0	158.6	117.9	151.5	162.0	142.8	149.5	42.2
3	37.0	100.5	123.0	150.0	117.7	151.3	163.0	140.5	154.5	43.5

4	37.6	99.4	127.9	151.4	108.7	165.5	151.5	146.0	146.5	45.5
5	36.4	106.9	114.5	153.7	112.0	162.5	160.5	137.5	144.5	58.0
6	37.0	103.0	112.0	162.5	108.5	159.5	160.0	153.5	137.8	37.2

Table 6. Height of layers between marks; h_{l_0} - height of layer from a bottom to the mark 1, h_{l_1}, \dots, h_{l_7} - height of layers between nearby marks.

measuring number	$h_{l_0}, (cm)$	$h_{l_1}, (cm)$	$h_{l_2}, (cm)$	$h_{l_3}, (cm)$	$h_{l_4}, (cm)$	$h_{l_5}, (cm)$	$h_{l_6}, (cm)$	$h_{l_7}, (cm)$
1	0.8	1.5	1.4	1.4	1.0	0.8	1.3	1.2
2	0.8	1.5	1.5	1.4	1.0	0.8	1.3	1.2
3	0.7	1.6	1.6	1.3	0.9	0.9	1.3	1.2
4	0.8	1.5	1.6	1.3	0.9	0.9	1.3	1.2
5	0.7	1.7	1.5	1.3	1.0	0.9	1.3	1.3
6	0.8	1.7	1.4	1.4	1.0	0.9	1.3	1.3

Mean height of layer between marks and mean volume of layer between marks were calculated for $n=7$ by a formula, analogical formula 3. Standard deviation from the mean measured volume was calculated by formula 4. The results of calculations are presented in a table 7.

Table 7. Mean values of height and volume of staropetrovsky vessel layers between the marks; m - mark, j - number of the layer, $h_{l_j m}$ - the average height of the layer j , $V_{l_j m}$ - the average volume of the layer j , σ_{l_j} - the standard deviation of the average volume of the layer j .

m	j	$h_{l_j m}, (cm)$	$V_{l_j m}, (cm^3)$	$\sigma_{l_j}, (cm^3)$
1	0	0.8	36.8	± 0.5
2	1	1.6	103.4	± 2.9
3	2	1.5	118.3	± 5.7
4	3	1.3	155.8	± 4.4
5	4	1.0	114.3	± 4.8
6	5	0.9	156.3	± 6.6
7	6	1.3	159.8	± 3.8
8	7	1.2	145.2	± 5.6
T	8	1.2	145.4	± 5.7
Edge of corolla	9	0.6	45.9	± 6.5

For verification of hypothesis about clepsydra we considered layers 1-7 between marks 1 and 8. The layer of water between a bottom and first mark was not examined by us, as his volume was considerably fewer volumes are between other marks. From our point of view, for the beginning of counting out of time, a vessel each time had to be filled by water to the first mark. It could be expedient from the point of view of control of integrity of bottom and control of horizontal or the same level of setting of vessel near to horizontal. In last case, as auxiliary, could be used, just, the same mark that marks the first on drawing located, approximately, on the same height, what the first mark of measuring.

On results measuring the total measured volume of staropetrovsky vessel is equal $V_{m_{gen}} = 1181.1 \text{ cm}^3$ (таб. 3). The total measured volume of layers of vessel between extreme (1th and

8th) marks is equal $V_{l_mark}=953.1 \text{ cm}^3$. For comparison, the total calculated volume of vessel between analogical (1th and 8th) marks on drawing is equal $V_{mark}=968.9 \text{ cm}^3$. I.e. the total calculated volume between these marks differs from measured volume less, than on 2%, that testifies about good quality of drawing of profile of vessel and adequacy of the chosen mathematical model for the calculation of it volume. Calculated by the formula, to the analogical formula 3, the mean measured volume of layer between nearby marks is equal $V_{l_mean}=136.2 \text{ cm}^3$. Calculated by the formula, to the analogical formula 4, corresponding standard deviation is equal $\sigma_{l_mean}=\pm 21.7 \text{ cm}^3$. Thus, the measured volume of layer of vessel between two nearby marks appeared equal $136.2\pm 21.7 \text{ cm}^3$.

The measured volumes of all layers between marks correspond to this range. An exception makes a sixth layer only. However it volume exceeds the high bound of the indicated range only on 1.9 cm^3 (1.2%). Such insignificant rejection can be attributed to the error of measuring, but, probably, it is related to the sloping location of seventh mark. Maybe, in measuring it was necessary to be oriented on it lowers edge.

Expected volume of layer of vessel between two nearby lateral marks, as be indicated higher, is equal $139.4\pm 25.4 \text{ cm}^3$. It mean value is only insignificant, on 3.2 cm^3 or 2.4%, exceeds the mean value of the measured volume of layer between nearby marks. This fact confirms possibility of realization of calculations of his volume with the use of mathematical model, being a complex of the truncated abruptly, approximating the profile of vessel, on drawing of vessel.

If we will consider overhead part of rim of "wheel" as a mark, then a general volume between extreme marks (by the first mark and mark T) will be equal $\approx 1098.4 \text{ cm}^3$, and the volume of layer between an eighth mark and mark T will be equal $\approx 145.4 \text{ cm}^3$. I.e. it corresponds to the mean value of the measured volume of layer between other nearby marks on a side. Thus, overhead part of rim of "wheel" fully could use, as another mark.

If to confront every layer between marks with a temporal interval equal to one hour, then by means of seven layers it was possible to measure seven o'clock of equal duration. If to take into account possibility of the use of overhead part of rim of "wheel" as another mark, then by means of such marking it was possible will measure eight hours.

Thus, in case with a staropetrovsky vessel we have 8 lateral marks marking seven layers of water, each of that has a volume $V_{m_l}=136.2\pm 21.7 \text{ cm}^3$. By means of such marking it was possible to measure every hour with mean exactness $\Delta t_{l_mean} = \sigma_{l_mean} / V_{l_mean} = \pm 0.16 \text{ hour} = \pm 9.6 \text{ minutes}$.

During the study, without any interpretation remained only label at the bottom of the vessel. All attempts to associate them with the process of measuring the volume of water and / or time, do not yield positive results. Likely to, their presence is a consequence of the technological features of the process of creating marks on an inner side surface of the vessel before firing. Possibly, the tool for measuring the height leaned against the bottom of vessel during application marks.

Interpretation of staropetrovsky vessel as clepsydra

If to assume that corresponds every layer of staropetrovsky vessel one hour duration 60 minutes or 3600 seconds, then to the interval to time equal to one second, the volume of water of

$V_{1sec} \approx V_{L_mean} / 3600 = 0.04 \text{ cm}^3$. It is known that the volume of ordinary water drop averages³: 0.03-0.05 cm^3 . Long time, up to XIX of century, a "drop" was the minimum unit of chemist measure⁴ [20]. I.e., if with a help of staropetrovsky vessel measured time, and corresponded every his mark one hour equal 1/24 parts of sunny twenty-four hours, then water in a vessel had to act at a speed of equal, approximately, to one drop in a second. However, about a second, as unit of time, for certain it is known only from 1000 AD [21], although absence of reliable certificates does not yet talk about impossibility of existence of this unit in more early epochs. Existence in more early periods and self origin of second fully could be related to watching the pulse of the grown healthy man in the quiet state, that, as a rule, is equal to 60 shots in a minute or one blow in a second⁵.

Thus, equality of volume of water, corresponding to one second (to the least unit of time), volume of one water drop (to the least ancient unit of volume of liquid), also can be examined, as a certificate in behalf on using of staropetrovsky vessel as clepsydras of story type.

In ancient Babylon weight of water in clepsydras was measured in mina (mana) [22]. Coming from duration of twenty-four hours equal 6 mina [23-25] and weight one mina, being, approximately, in a range from a 460 g a to 540 g [26], it is possible to define that weight of water for measuring of one hour was in a range from a 115 g a to 135 g, and weight corresponded one second in the range from 0.03 g to 0.04 g.

Thus, taking to account that the average density of fresh water $\approx 1 \text{ g/cm}^3$ at temperatures from +15° C to +20° C [27], that a volume of fresh water, corresponding one mina, is in a range from 460 cm^3 to 540 cm^3 (consequently, on the average a volume one mina is equal $\approx 500 \text{ cm}^3$), volume of water, necessary for measuring of 1 hour is in a range from 115 cm^3 to 135 cm^3 , and for measuring of one second - from 0.03 cm^3 to 0.04 cm^3 . The volume of water for measuring of one hour by means of staropetrovsky vessel exceeds a high bound for traditional mina, approximately, on 1.2 cm^3 (0.9%). So small size of difference it is fully possible to ignore, attributing her to the error of measuring.

In Old Babylonian astronomic texts - in the tablets of BM 17175 + 17284 (published in the application to edition of MUL.APIN [28]) – see instructions for determining the duration of day and night - day and night watchmens - depending on the seasons. In days an equinox for measuring of duration of day required 3 mina waters, and nights - 3 mina. In the day of summer solstice for a day - 4 mina, and nights - 2 mina. In the day of winter solstice for a day - 2 mina, and nights - 4 mina.

This text served a prototype for later texts in "Astrolabes", in the table of XIV of series of EAE and in MUL.APIN [29].

An interesting fact is that indicated in the table of BM 17175 relation of duration of day in the day of summer solstice to duration of day in an equinox and to duration of day in winter solstice - 4:3:2 (like for night, but upside-down), most exactly corresponds to the not latitudes of Mesopotamia (approximately, 30° - 38° N), but to the latitudes between 45° N and 50° N (таб. 8, 9). In a table 8 results over of calculations of duration of day (from rising to setting of Sun) are brought in minutes for 1500 B.C. for longitude equal 44° E (the choice of longitude of fundamental value does not have, as duration of day and night depends only on a latitude) and

³ <http://ru.wikipedia.org/wiki/Капля>

⁴ [http://en.wikipedia.org/wiki/Minimum_\(unit\)](http://en.wikipedia.org/wiki/Minimum_(unit))

⁵ <http://www.nlm.nih.gov/medlineplus/ency/article/003399.htm>

for latitudes in a range from 30° N to 50° N. Calculations were produced by us by means of the astronomic program RedShift - 7 Advanced. In a table 9 the results of count of duration of day are presented in mina for the same latitudes.

To correspond to the correlation indicated in the table of BM 17175, at duration of day in an equinox equal 725 minutes, duration of day in summer solstice must be equal 967 minutes, and in winter solstice 483 minutes. Thus, duration of day less than, than it is indicated in the table of BM 17175 in summer solstice, for 30° N approximately on 2 hours, for 35° N on 1.6 hour, for 40° N on 1.1 hour, for 45° N on 0.5 hour, and for 50° N - a more hour is on 0.3. Duration of day more than it is indicated in the table of BM 17175 in winter solstice, for 30° N approximately on 2 hours, for 35° N on 1.7 hour, for 40° N on 1.2 hour, for 45° N on 0.6 hour, and for 50° N - a less than hour is on 0.1. Correlations of duration of day and, accordingly, nights will be exactly such, as indicated in a table, in a range from 47°55' N to 49°25' N with exactness 5'.

Table 8. Duration of day in minutes on different latitudes, expected for 1500 BC; t_{day} - duration of daily time in minutes.

	t_{day} , (minute)					
	30° N	35° N	40° N	45° N	48° N	50° N
summer solstice	845	871	901	939	965	983
equinox	725	725	725	725	725	725
winter solstice	608	582	553	518	493	475

Table 9. Duration of day in mina on different latitudes, expected for 1500 BC; t_{mina} - duration of daily time in mina.

	t_{day} , (mina)					
	30° N	35° N	40° N	45° N	48° N	50° N
summer solstice	3.5	3.6	3.7	3.9	4.0	4.1
equinox	3.0	3.0	3.0	3.0	3.0	3.0
winter solstice	2.5	2.4	2.3	2.1	2.0	2.0

Staropetrovsky vessel has a volume between the extreme marks (taking into account the mark of T) \approx of 1098.4 cm³=2.03 mina \approx 2 mina (where 1 mina=540 cm³). Thus by means of nine marks (eight on an internal side and mark of T on external) of staropetrovsky vessel it was possible to measure eight o'clock of equal duration like the Babylonian clock, at filling with of vessel water with the same speed, as well as in the Babylonian clepsydras, is one drop in a second. Approximately eight hours a day lasts in winter solstice (night in summer solstice) on the latitude of finding out staropetrovsky vessel. For measuring of this interval of time a vessel had to be filled one time. In the day of summer solstice, or in night of winter solstice, staropetrovsky vessel had to be filled twice.

And during whole twenty-four hours - three times. I.e. by means of staropetrovsky vessel it was easily to produce measuring of duration of day and night in summer and winter solstices by rule indicated in the table of BM 17175. And, if to take into account that the latitude of finding out staropetrovsky vessel is equal to 48°13' N and gets in the range of latitudes optimally corresponding to the rule from this table, then it is possible to suppose that, at least, the mediated

contacts between the frame population of North Black Sea region and population of Ancient Mesopotamia in Late Bronze Age existed nevertheless.

Ancient water clock of Mesopotamia have not found until now. And no one knows exactly how they looked. It can be assumed that they could be similar to staropetrovsky vessel. Externally it is a simple hand-made vessel with inconspicuous nail depressions on the inner side surface. The analogy between the Mesopotamian water clock and staropetrovsky vessel may further help researchers in search of as fragments or whole ancient Mesopotamian water clocks. Known ancient Egyptian water clock - Karnak clepsydra - greatly exceeding the volume of staropetrovsky vessel (Fig. 2). Thus, the working volume of Karnak clepsydra is approximately 22 liters. It is believed that it was intended to measure 12 hours at a rate of 10 drops per second, with the volume of droplets 0.05 cm^3 [30, 31].

I.e. for measuring of one hour 1.8 l was required, approximately. It more than in three times exceeds a volume, necessary for the analogical measuring both in the Mesopotamia clepsydras and in a staropetrovsky vessel. And, speed of filling of such clepsydra must almost tenfold exceed speed of filling of the Mesopotamia clepsydras.

However, it is known that in Ancient Egypt there was unit of volume *hinu* or *hin* (jar) equal 480 cm^3 [32].

Weight of fresh water of such volume is approximately equal on weight one Mesopotamia *mina*. Maybe, *hinu* and *mina* have a homogeny, and *hinu* was used in clepsydras like *mina* in more simple variants of clepsydras, than Karnak clepsydra. So, in writing of the Egyptian name of unit of volume *hinu* (fig. 5a) and in writing of hour (fig. 5b), unlike writing of other units of volume and time, there is hieroglyph, interpreted as a vessel - Nu or Nu jar/pot (fig. of 5c).



Picture 5. Egyptian inscriptions, containing the hieroglyph Nu pot: *a* - unit of volume *hinu*⁶, *b* - hour⁷, *c* – Nu pot⁸.

The fragment of text is known also on the surface of fragment of the ruler or L- shaped sundial: "Hour in an elbow⁹. Jar from a copper, filled by water." [33]. Jar from a copper in this fragment researchers interpret, as clepsydra [34]. It is possible that copper jar from inscription on the ruler and vessel designated by a hieroglyph "Nu pot", - are the family types of vessels, being clepsydras of story type, the analogue of that can be staropetrovsky vessel.

Clepsydras as a jar look like a Nu pot were maybe used in Ancient Egypt on the early stages of development of technology of measuring of time and were used in future for the domestic measuring, as were simple in making and did not require expensive materials for making. If it really so, and Nu pots, applied as clepsydras, could outwardly look, as the ordinary pots with

⁶ http://en.wikipedia.org/wiki/Ancient_Egyptian_units_of_measurement#cite_note-CR-2

⁷ http://en.wikipedia.org/wiki/Ancient_Egyptian_units_of_measurement#cite_note-CR-2

⁸ <http://hieroglyphes.pagesperso-orange.fr/Index%20W-b.html#W10> ;

http://en.wikipedia.org/wiki/List_of_portraiture_offerings_with_Ancient_Egyptian_hieroglyphs

⁹ elbow (cubit) is length unit

marks inwardly, then now, knowing their basic external signs, could be purposefully try to find them among those already found ancient Egyptian pottery vessels and fragments thereof.

Analysis of pictures on the external surface of staropetrovsky vessel. Interpretation of drawing of wheel.

Under the halo of staropetrovsky vessel the area of outward surface is covered by incised signs (fig. 6). Signs form two groups breadthways a 8,2 cm and 3 cm. the Long group is carelessly incised small uneven polyline. On the left of it there is a rudely incised crossbuck reminding a quadriradiate star, on the right is round composition, reminding a wheel with spokes.



Figure 6. Vil. Staropetrovsky, ruined barrow, vessel with the marks on the inner surface: *a* – photo of the composition on the outside of the vessel (photo by A.N. Usachuk, 2014), *b* - drawing of the composition (drawing by V.B. Pankovsky and A.N. Usachuk, 1993).

Three uneven sloping lines incised after a half-round, after a short horizontal line incised and three indentations are done. In a 1,8 cm on the right of the first (long) group the second group being a thin polyline is located.

The cut of halo is decorated by the imprints of nail, thus frequency of indentations on the area of halo under that there are both groups of signs more than, on other areas.

On the internal surface of vessel, opposite the cross of the first group of signs, the vertical of imprints of nail overlay on the bottom.

Signs on exteriority of staropetrovsky vessel already attracted attention specialists [35, 36]. Supposes E.Yu. Zacharova, that composition on a vessel "appropriately ... to designate a term inscriptions" [37]. The supervision of researcher interesting, that similar "inscriptions" on all vessels of frame culture are executed by scribe by a sharp object before firing. We will add that E.Yu. Zacharova brought over very near analogy to the second (short) polyline of staropetrovsky composition, educed by it on the vessel of Srubna culture from territory of Donbas from collection of N.E. Brandenburg [38].

However, nobody of researchers examined signs on external and internal parties of staropetrovsky vessel as single semantic composition to the real moment.

Presence of original composition and possible analogies (vessel from collection of N.E. Brandenburg), allow to consider that the real use of staropetrovsky vessel could be more difficult, than domestic.

The central element of all composition on the external surface of staropetrovsky vessel is a picture of "wheel". I.e. circular elements in decorative patterns interpret often, as solar, we supposed, what the "wheel" of the composition could be connected in meaning with the Sun. In this connection we confronted the azimuths of rising and setting of Sun supposition with "wheel arms".

The azimuths of rising and setting of Sun in days equinoxes and solstices were expected on formulas [39]:

$$\cos A_r = \frac{\sin \delta - \sin \varphi \cdot \sin h}{\cos \varphi \cdot \cos h}, \quad (7)$$

$$A_s = 360^\circ - A_r, \quad (8)$$

where A_r - azimuth of sunrise, a read-out from the North to East (geodesic), A_s - azimuth of setting of Sun, δ - declension of a Sun, h - height of a Sun above horizon, φ - geographical latitude. The height of a Sun in the moment of rising (setting) calculated for the overhead edge of disk of the Sun:

$$h = -R - \rho + p, \quad (9)$$

where R - angular radius of the Sun, ρ - refraction at the horizon, p - horizontal parallax [40]. For the Sun $R=16'$, $\rho=35'$, $p=8.8''$ [41].

During summer solstice the Sun declination equal to angle of ecliptic inclination to celestial equator ε , which is calculated using the formula [42]:

$$\varepsilon = 23.43929111^\circ - 46.8150'' \cdot T - 0.00059'' \cdot T^2 + 0.001813 \cdot T^3, \quad (11)$$

$$T \approx \frac{(y - 2000)}{100}, \quad (12)$$

where T - the number of Julian centuries, that separates this age from noon of the 1 of January 2000, y - year of required age. During winter solstice the Sun declination $\delta = -\varepsilon$, and during equinoxes $\delta = 0$.

Calculated by us according to the formulas 11-12 tilt angle of the ecliptic to the celestial equator $\varepsilon=23^{\circ}51'41''$ for 1400 BC. The results of our calculations of the azimuth of sunrise and sunset according to the formula 7 for astronomically important events are shown in Table 10.

Table 10. Azimuths of the Sun at sunrise (sunset) at the equinoxes and solstices, calculated on the top edge of the visible disk of the Sun; h - height of the Sun, δ - declination of the Sun, A_r - azimuth of sunrise, A_s - azimuth of sunset, A_r+180 - direction of shade at a sunrise, A_s-180 - direction of shade at setting of Sun.

phenomenon	$h, (^{\circ})$	$\delta, (^{\circ})$	$A_r, (^{\circ})$	$A_s, (^{\circ})$	$A_r+180, (^{\circ})$	$A_s-180, (^{\circ})$
summer solstice	-0.85	23.86	51.41	308.59	231.41	128.59
equinoxe	-0.85	0.00	89.05	270.95	269.05	90.95
winter solstice	-0.85	-23.86	126.20	233.80	306.20	53.80

In the center of "wheel" there is deepening in that it is possible to stick a thin rod, for example, straw as a gnomon that would throw shadow at illumination a Sun (fig. 7).

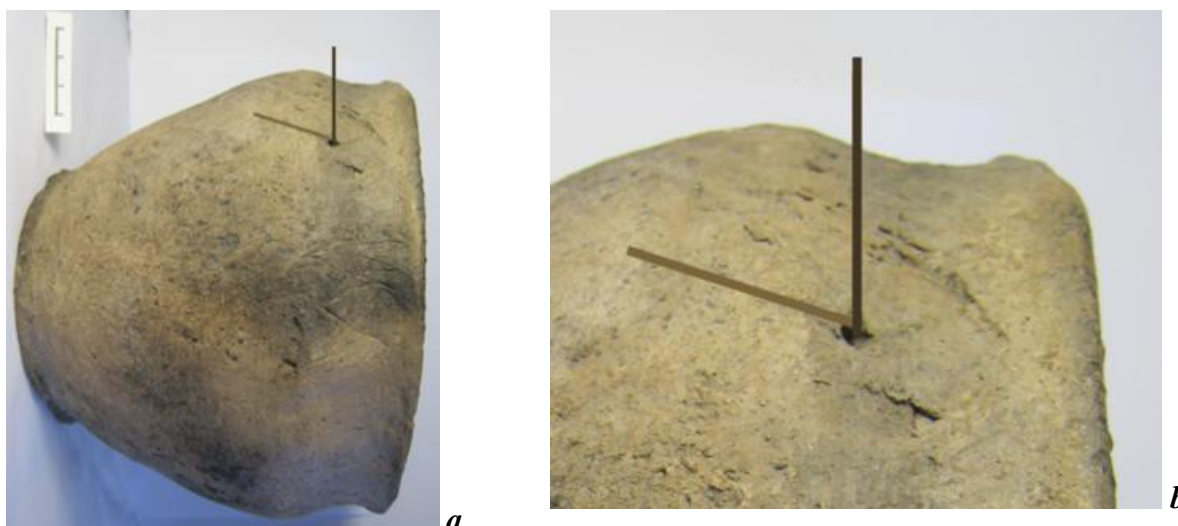


Figure 7. Vil. Staropetrovsky, ruined barrow, vessel with the marks on the inner surface: modeling of the gnomon in the center of "wheel": *a* - kind of the whole the vessel with gnomon, *b* - a fragment of the vessel with a "wheel" with gnomon.

Within the framework of one of our hypotheses, if to turn a standing vessel under the corner of 90° "by a wheel" upwards, then a lower (for a standing vessel) "spoke" will correspond to shade, by cast aside such straw at midday, and, accordingly, to specify direction on North. Thus direction of the first spoke, if to consider clockwise from a lower "spoke", will approximately coincide with direction of shade that is cast aside by a straw at setting of Sun in the day of winter solstice. Direction of the second spoke will coincide with direction of shade at setting of Sun in the day of equinox, and third spoke - at setting of Sun in the day of summer solstice (fig. 8). The

coincidence of directions was examined by us, as approximate, as a surface of vessel in area of "wheel" is distorted, that does not allow correctly calculate exactness of such coincidence.

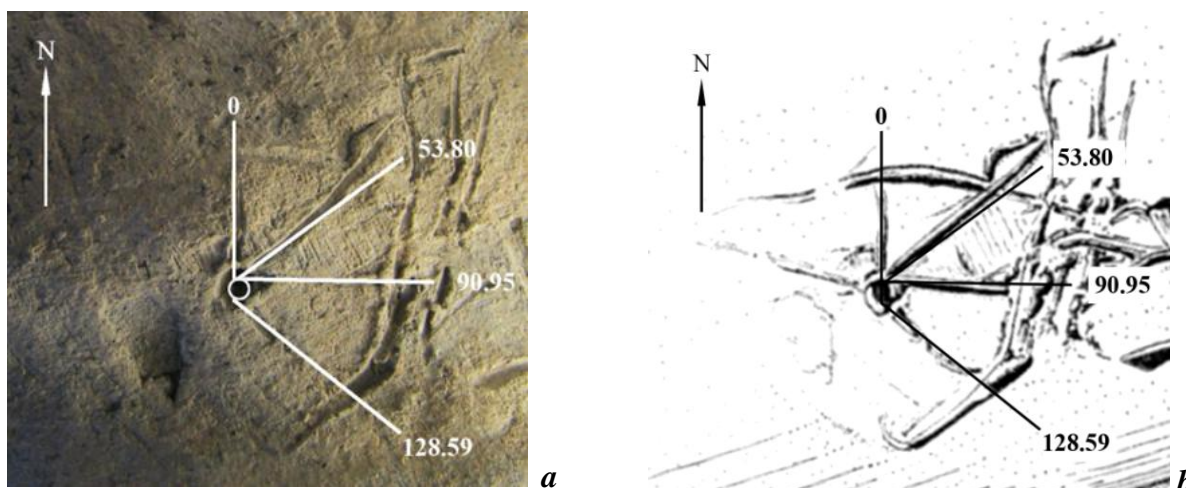


Figure 8. Vil. Staropetrovsky, ruined barrow, vessel with the marks on the inner surface: "wheel" from composition with the inflicted azimuths of direction of shade, corresponding to setting of Sun in days an equinox, summer and winter solstice: *a* - photo, *b* - drawing. *N* - True North.

A lower wheel arm indicative on North is declined from the vertical axis of symmetry of vessel on a corner approximately equal 15° (fig. 9). It a size corresponds to the corner to that a Sun is moved on an ecliptic for one hour (360° for 24 hours) and can be used for approximate determination of duration of day.

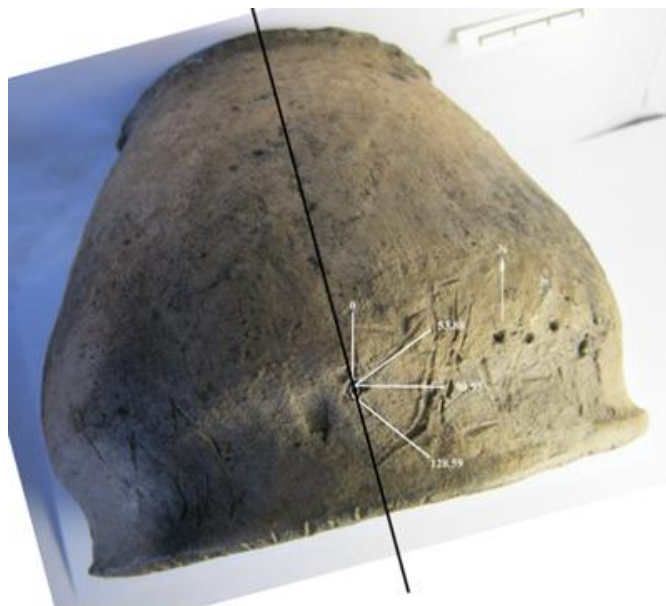


Figure 8. Vil. Staropetrovsky, ruined barrow, vessel with the marks on the inner surface, deviation the vessel (the vertical axis of symmetry of the vessel) on the direction to the North "wheel". The symmetry axis is applied the black line. *N* - direction of True North.

Analysis and interpretation of drawing of polyline

Taking to account that a central element of composition, probably, was the picture related to the certain astronomic phenomena - setting of Sun in days equinoxes and solstices, then we supposed, what other elements of composition could also have astronomic sense.

Initially, the assumption about the use staropetrovsky vessel as water clocks, arose in connection with the need to count the control periods of time lasting one hour at the markup analemmatic sundial [43]. However, sundials always show local true solar time, and water - the mean solar time. The exact duration of the true solar 24-hour day vacillates, so reading a sundial and water clock do not always coincide.

From the point of view of modern astronomy, the true solar day - is the time interval between two successive upper or lower culminations¹⁰ of the Sun on the same geographical meridian [44]. The unevenness of diurnal movement of the Sun caused the ellipticity of the Earth's orbit around the Sun and the tilt of Earth's axis to the ecliptic plane. The duration of the mean solar day is the average duration of the true solar 24-hour days in a year. The difference between the true solar time and mean time in the same moment is called the equation of time¹¹:

$$\eta = T_s - T_m , \quad (13)$$

where η - the equation of time, T_s - true solar time, T_m - mean solar time.

We have calculated the value of the equation of time for the 1400 BC (see. Application) and built its graph (Fig. 10). The origin of coordinates corresponds to the date of the beginning of the year¹². The calculations were performed using an astronomical computer program HORIZONS System¹³.

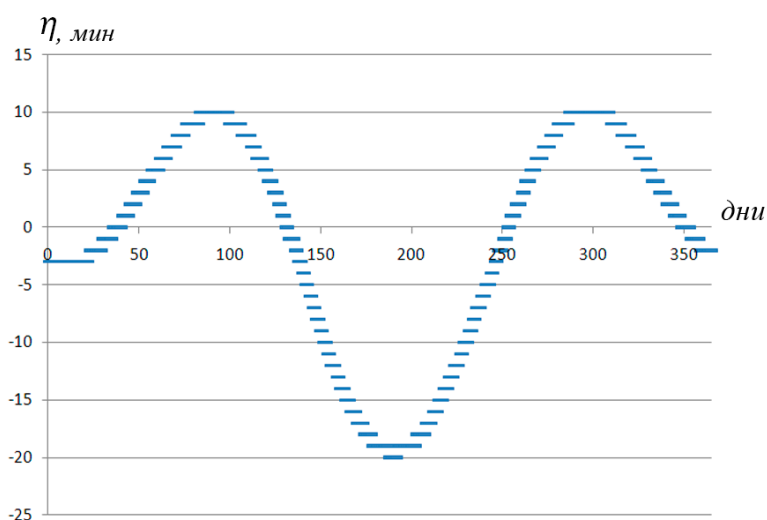


Figure 10. Graph the equation of time: η - the equation of time. On the ordinate - the value of the equation of time in minutes, on the abscissa - number of days from the beginning of the year.

¹⁰ The phenomenon of crossing celestial object celestial meridian - a great circle of the celestial sphere, plane which passes through the plumb line and the celestial axis, called the culmination of celestial object.

¹¹ Sometimes used reversed equation of time equal to the difference between the mean time and true solar time.

¹² On the determination of the date of beginning of the year, see. below.

¹³ <http://ssd.jpl.nasa.gov/?horizons>

Polyline of the composition, by its shape resembles the graph of the equation of time (Fig. 11). Wherein the horizontal axis corresponds to null deviation from the mean solar time. Three point indentations under the polyline are arranged so that each indentation can be associated with one of the extremes (peaks) in the chart. Extreme indentations located below the central and correspond to peaks polyline when readings the water clock will lag behind the readings of a sundial, i.e. water level in the water clock will be lower, than on the sundial at the same time, but on other days. Central indentation is, respectively, above the central and corresponds to the peak when the water clock readings will outstrip readings of a sundial, ie the water level in the water clock will be higher than on the sundial at the same time, but on other days. I.e. these indentations could show peaks inverted graph of the equation of time and play the role of small tips for the proper use of water clocks.

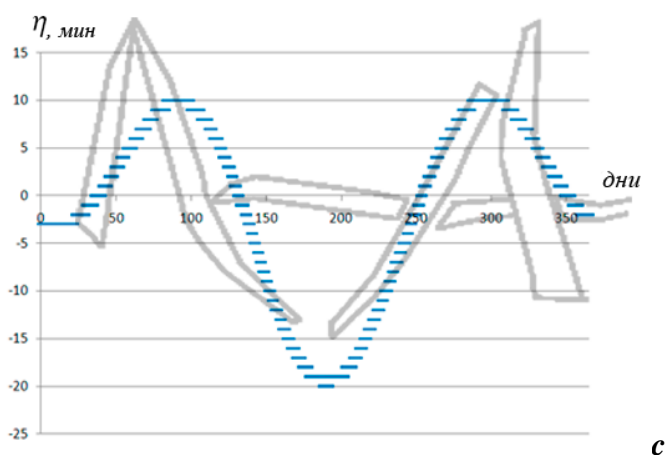
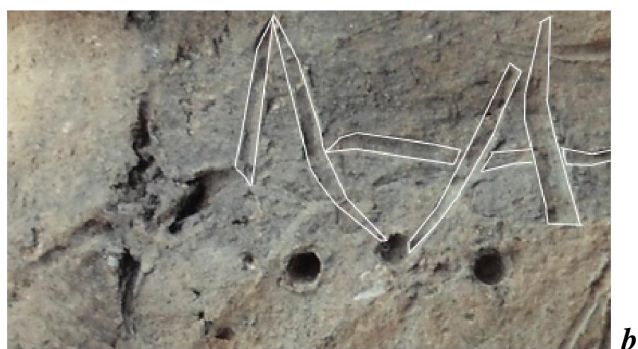


Figure 11. Vil. Staropetrovsky, ruined barrow, vessel with the marks on the inner surface, *a* - photo composition of polyline; *b* - schematic drawing of polyline, *c* - combination of polyline drawing and graphics of equation of time (see. fig. 10).

In Babylon, in the II century BC already knew about the deviation of the true solar time from mean solar. At the same time there were sufficiently well and in detail, developed a theory describing the uneven apparent motion of the Sun [45, 46]. Ptolemy - Late Hellenistic astronomer from Alexandria (Egypt) - in his fundamental work "Almagest" (Book III, Part 9) also considered the issue of uneven movement of the Sun [47].

However, all of these theories could not appear suddenly. For their formation took years of systematic observations of the motion of the Sun. We believe that the fragment composition polyline on staropetrovsky vessel, just, and is one of such evidence observations in earlier epochs of non-uniformity of the annual motion of the Sun.

Analysis and interpretation of drawing of the star.

Next to polyline in the composition on the surface Staropetrovsky vessel are drawn star with four rays (Fig. 12).

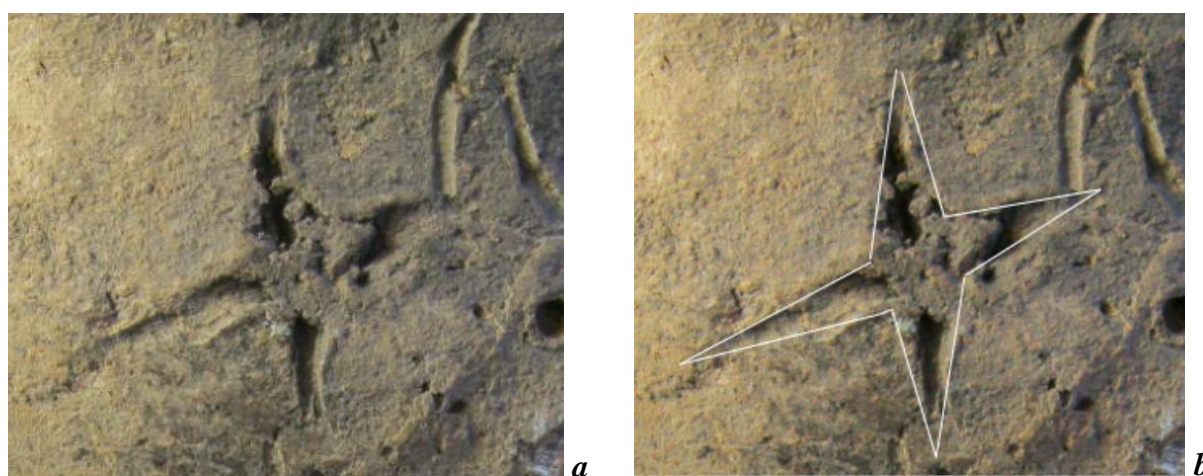


Figure 12. Vil. Staropetrovsky, ruined barrow, vessel with the marks on the inner surface: *a* – photo star from composition; *b* – schematic drawing of a star.

It is known that the heliacal rising of various stars corresponded to the calendar months in the Babylonian "astrolabes" (XII century BC) [48]. In ancient Egypt, with the III millennium BC beginning of the year was counted from the heliacal rising¹⁴ of the star Sirius, that initially coincided with the summer solstice and the flooding of the Nile [49]. Sirius is visible on almost any latitude up to 73° N, and it is the brightest star in the entire night sky¹⁵, with magnitude - 1.46^m [50].

Since the Sirius perfectly visible on the latitude detection staropetrovsky vessel, we have assumed that the four-ray star in the composition symbolized its heliacal rising. When comparing the graph of the equation of time, which was built for the dates of the beginning of the year, corresponding to the solstices, equinoxes and the heliacal rising of Sirius, it was found that most of all by its form on polyline similar graph where the beginning of the year coincides with the heliacal rising of Sirius at the latitude of the Staropetrovsky village (Fig. 13).

¹⁴ The first appearance of the star before sunrise in the year

¹⁵ https://en.wikipedia.org/wiki/List_of_brightest_stars

The phenomenon of heliacal rising of Sirius is characterized by height of Sirius from approximately $+2^\circ$ up to $+3^\circ$, and the height of the Sun from -8° up to -6° [51].

Ancient Egyptian calendar, in which the beginning of the year corresponded date of heliacal rising of Sirius, was first introduced in 2767 BC in Memphis [52, 53].

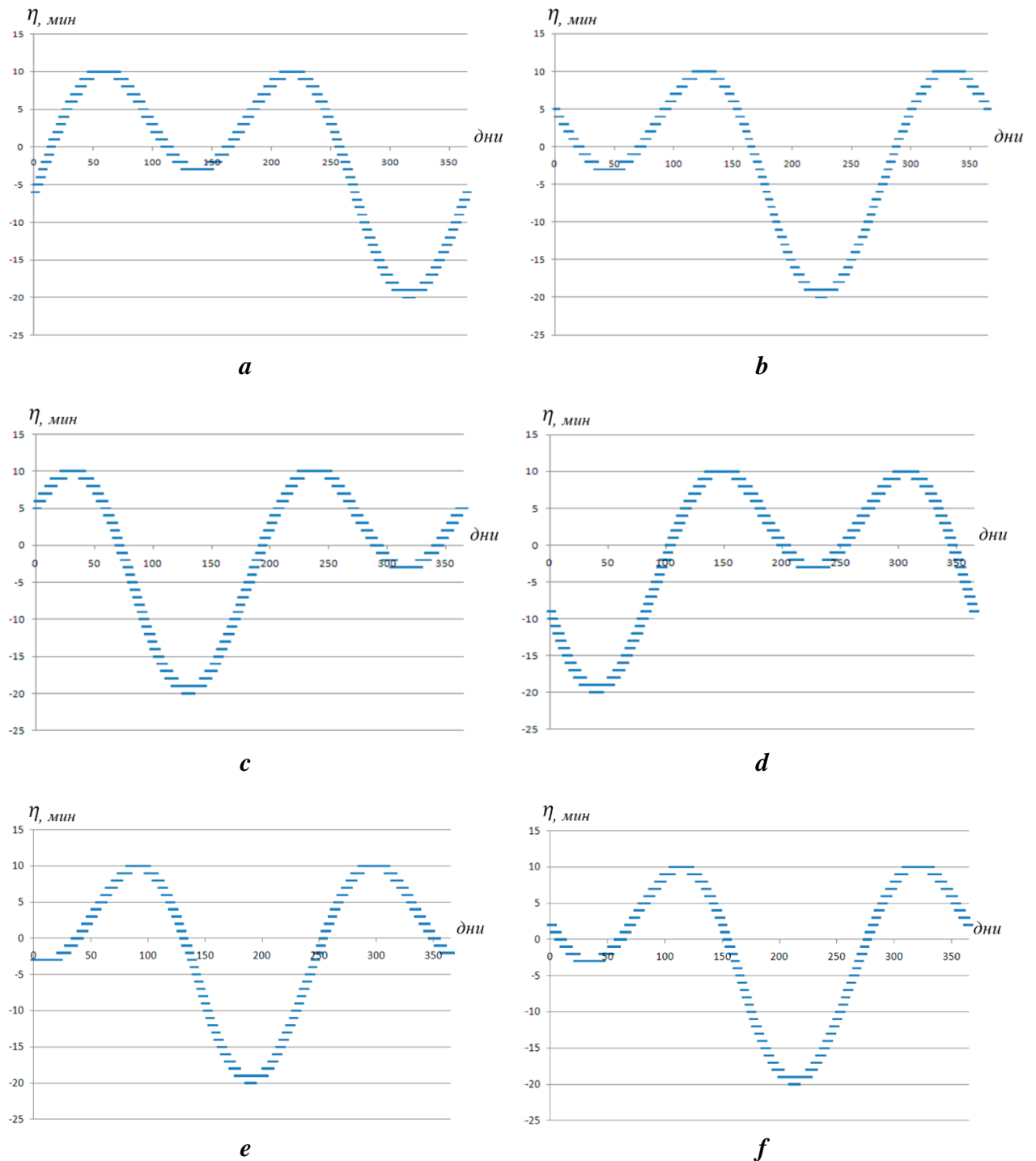


Figure 13. Graph of the equation of time for the beginning of the year according to the date: a - the vernal equinox, b - the summer solstice, c - the autumnal equinox, d - the winter solstice, e - heliacal rising of Sirius at the latitude of the village. Staropetrovsky, f - heliacal rising of Sirius at the latitude of Memphis. On the ordinate - the value of the equation of time in minutes, on the abscissa - number of days from the beginning of the year.

In this year the heliacal rising of Sirius coincided with the summer solstice. In astronomy program RedShift-7 Advanced date for the summer solstice this year falls on 16.07. Using the same program we determined that the height of Sirius reached $+ 3^\circ$, with simultaneous height Sun $\approx -6^\circ$ on this day. Based on these values, we determined that the heliacal rising of Sirius fell to 9.08 - the 34th day after the summer solstice in 1400 BC, at the latitude of detection staropetrovsky vessel (roughly equivalent to 25.07 for the 2000s BC . - see. Application).

For geographic coordinates of Memphis ($29^\circ 50' 40'' N$, $31^\circ 15' 03'' E$) calculated by us the date of heliacal rising of Sirius, approximately, 17.07 for 1400 BC - the 11th day after the summer solstice (approximately corresponds to 02.07 for 2000s BC) (Fig. 13f). With the help of calculations on the program RedShift Advanced we determined that the heliacal rising of Sirius fell on the same day after the summer solstice, approximately in the range of ± 100 years.

Charts equation of time for heliacal rising of Sirius in Memphis (Fig. 13e) and for latitude of village staropetrovsky (Fig. 13f) are very similar. However, the value of the equation of time at the end of the year takes a negative value – line of graph intersects the horizontal axis similarly polyline in the composition of staropetrovsky vessel not for Memphis, but only for the village Staropetrovsky. Thus, if polyline really is a schematic representation of the graph of the equation of time, then it is the image of graphic for latitude close to the latitude of the village. Staropetrovsky, rather than for the more southern latitudes.

Thus, the observed visual similarity we can consider as evidence in favor of the calendar system close to the ancient Egyptian, with the beginning of the year, measured from the date of heliacal rising of Sirius, at the Srubna population of Northern Black Sea Coast.

Analysis and interpretation of the lines next to the drawing of wheel

Another element in the composition, which in our view, may be associated with the calendar calculating time - three thin line at the bottom left near the wheel (Fig. 14).

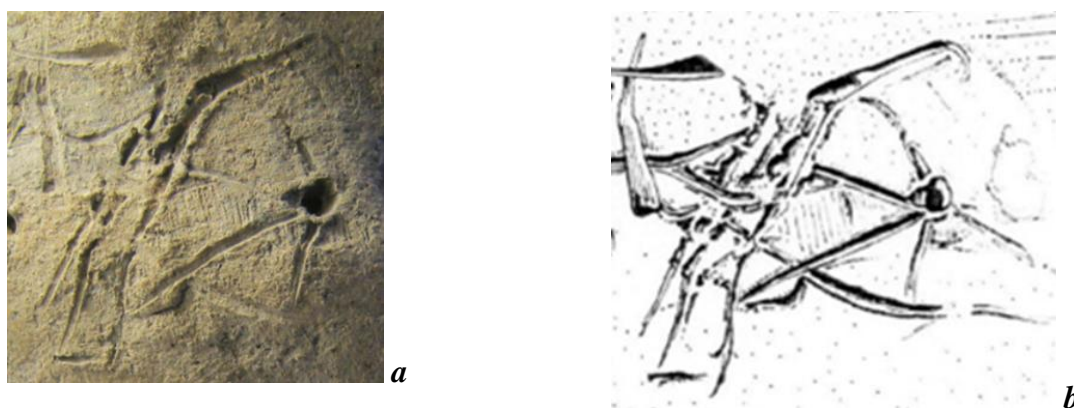


Figure 14. Vil. Staropetrovsky, ruined barrow, vessel with the marks on the inner surface: *a* – photo drawing of the wheel; *b* - schematic drawing of the wheel.

Wheel in the composition on Staropetrovsky vessel semantic and operatively associated with the Sun and can symbolize the solar year¹⁶ - the length of time for which the Sun completes one cycle of changing seasons, for example, from one day of the summer solstice, to the other. In the

¹⁶ Such a solar year in astronomy called tropical

tropical year contains approximately 365.24 days. Interval between the two heliacal rising of Sirius is about 365.25 days. These values are close, and perhaps originally, the duration of a year of 365 days was determined by the Egyptians it was thanks to the observations of the heliacal rising of Sirius. The number of whole days between its heliacal rising, is 365 days, but only for a period of 3 years. In the fourth year, between its heliacal rising, will be 366 days, and then all will be repeated. Apparently so the Egyptians have officially adopted the length of the year equal to 365 days.

For every 4 years seasonal phenomena outpaced calendar on 1 day and there is the need for introducing a leap year, which was formally introduced in Egypt only in the III century BC. When the systematic observation of the heliacal rising stars was easy to notice the regularity associated with repetition of 365 days - period for three years. We therefore believe that the three lines next to the drawing wheel can denote these three repeating, when solar annual "wheel", "rotates on one place" as though.

Analysis and interpretation of drawing "thin polyline".

The second group of characters, located to the right of "wheels" and represents another polyline applied thinner lines - "thin polyline " (Fig. 15).

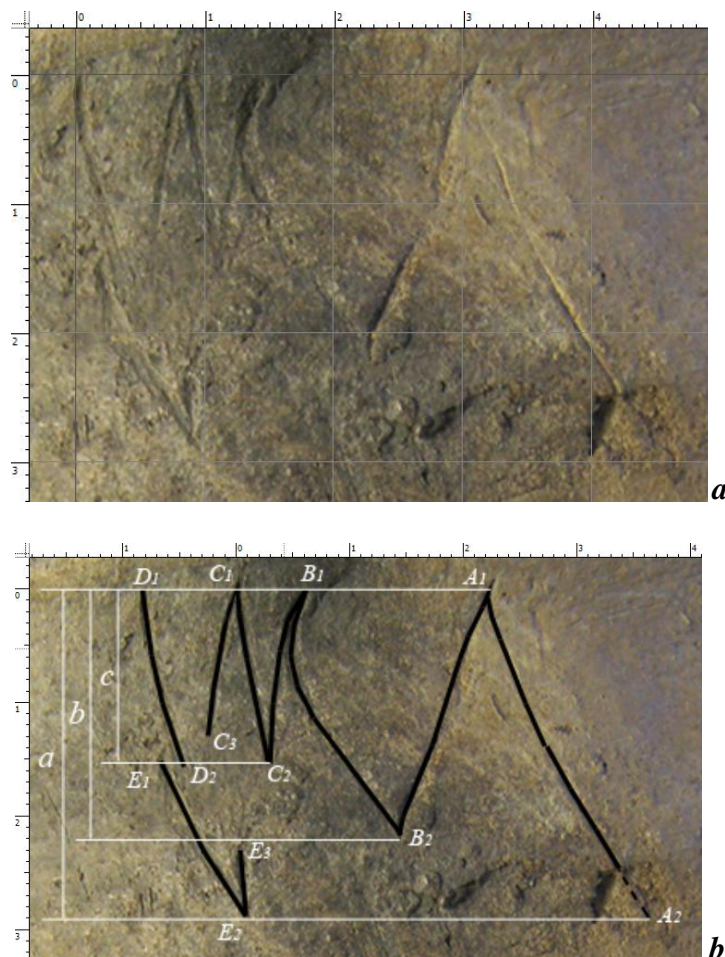


Figure 15. Vil. Staropetrovsky, ruined barrow, vessel with the marks on the inner surface, drawing "thin polyline": *a* – photo of the drawing; *b* - schematic drawing of a "thin polyline ".

The second group of characters - "thin polyline" - consists of three peaks, and, in our view, could symbolize change the maximum height of the sun in the upper culmination (at noon) and changes of the angular distance between the azimuths of sunrise and sunset during the winter solstice (the peak with the apex AI), equinox (peak apex BI) and the summer solstice (the peak with the top of CI). The height of the Sun at the time of upper culmination and time of sunrise and sunset for the days of solstices and equinoxes are shown in Figure 16.

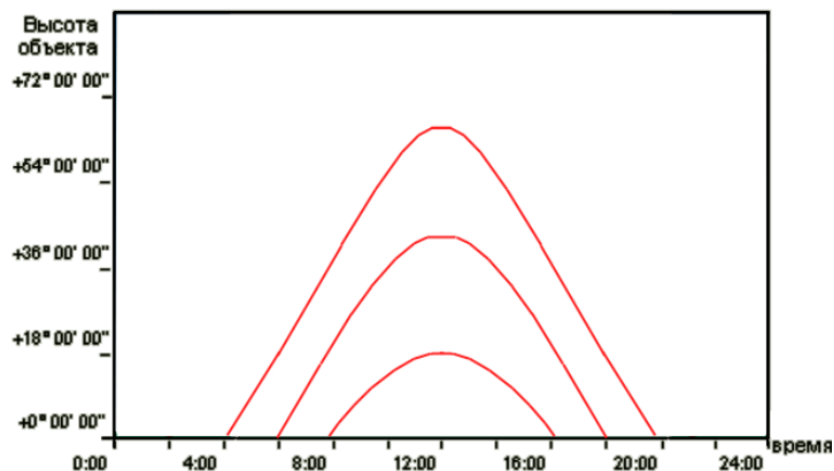


Figure 16. Graph of the height of the Sun depending on the time of day in the days of winter solstice (lower graph), equinox (middle graph) and the summer solstice (upper graph). On the ordinate - height, along the horizontal axis - time.

The value of the duration of the day from sunrise to sunset at the summer solstice D_{ss} refers to the duration of the day in the equinox D_{eq} and duration of the day at the winter solstice D_{ws} , for the latitude detection staropetrovsky vessel as $D_{ss}:D_{eq}:D_{ws}=4:3:2=2:1.5:1$ (see. tab. 9).

To make it easier to analyze the height of the peaks, we turned on the drawing image "thin polyline" so that the vertices AI , BI , CI are aligned (Fig. 15 b), and measure the height of the peaks. The height of the peak CI , we examined how the projection of the segment $[CIC2]$ on the vertical axis, $c \approx 1.5$ cm. In this case, is clearly seen that the segments $[DID2]$ and $[EIE2]$ have approximately the same length and inclination as the segment $[CIC2]$. Very likely that intervals $[DID2]$ and $[EIE2]$ were standards of length when applying "thin polyline" and carrying out functions samples, based on which were drawn the other lines.

The height of the peak BI , we examined how the projection of the segment $[BIB2]$ on the vertical axis, $b \approx 2.2$ cm. Strongly curved line of the segment $[BIB2]$, most likely a random defect. Point $B2$ and $E3$ are approximately at the same level, so perhaps segment $[E2E3]$ has a supporting role to determine the location of the point $B2$.

The height of the peak AI has been considered by us as the projection of the segment $[AIA2]$ on the vertical axis. However, bearing in mind that the application of the line $[AIA2]$, most likely, as the rest of the lines was based on samples $[DID2]$ and $[EIE2]$, and the fact that the segment $[AIA2]$ ends surface defect, we placed point $A2$ in the area of defect on the same level as the point $E2$ on segment-benchmark $[EIE2]$. The height of the peak AI , wherein, equal $a \approx 2.9$ cm.

The ratio of the height of the peaks $a:b:c \approx 2.9:2.2:1.5 = 1.9:1.5:1$ is very close to the ratio of the length of the day for the solstices and equinoxes $D_{ss}:D_{eq}:D_{ws} = 4:3:2 = 2:1.5:1$, and this confirms our hypothesis that the "thin polyline" symbolizes change the duration of the day throughout the year.

Analysis and interpretation of corolla marks as a sundial

On the aureole of the staropetrovsky vessel put marks (Fig. 17). We hypothesized that they may also have astronomical significance.

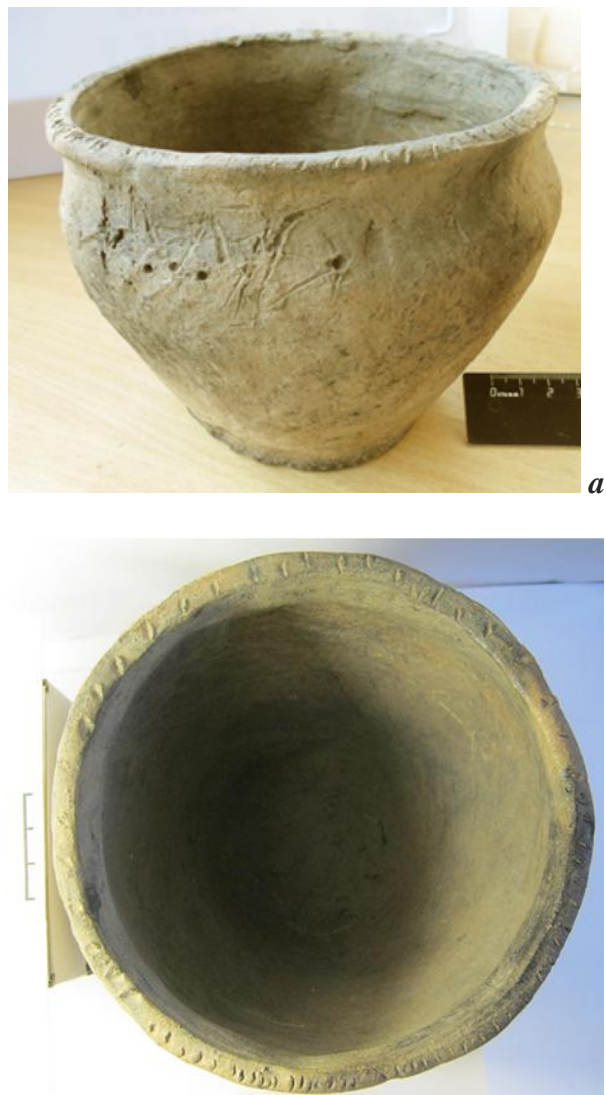


Figure 17. Vil. Staropetrovsky, ruined barrow, photo of vessel with the marks on the inner surface: *a* - side view; *b* - top view.

We tried to match them with the hour angles of a sundial. The most interesting results were obtained by us for the horizontal sundial with a slope gnomon.

Place attachment oblique gnomon was determined empirically by computer experiment carried out on the basis of the graphic editor Adobe Photoshop CS5. In the experiment, a graphic layer with applied calculated hour lines was compared with the layer containing the photo and

drawing marks of corolla of the vessel. The photo was taken from a distance of four times more than diameter of corolla. The lens of the camera was aimed vertically down - perpendicular to the plane of corolla. This will get rid from the distortions that arise at photographing at close range. To search for a possible site of attachment of the inclined gnomon we applied the method of morphological analysis of Zwicky, based on the selection of all possible solutions for individual parts of the task (the so-called morphological features that characterize the device) and then systematically getting their combinations [54]. As a device we considered staropetrovsky vessel, as horizontal sundial with a sloping, gnomon. As the separate parts were considered: complex marks of corolla as hour markers and inclined gnomon (place attachment and orientation). In accordance with the method of morphological analysis, we carried out an exhaustive search of all possible variants of the provisions of the site of attachment of the gnomon and its orientation.

Layer with hour lines moved us in a graphics editor vertically and horizontally (height and width of the drawing), in steps of 1 mm, and rotated relative to the center, hour lines in increments of 1° . Optimum variant with the maximum number of matches marks of corolla and hour lines originally been defined by us visually and then analyzed using statistical methods (see. below).

Revealed by us the most likely place attachment is characterized by the ratio of the distance from the gnomon to the nearest edge of the the corolla to the distance from the gnomon to the maximum the distant edge of the corolla how to 1: 4. In this case, part of the corolla with often located small marks was oriented to the South and with sparse big marks - to the North (Fig. 18).



Figure 18. Vil. Staropetrovsky, ruined barrow, reconstruction of the horizontal sundial, with a sloping, gnomon (made on the basis of photographs of the vessel). In the upper part of the vessel - wooden disc with applied accurate hour markers, fortified gnomon and the opening for receiving water into the vessel. *N* - direction to the True North, φ – latitude of Staropetrovsky village.

Calculation of hour angles for horizontal sundial, with a sloping, gnomon held us by the formulas [55, 56]:

$$H_t' = \arctg(\sin \varphi \cdot \tg(H_t))$$

or

$$H_t' = \arctg(\sin \varphi \cdot \tg(15 \cdot (t - 12))), \text{ for } t \in [6; 18] \quad (14)$$

$$H_t' = \arctg(\sin \varphi \cdot \tg(15 \cdot (t - 12))) - 180, \text{ for } t \in [0; 6[\quad (15)$$

$$H_t' = \arctg(\sin \varphi \cdot \tg(15 \cdot (t - 12))) + 180, \text{ for } t \in]18; 24] \quad (16)$$

where $H_t = 15^\circ \cdot (t - 12)$ - the hour angle of the Sun (for half day $H_{12} = 0^\circ$), t - time, H_t' - the angle between the meridian line and the hour line of sundial (fig. 19), φ - latitude. The results of our calculations by formulas 14-16 for latitude of Staropetrovsky village $Lat = 48^\circ 13' N$ are shown in Table 11.

Table 11. Calculated hour lines of horizontal sundial (from 6 to 12 am). H_t – hour angle of the Sun, H_t' - calculated angle between the meridian line and hour line, t - time.

$t, (hour)$	0	0.5	1	1.5	2	2.5	3	3.5	4	4.5	5	5.5
$H_t, (^\circ)$	-180.0	-172.5	-165.0	-157.5	-150.0	-142.5	-135.0	-127.5	-120.0	-112.5	-105.0	-97.5
$H_t', (^\circ)$	-180.0	-174.4	-168.7	-162.8	-156.7	-150.2	-143.3	-135.8	-127.7	-119.1	-109.8	-100.0
$t, (hour)$	6.0	6.5	7.0	7.5	8.0	8.5	9.0	9.5	10.0	10.5	11.0	11.5
$H_t, (^\circ)$	-90.0	-82.5	-75.0	-67.5	-60.0	-52.5	-45.0	-37.5	-30.0	-22.5	-15.0	-7.5
$H_t', (^\circ)$	-90.0	-80.0	-70.2	-60.9	-52.3	-44.2	-36.7	-29.8	-23.3	-17.2	-11.3	-5.6
$t, (hour)$	12.0	12.5	13.0	13.5	14.0	14.5	15.0	15.5	16.0	16.5	17.0	17.5
$H_t, (^\circ)$	0.0	7.5	15.0	22.5	30.0	37.5	45.0	52.5	60.0	67.5	75.0	82.5
$H_t', (^\circ)$	0.0	5.6	11.3	17.2	23.3	29.8	36.7	44.2	52.3	60.9	70.2	80.0
$t, (hour)$	18.0	18.5	19.0	19.5	20.0	20.5	21.0	21.5	22.0	22.5	23.0	23.5
$H_t, (^\circ)$	90.0	97.5	105.0	112.5	120.0	127.5	135.0	142.5	150.0	157.5	165.0	172.5
$H_t', (^\circ)$	90.0	100.0	109.8	119.1	127.7	135.8	143.3	150.2	156.7	162.8	168.7	174.4

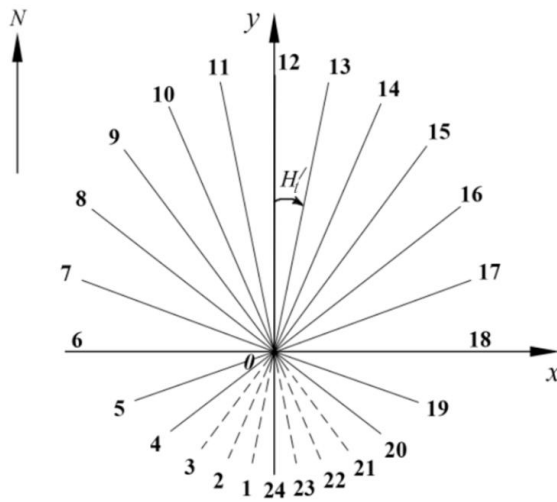
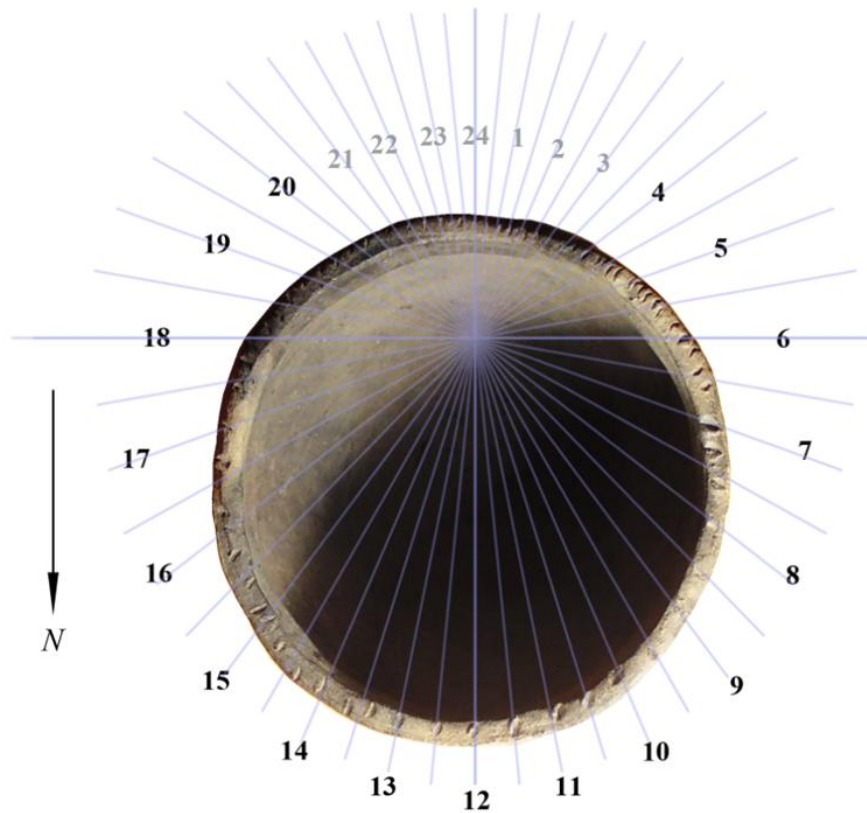


Figure 19. The coordinate plane with hour lines of horizontal sundial with a sloping gnomon: H'_t - the angle between the meridian line and the hour line. $H'_{12}=0^\circ$, $H'_6=-90^\circ$, $H'_{18}=90^\circ$. The dotted line marked hour lines not working range of a sundial from 21 o'clock to 3 o'clock, according to local true solar time. N - True North.

Optimal results combining of calculated hour angles with the marks on corolla of Staropetrovsky vessel is shown in Figure 20. The number of marks on the rim of the vessel exceeds the amount calculated hour lines, however, immediately noticeable coincidence hour lines with marks in the range of 8 to 13 hours (every half hour).



a

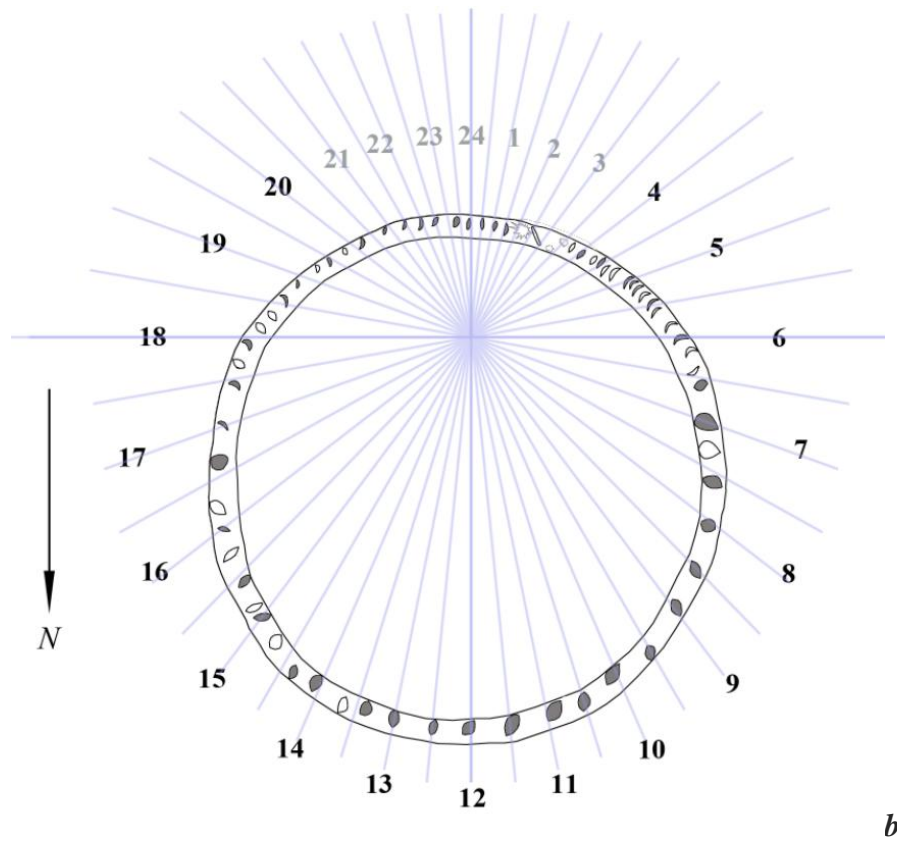


Figure 20. Vil. Staropetrovsky, ruined barrow, vessel with the marks on the inner surface: *a* – photo of the corolla with marks; *b* - drawing of the corolla with marks. Blue lines indicate hour lines of horizontal sundial with a sloping gnomon. The numbers plotted clocks corresponding hour lines. Gray color indicates the marks, located in immediate vicinity of the hour lines. *N* - True North.

To test our hypothesis on the implementation of marks of the corolla of Staropetrovsky vessel functions hour markers sundial, all marks of the corolla were numbered and for each of them (approximately for their geometric centers), we measured the angular distance relative to meridian line (Tab. 12).

Table 12. The angular distance from the marks of the corolla relatively meridian line. *Z* – number of mark; H'_z - angular distance relative to the meridian line.

Z	H'_z , (°)	Z	H'_z , (°)	Z	H'_z , (°)
1	-180.0	23	-86.6	46	38.7
2	-174.7	24	-81.1	47	42.9
3	-168.3	25	-78.2	48	47.9
4	-162.2	26	-69.7	49	52.2
5	-153.7	27	-64.7	50	56.1
6/1	-149.0	28	-59.0	51	63.6
6/2	-143.1	29	-51.6	52	70.5
7	-139.5	30	-44.0	53	78.7
8	-136.2	31	-37.2	54	83.5

9	-132.7	32	-29.5	55	88.2
10	-127.4	33	-22.8	56	92.5
11	-122.4	34	-17.2	57	96.2
12	-119.9	35	-12.5	58	101.2
13	-117.0	36	-6.0	59	106.8
14	-114.3	37	0.3	60	114.0
15	-109.9	38	5.6	61	118.1
16	-108.5	39	11.5	62	124.2
17	-106.3	40	15.8	63	130.7
18	-104.0	41	19.3	64	140.7
19	-100.8	42	24.2	65	149.1
20	-98.1	43	28.0	66	156.0
21	-93.6	44	32.7	67	162.7
22	-89.8	45	36.7	68	172.4

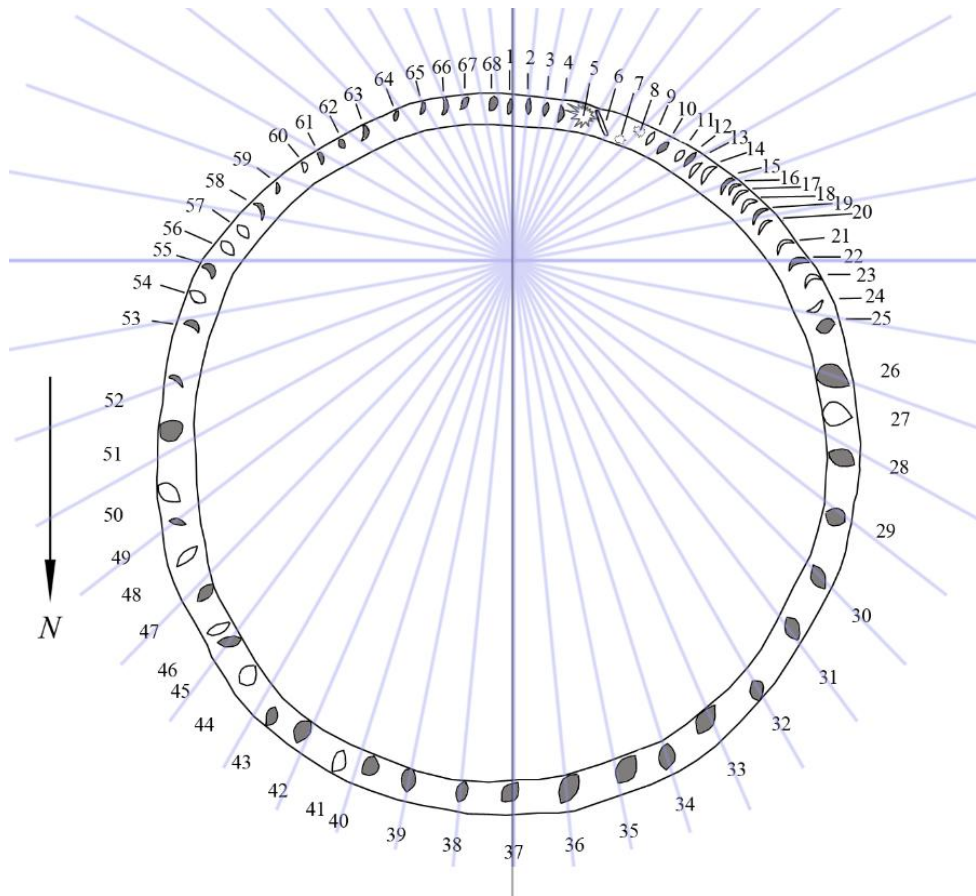


Figure 21. Vil. Staropetrovsky, ruined barrow, vessel with the marks on the inner surface, drawing of the corolla with marks. Blue lines indicate hour lines of horizontal sundial with a sloping gnomon. Digits - the numbers of marks. Gray color indicates the mark located in immediate vicinity from the hour lines. *N* - True North.

For all marks, through which pass or nearby from which there are hour lines (Fig. 21), we calculated the absolute errors of measured marks time relative of calculated hour lines by the formula 17:

$$\Delta t'_z = \frac{\Delta H'_z}{\Delta H'_t} \cdot 30 \quad (17)$$

where $\Delta t'_z$ – absolute error of the measured time-stamped relative to calculated hour lines, $\Delta H'_{t=H'_t} = H'_t - H'_{t+0.5}$ - the angular distance between adjacent hour lines closest to the mark with the number Z (see. tab. 11 and 12), $\Delta H'_z = H'_t - H'_z$ - the difference between the nearest to the mark Z hour line H'_t and angular distance of mark H'_z relatively meridian line.

The results of calculations according to formula 17 are shown in Table 13. Contemplated marks allocated in the figure 21 gray color. Marks of corolla, which are not explicitly refer to the marks of sundial, shown in Figure 21 without the color fill. It is possible that these marks, except marks 5-9 (see. below), may be used to masking technology of measurements of time and prevented the use of a vessel as a sundial without participation of its owner.

Correct use of staropetrovsky vessel as sundial, could be related with the existence of a more accurate "clock face" in the form of a wooden cover – disc, on which gnomon was fortified (Fig. 18). This cover could play the role of scale with the signatures to corolla with marks, similar as L-shaped sundial played the role of scale with the signatures to discoid vertical sundial [57]. The absence of such subsidiary signatures prevent the correct interpretation of the testimony of sundial without participation of the owner of the vessel.

Table 13. The absolute errors measured by the marks of time relative to the calculated hour lines. Z – number of the mark, H'_z - angular distance mark relative meridian line, T - time, H'_t - hour line closest to the mark Z, $\Delta H'_z$ - difference between the hour line H'_t and angular distance of mark H'_z , $\Delta t'_z$ - absolute error of the measured time-stamped, nearest relative to mark, the time line.

Z	H'_z , (°)	T, (hour)	H'_t , (°)	$\Delta H'_z$, (°)	$\Delta t'_z$, (min)
1	-180.0	0.0	-180.0	0.0	0.0
2	-174.7	0.5	-174.4	0.3	-1.6
3	-168.3	1.0	-168.7	-0.4	2.1
4	-162.2	1.5	-162.8	-0.6	3.1
10	-127.4	4.0	-127.7	-0.3	1.1
12	-119.9	4.5	-119.1	0.8	-2.8
15	-109.9	5.0	-109.8	0.1	-0.3
19	-100.8	5.5	-100.0	0.8	-2.5
22	-89.8	6.0	-90.0	-0.2	0.6
25	-78.2	6.5	-80.0	-1.8	5.4
26	-69.7	7.0	-70.2	-0.5	1.5
28	-59.0	7.5	-60.9	-1.9	6.1
29	-51.6	8.0	-52.3	-0.7	-2.4
30	-44.0	8.5	-44.2	-0.2	-0.7
31	-37.2	9.0	-36.7	0.5	-2.0

32	-29.5	9.5	-29.8	-0.3	-1.3
33	-22.8	10.0	-23.3	-0.5	-2.3
34	-17.2	10.5	-17.2	0.0	0.0
35	-12.5	11.0	-11.3	1.2	6.1
36	-6.0	11.5	-5.6	0.4	2.1
37	0.3	12.0	0.0	-0.3	1.6
38	5.6	12.5	5.6	0.0	0.0
39	11.5	13.0	11.3	-0.2	1.1
40	15.8	13.5	17.2	1.4	-7.2
42	24.2	14.0	23.3	-0.9	4.4
43	28.0	14.5	29.8	1.8	-8.3
45	36.7	15.0	36.7	0.0	0.0
47	42.9	15.5	44.2	1.3	-5.2
49	52.2	16.0	52.3	0.1	-0.4
51	63.6	16.5	60.9	-2.7	9.3
52	70.5	17.0	70.2	-0.3	1.0
53	78.7	17.5	80.0	1.3	-4.0
55	88.2	18.0	90.0	1.8	-5.4
58	101.2	18.5	100.0	-1.2	3.6
59	106.8	19.0	109.8	3.0	-9.2
61	118.1	19.5	119.1	1.0	-3.2
62	124.2	20.0	127.7	3.5	-12.1
63	130.7	20.5	135.8	5.1	-19.0
64	140.7	21.0	143.3	2.6	-10.4
65	149.1	21.5	150.2	1.1	-4.8
66	156.0	22.0	156.7	0.7	-3.2
67	162.7	22.5	162.8	0.1	-0.5
68	172.4	23.5	174.4	2.0	-10.5

The average absolute error of time measurement in the range of 8 to 13 o'clock $\Delta t'_{z_mean} \approx 1.8$ minutes was minimal compared to other ranges, as well as the corresponding standard deviation $\sigma \approx 1.6$ minute, calculated according to a formula similar to the formula 4. I.e. in this range the time measurement could be made with maximum precision, that testifies to the key role this range in the technology of measuring time using the are described sundial. Mark 12 o'clock is in this range. With 12 o'clock due shortest shadow during daylight hours. Therefore, this range could be used for control the spatial orientation of the vessel, for control the rate of filling of the vessel and for measure deviations of the sundial from a water clock - measuring the equation of time (see Eq. 13).

Analogously calculated by us the mean absolute error for the range, including all marks, $\Delta t'_{z_mean} \approx 3.9$ minutes, standard deviation $\sigma \approx 3.9$ minutes.

The calculated average absolute error for the non-working time range of sundial from 20 to 4 o'clock has a maximum value in comparison with all other ranges: $\Delta t'_{z_mean} \approx 5.5$ minutes and

standard deviation $\sigma \approx 5.7$ minutes. This is an expected result for a range of marks that could not participate in the direct measurement of time by a sundial.

To working range of sundial, determined by the time of sunrise and sunset at the summer solstice, relate only marks from 4 to 20 o'clock. Calculated by us the average absolute error for this range: $\Delta t_{z_mean} \approx 3.4$ minutes, standard deviation $\sigma \approx 3.1$ minutes. The average absolute error for the time range, the limited time of sunrise and sunset at the equinoxes from 6 to 18 o'clock: $\Delta t_{z_mean} \approx 3.1$ minutes, standard deviation $\sigma \approx 2.7$ minutes. The average absolute error for the time range, the limited time of sunrise and sunset in the days of the winter solstice from 8 to 16 o'clock: $\Delta t_{z_mean} \approx 2.7$ minutes. The calculated standard deviation $\sigma \approx 2.5$ minutes. Given the results obtained, we can conclude that in the working range for the winter solstice, for equinox and for the summer solstice, accuracy of possible measurements of time with marks of the corolla was approximately identical and equal ≈ 3 minutes.

Thus, we believe that marks of the corolla of staropetrovsky vessel could serve as hour markers of sundial with a sloping gnomon. With its help in the time range from 4 to 20 o'clock may be conducted measurement of time with an average accuracy of 3.4 minutes. This accuracy is close accuracy of measurement of time by Egyptian vertical sundial with sloping gnomon the same epoch ≈ 3.6 min [58]. This fact is indirect evidence about the similarities and mediated transfer of technology of measurement of time between these regions.

Analysis and interpretation of star-shaped of the corolla marks

On the rim of staropetrovsky vessel almost all marks are applied using nail impressions. However, marks with numbers 5-8 are from different (Fig. 21). Mark number 5 resembles a star and made using scribe lines from a central point by a thin sharp object, apparently pointed reed (Fig. 22). A mark with the number 6 is forward slash in the form of imprint wand is likely on the reed. Marks with numbers 7 and 8 resemble on stars, but have much smaller dimensions than mark 6. These marks are made by means of pressing a thin sharp object.



Figure 22. Vil. Staropetrovsky, ruined barrow, vessel with the marks on the inner surface, fragment of corolla with marks 5-9: **a** - photo, **b** - drawing. Digits - the numbers of marks.

Directly under this group of marks, on the outer side surface of staropetrovsky vessel, there is an image of the star of base composition (Fig. 23).

We hypothesized that the star on the rim of the vessel, as well as a star on the side surface, could symbolize Sirius. In ancient Egypt, at least from the III millennium BC, heliacal rising of Sirius had a particularly large value, and in Mesopotamia, at least from the VII century BC,

regularly recorded heliacal risings, heliacal settings and akronical risings (the latter rising stars, visible after sunset) Sirius [59, 60].

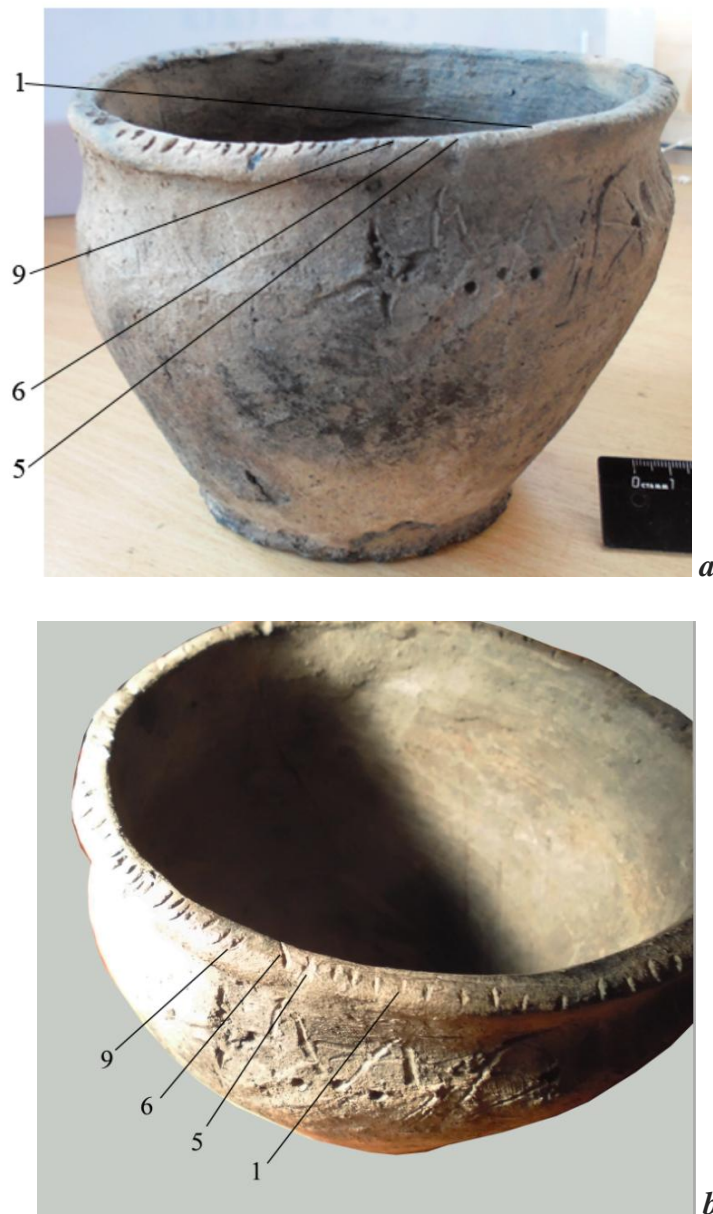


Figure 23. Vil. Staropetrovsky, ruined barrow, vessel with the marks on the inner surface: *a* - side view, *b* - the top view. Digits - the numbers of marks.

As mentioned above, the phenomenon of heliacal rising of Sirius is characterized by a height of Sirius from about $+2^\circ$ to $+3^\circ$, and the height of the Sun from -8° to -6° [61]. For heliacal setting and akronical rising we took the same height values for the Sun and Sirius. The date and time these phenomenon were calculated for 1400 BC using astronomical software RedShift 7 Advanced. At the latitude of the Staropetrovsky village for height Sirius $h \approx +3^\circ$ and the height of the Sun $h \approx -6^\circ$ heliacal rising of Sirius observed 9.08.1400 BC, approximately at 3:40 (local

solar time with respect to noon), heliacal setting - 8.11.1400 BC at 6:23 and akronical rising of Sirius - 17.01.1400 BC at 16:51.

Heliacal rising of Sirius in 1400 BC observed 9 August in a range approximately, ± 100 years. Calculated by means program RedShift 7 Advanced time T_s of rising of Sirius for height of Sirius h_s equal to 0° , $+2^\circ$, $+3^\circ$ above the horizon, and after analyzing it, we found that it is close to time T_z , indicated by the marks 7, 8 and 9. Calculation T_z – time, corresponding to the mark with a given number Z , made by the formulas:

$$\Delta t'_s = \frac{\Delta H'_s}{\Delta H'_t} \cdot 30 \quad (18)$$

$$T_z = T_s + \Delta t'_s \quad (19)$$

where $\Delta t'_s$ - difference time, corresponding to mark with the number Z , from the time of astronomical event, associated with the apparent position of Sirius, $\Delta H'_t = H'_t - H'_{t+0.5}$ - the angular distance between adjacent hour lines, nearest on time to astronomical events (see. tab. 11), $\Delta H'_s = H'_s - H'_z$ - the difference between the hour line H'_s , corresponding to astronomical event, and the angular distance H'_z , on which located a mark with the number Z relative to the noon line, T_z – time, corresponding to the mark with the number Z , T_s - time of astronomical event associated with Sirius.

The results of our calculations according to formulas 18 and 19 shown in Table 14.

Table 14. Time of rising of Sirius near the date of the heliacal rising and the time corresponding to the marks 5-9 on the aureole of staropetrovsky vessel. Z - number of the mark, h_s - height of Sirius, h_{sun} - height of the Sun, T_s - time of astronomical event associated with the apparent position of Sirius, H'_s - the angular distance, on which should be mark relative to the midday line, for the time of a specific astronomical event, H'_z - angular distance, at which locate the mark with number Z respect of meridian line, $\Delta H'_s$ - the difference between the angular distance H'_s and angular distance H'_z , T_z - time corresponding to the mark with the number Z , $\Delta t'_s$ - absolute deviation of time corresponding to the mark with the number Z , from the time of an astronomical event that is associated with the apparent position of Sirius.

Z	h_s , (°)	h_{sun} , (°)	Date	T_s ,	H'_s , (°)	H'_z , (°)	$\Delta H'_s$, (°)	$\Delta t'_s$, (min)	T_z ,
5	+0°04'	- 20°03' Astronomical night	26.08.1400	2:13	-153.9	-153.7	-0.2	0.9	2:13.9
6/1	+3°07'	17°58' The beginning of astronomical twilight	26.08.1400	2:34	-149.3	-149.0	-0.3	1.4	2:35.4
6/2	+3°04'	-12°26' The beginning of nautical twilight	18.08.1400	3:05	-142.1	-143	0.9	-3.6	3:01.4
7	+0°00',	-8°36'	9.08.1400	3:20	-138.4	-139.5	1.1	-4.4	03:15. 6

8	+2°00' ,	-6°59'	9.08.1400	3:33	-135	-136.2	1.2	-4.5	03:28. 5
9	+3°00' ,	-6°06' The beginning of civil twilight	9.08.1400	3:40	-133.2	-132.7	-0.5	1.9	3:41.9

Analyzing the results of the calculations are presented in Table 14, we can conclude that the mark of 5-9, indeed, noted time points that correspond to characteristic visible the provisions of Sirius in a sky near the date of its heliacal rising on the aureole of the vessel as on the dial. Traced by the time of rising of Sirius using the sundial was impossible. It was possible only by using a water clock. Apparently, for this purpose and was used, in the first place, staropetrovsky vessel.

The mark 7 is the earliest by date and time from 5-9 marks. It is a small star-shaped mark, which is located at the inner edges of the corolla. It corresponds to the time, when Sirius must be on the line of horizon. The Sun located approximately by 9° below the horizon at the same time. This position of the Sun corresponds to nautical twilight, which are characterized by good visibility only the brightest - navigational stars, which include Sirius. Most stars are almost impossible to see in close proximity to the horizon, but Sirius is the the brightest star in the night sky, what makes the possibility of such observations more probable under favorable weather conditions. In addition, the neighborhood of the Staropetrovsky village characterized by a flat terrain, one not interfering the observations near the horizon (Fig. 24). Perhaps the heliacal rising of Sirius was observed in the direction of a small (1° - 2°) natural lowering of the horizon relative to the main line of the horizon as in the photo (Fig. 24), which makes possible the observation at time corresponding mark 7.



Figure 24. View of the Staropetrovsky village (foreground) in the vicinity from the ruined barrow, where the vessel with marks was found. On the horizon - pipes of Enakievo Steel (approx. 4.5 km), view from the west (photo A.Usachuka, September 2008)

Mark 8 is the second star-shaped small mark and located at the outer edge of the corolla. It corresponds to the height of Sirius $+2^\circ$. At the same time, the Sun is approximately at 7° below the horizon, which also corresponds to the nautical twilight. The fact that the mark 8 is similar in shape and size to the label 7, but is farther away, as it were, above the site of attachment of the gnomon, can be seen as confirmation that the two marks represent one and the same object in the sky - the star, but at different heights above the horizon. The small size of these marks, in this case, can be interpreted as a weak visibility of stars associated with its proximity to the horizon and, at the same time, with the proximity of its observations on the time to completion of nautical twilight, when the total coverage increases.

Mark 9 shows a conventional of wells constructed as nail impression. Time marked that well corresponds to the height of Sirius $+3^\circ$. The height of the Sun at the same time reaches about -6° . This position of the Sun characterizes the morning end of nautical twilight and the beginning of the civil twilight. From this point lighting is increased to such an extent that even bright navigational stars become invisible. Mark 9 shows the typical shape of corolla marks Staropetrovsky vessel. Likely to, it means that Sirius becomes at this moment already invisible as well.

As noted above, counting of the year from the date of heliacal rising of Sirius in Egypt was introduced at a time when Sirius ascend to a height of $+3^\circ$ at a time when the Sun reaches the height -6° . Mark 9 on the aureole fixes the just such a moment of time. Since the it is associated with the beginning of civil twilight and, accordingly, a qualitative change in the visible stars, we have tried to calculate the date and time when the achievement of by Sirius height $+3^\circ$ coincided with the beginning of astronomical and nautical twilight, because these moments are also associated with a qualitative change in the visibility of celestial objects. Beginning of astronomical twilight in the morning is characterized by the elevation of the Sun -18° . At this point the Milky Way is no longer visible. Remain visible only stars. After completion of astronomical twilight in the beginning of nautical twilight Sun reaches a height of -12° . From that moment the bulk of the stars in the sky become invisible. As mentioned above, only the most bright - navigational stars remain visible.

Our calculations show that the date for achieving by Sirius height $+3^\circ$ at the beginning of nautical twilight was 18 August. Moreover, the time of this astronomical situation coincided with the time corresponding to the edge of the mark 6, closer to the inner edge of the corolla. The date of achieving by Sirius height $+3^\circ$ at the beginning of astronomical twilight turned 26 August. Time of this astronomical situation coincided with the time corresponding to the edge of the mark 6, closer to the outer edge of the corolla. The calculations also show that on the same day - 26 August - Sirius ascended up, were at a height $h \approx 0^\circ$, at a time corresponding to mark 5, which is the incised star. At this time, the Sun is at a height of about -20° , which corresponded to the period of astronomical night, which is characterized by the height of the Sun $h < -18^\circ$. Lighting minimally at the astronomical night, so even the weakest objects in the sky become visible and accessible for visual observation, and Sirius began make an impression more bright stars, compared with the day of heliacal rising and the nearest days. Perhaps with this associated large size of star-shaped mark 5 compared with small star-shaped markers 7 and 8, the relevant date heliacal rising of Sirius.

Because a series marks associated with features of the apparent motion of Sirius for 17 days after the date of its heliacal rising, it is possible that the origins of the tradition of celebrating the

holidays starting from the date of heliacal rising of Sirius [62] are connected with these days. Availability on the aureole of staropetrovsky vessel a series of marks, associated with Sirius, allows for duplicate observations of Sirius near the day of its heliacal rising, for example, for correcting the date of the start of astronomical year or for the calculation of this date, if bad weather conditions prevented observations in the day of heliacal rising of Sirius, for example.

Conclusion

Thus, in the process of study was created geometric model of staropetrovsky vessel, which allowed to calculate the volume of the layers between the marks. Based on these results, it has been hypothesized about perhaps using staropetrovsky vessel as a water clock of accumulative type. Measurements with help of water of the volumes of the layers between the marks have confirmed this hypothesis. With such marking can be measured time intervals, the duration of one hour, with the accuracy ≈ 9.6 minutes. The volume of water for measuring one hour using staropetrovsky vessel turned approximately equal to the volume of water for the measurement of the same interval in ancient Babylonian water clocks.

In this study for the marks on the aureole of staropetrovsky vessel developed a model of horizontal sundial with sloping gnomon, which is mounted on a wooden disk-shaped lid with a hole for water ingress. The calculated accuracy of possible measurements of time intervals duration of half-hour with the help of this sundial in the operating range was equal ≈ 3.4 minutes.

Simultaneous measurement of time by the water clock and sundial allowed to notice a difference in their indications, reflecting the difference between average solar time from the true solar time. In this connection one of the elements of the composition on the outer surface of the vessel was interpreted as a schematic image of change the value of such difference during the year - the graph of the equation of time.

Series of marks on the outer surface of the vessel and on its corolla was associated with the star Sirius and its heliacal rising. Given in this paper the results of astronomical calculations allow to state that astronomical beginning of the year recorded since the heliacal rising of Sirius at the **Srubna** population of the Northern Black Sea Coast.

Other elements of the composition also managed to associate with astronomical regularities, related to the apparent motion of the Sun throughout the year.

Thus, the carried out calculations and measurements possible to prove that Staropetrovsky vessel is the most ancient water clock, discovered on the territory of Europe, and have approximately the same age as the oldest known ancient Egyptian water clock. Such vessels - water clocks were needed for **Srubna** population to mark sundial, which had recently been discovered in the Northern Black Sea Coast.

Based on the analysis of marks on the outside of the vessel, it was revealed that staropetrovsky vessel is unique ancient complex device for measuring time and at the same time using a water clock, and with the help of a sundial, allows to monitor of the uneven apparent motion of the Sun long before the existing written evidence about such monitoring.

Acknowledgement

The authors express their sincere thanks to astronomer of European Southern Observatory Nando Patat for the consultations on using the program HORIZONS System.

References

1. Клименко В.Ф., Усачук А.Н., Цымбал В.И. Курганные древности Центрального Донбасса Донецк: РИП "Лебедь", 1994. с. 102, 107-108.
2. Клименко В.Ф., Цымбал В.И. О сосудах со знаками срубной общности эпохи поздней бронзы в Северо-Восточном Приазовье и Подонцовье // ДАС. – Вып. 10. Донецк: изд-во ДонНУ, 2002. с. 33.
3. Захарова Е.Ю. Сосуды со знаками срубной общности эпохи поздней бронзы. Воронеж: ЦЧКИ, 2000. с. 89, 91.
4. Evans, J. *The History and Practice of Ancient Astronomy*. Oxford: Oxford University Press. 1998, p. 15.
5. Feldhaus, F.M. *Die Technik der Vorzeit der geschichtlichen Zeit und der Naturvolker*. München, 1965, p. 1235.
6. Куртик Г.Е. Астрономия Древнего Египта // Историко-астрономические исследования. Выпуск XXII / ответственный редактор А.А. Гурштейн, Москва, 1990. с. 234.
7. Шолпо Н. А., 1939. Два фрагмента египетских водяных часов // Тр. Отдела Востока Государственного Эрмитажа. – Т. 1. – С. 153–170.
8. EAT, I, II, III, см. Neugebauer, Parker, 1960, 1964, 1969, p. 12-14, 42-44, 60-61.
9. Borchardt, L. *Die altägyptische Zeitmessung*. Berlin. 1920, p. 8-10.
10. Pogo, A. Egyptian Water Clocks. *Isis*. V. 25. 1936. P. 403-425.
11. Sloley, R. Ancient Clepsydrae. *Ancient Egypt*. Pt. 2. 1924. P. 43-50.
12. Sloley, R. Primitive Methods of Measuring Time. *The Journal of Egyptian Archaeology*. V. 17. 1931. P. 166-178.
13. Petrie, W. M. F. *The Royal Tombs of the First Dynasty*. V. 1. London – Boston. 1900, pl. 1.
14. Куртик Г.Е. Астрономия Древнего Египта // Историко-астрономические исследования. Выпуск XXII / ответственный редактор А.А. Гурштейн, Москва, 1990. с. 234.
15. Cotterell, B.; Kamminga, J. *Mechanics of pre-industrial technology: An introduction to the mechanics of ancient and traditional material culture*. 1990, p. 59.
16. Куртик Г.Е. Астрономия Древнего Египта // Историко-астрономические исследования. Выпуск XXII / ответственный редактор А.А. Гурштейн, Москва, 1990. с. 235.
17. Pogo, A. Egyptian Water Clocks. *Isis*. V. 25. 1936. P. 403-425.
18. Vodolazhskaya, L.N. Analemmatic and horizontal sundials of the Bronze Age (Northern Black Sea Coast). *Archaeoastronomy and Ancient Technologies*. 2013. № 1(1). PP. 68-88.
19. Мартынов А.И., Шер Я.А. Методы археологического исследования. Москва: Изд. Высшая школа, 2002, с. 158.
20. Powell, R. *The pharmacopoeia of the Royal College of Physicians of London*, M. DCCC. IX. Longman, Hurst, Rees, and Orme. 1809. pp. 6–7.
21. Al-Biruni *The chronology of ancient nations: an English version of the Arabic text of the Athâr-ul-Bâkiya of Albîrûnî, or "Vestiges of the Past"*. 1879. P. 147–149.
22. Neugebauer, O. Studies in Ancient Astronomy. VIII. The Water Clock in Babylonian Astronomy. *Isis* 37 (1/2). 1947. P. 37–43.
23. Bezold, C.; Boll, F.; Kopff, A. *Zenit- und Aequatorialgestirne am babylonischen Fixsternhimmel*. Sitzungsber. d. Heidelberger Akad. d. Wissenschaften, Philos.-hist. Klasse, 1913, № 11. p. 54.

24. Weidner, E.F. *Alter und Bedeutung der babylonischen Astronomie und Astrallehre*. Leipzig: J.C. Hinrichs, 1914, p. 66.
25. Weidner, E.F. *Handbuch der babylonischen Astronomie*. I, Leipzig 1915, p. 43.
26. Powell, M.A. *Metrology and Mathematics in Ancient Mesopotamia*. In Sasson, Jack M. *Civilizations of the Ancient Near East III*. New York, NY: Charles Scribner's Sons. 1995, p. 1955.
27. Краткий справочник физико-химических величин. Ленинград: Изд. Химия, 1974 г, с. 105.
28. Hunger, D.; Pingree, D. MUL.APIN. *An Astronomical Compendium in Cuneiform*, AfO Beiheft 24, Horn, 1989, P. 163-164.
29. Измерение времени и календари в Древней Месопотамии (шумерский период) // Вопросы истории естествознания и техники. 2013. № 4. С. 22–40.
30. Sloley, R.W. *Ancient Clepsydrae*, *Ancient Egypt* J(2), 1924, pp. 43-50.
31. Turner, A.J. *The Time Museum*. Vol I: Time Measuring Instruments; Part 3: Water-clocks, Sand-glasses, Fire-clocks. Rockford, IL: The Time Museum, 1884, p.46.
32. Clagett, M. *Ancient Egyptian Science: Ancient Egyptian mathematics*. American Philosophical Society, 1999, p. 14.
33. Scott, N.E. Egyptian Cubit Rods. *Bulletin of the Metropolitan Museum of Art*, n.s., I, 1942, pp. 70-75.
34. Clagett, M. *Ancient Egyptian Science: Ancient Egyptian mathematics*. American Philosophical Society, 1999, p. 11.
35. Захарова Е.Ю. Сосуды со знаками срубной общности эпохи поздней бронзы. Воронеж: ЦЧКИ, 2000. 163 с.
36. Клименко В.Ф., Цымбал В.И. О сосудах со знаками срубной общности эпохи поздней бронзы в Северо-Восточном Приазовье и Подонцовье // ДАС. – Вып. 10. Донецк: изд-во ДонНУ, 2002. – С. 33.
37. Захарова Е.Ю. Сосуды со знаками срубной общности эпохи поздней бронзы. Воронеж: ЦЧКИ, 2000. 88 с.
38. Захарова Е.Ю. Сосуды со знаками срубной общности эпохи поздней бронзы. Воронеж: ЦЧКИ, 2000. 91 с.
39. Kelley, D.; Milone, E., *Exploring Ancient Skies: An Encyclopedic Survey of Archaeoastronomy*. New York: Springer-NY. 2005. P. 21.
40. Потемкина, Т. М., Юревич, В. А., Из опыта археоастрономического исследования археологических памятников (методический аспект). М.: Изд. ИА РАН. 1998. С. 19.
41. Абалакин, В.К., *Астрономический календарь. Постоянная часть*. М.: Наука. 1981. С. 44.
42. Монтенбрук О., Пфлегер Т. *Астрономия на персональном компьютере*. СПб.: Питер. 2002. С.35.
43. Vodolazhskaya L.N. Analemmatic and horizontal sundials of the Bronze Age (Northern Black Sea Coast). *Archaeoastronomy and Ancient Technologies*. 2013. № 1(1). PP. 68-88.
44. Кононович Э.В., Мороз В.И. *Общий курс астрономии*. М.: Едиториал, 2004 г. с. 33-35.
45. Leverington, D. *Babylon to Voyager and beyond: a history of planetary astronomy*. Cambridge University Press. 2003. pp. 6 - 7.
46. Evans, J. *The History and Practice of Ancient Astronomy*, Oxford University Press. 1998. pp. 213 - 215.
47. Toomer, G.J. *Ptolemy's Almagest*. Princeton University Press. 1998. p. 171.

48. Куртик Г.Е. Измерение времени и календари в Древней Месопотамии (шумерский период) // Вопросы истории естествознания и техники. 2013. № 4. С. 22–40.
49. Кононович Э.В., Мороз В.И. Общий курс астрономии. М.: Едиториал, 2004 г. с. 41.
50. Кононович Э.В., Мороз В.И. Общий курс астрономии. М.: Едиториал, 2004 г. с. 510.
51. Gautschy, R. Der Stern Sirius in Ägypten. *Zeitschrift für Ägyptische Sprache und Altertumskunde* 178, Vol. 2, 2011, p. 116-131.
52. Studies in Honor of G.R. Hughes. *Studies in Ancient Oriental Civilization* 39. Chicago: The Oriental Institute, 1976, p. 182.
53. Берлев О.Д. Два периода Сотиса между Годом 18 царя Сену, или Тосортроса, и Годом 2 фараона Антонина Пия // Древний Египет: язык – культура – сознание. По материалам египтологической конференции 12 – 13 марта 1998 г. М., 1999, с. 42-62.
54. Zwicky, F. *Discovery, Invention, Research - Through the Morphological Approach*, Toronto: The Macmillan Company. 1969. 276 p.
55. Savoie, D. *Sundials design construction and use*. Springer, 2009. p. 71.
56. Waugh, A.E. *Sundials: Their Theory and Construction*. Dover Publications, Inc.: New York, USA, 1973; pp. 35-51.
57. Vodolazhskaya, L.N. Reconstruction of ancient Egyptian sundials. *Archaeoastronomy and Ancient Technologies*. 2014. № 2(2). PP. 1-18.
58. Vodolazhskaya, L.N. Reconstruction of ancient Egyptian sundials. *Archaeoastronomy and Ancient Technologies*. 2014. № 2(2). PP. 1-18.
59. Куртик Г.Е. Звездное небо Древней Месопотамии: шумеро-аккадские названия созвездий и других светил. СПб.: Алетейя, 2007, с. 243.
60. Sachs, A., Hunger, H. *Astronomical Diaries and Related Texts from Babylonia*. Vol. I: Diaries from 652 B.C. to 262 B.C. Verlag der Österreichischen Akademie der Wissenschaften, Vienna, 1988.
61. Gautschy, R. Der Stern Sirius in Ägypten. *Zeitschrift für Ägyptische Sprache und Altertumskunde* 178, Vol. 2, 2011, 116-131.
62. Holberg, J.B. *Sirius: Brightest Diamond in the Night Sky*. Chichester, UK: Praxis Publishing. 2007.

Application

Date for 1400 г. BC	Date for 2015 г. AD	η , (min)	Date for 1400 г. BC	Date for 2015 г. AD	η , (min)	Date for 1400 г. BC	Date for 2015 г. AD	η , (min)
1.1	17.12	-7	12.2	28.1	-20	26.3	11.3	-10
2.1	18.12	-7	13.2	29.1	-20	27.3	12.3	-10
3.1	19.12	-8	14.2	30.1	-20	28.3	13.3	-9
4.1	20.12	-8	15.2	31.1	-20	29.3	14.3	-9
5.1	21.12	-9	16.2	1.2	-20	30.3	15.3	-8
6.1	22.12	-9	17.2	2.2	-19	31.3	16.3	-8
7.1	23.12	-10	18.2	3.2	-19	1.4	17.3	-7
8.1	24.12	-10	19.2	4.2	-19	2.4	18.3	-7
9.1	25.12	-11	20.2	5.2	-19	3.4	19.3	-7
10.1	26.12	-11	21.2	6.2	-19	4.4	20.3	-6
11.1	27.12	-12	22.2	7.2	-19	5.4	21.3	-6
12.1	28.12	-12	23.2	8.2	-19	6.4	22.3	-5
13.1	29.12	-12	24.2	9.2	-19	7.4	23.3	-5
14.1	30.12	-13	25.2	10.2	-19	8.4	24.3	-5
15.1	31.12	-13	26.2	11.2	-19	9.4	25.3	-4
16.1	1.1	-14	27.2	12.2	-18	10.4	26.3	-4
17.1	2.1	-14	28.2	13.2	-18	11.4	27.3	-3
18.1	3.1	-14	1.3	14.2	-18	12.4	28.3	-3
19.1	4.1	-15	2.3	15.2	-18	13.4	29.3	-2
20.1	5.1	-15	3.3	16.2	-18	14.4	30.3	-2
21.1	6.1	-15	4.3	17.2	-17	15.4	31.3	-2
22.1	7.1	-16	5.3	18.2	-17	16.4	1.4	-1
23.1	8.1	-16	6.3	19.2	-17	17.4	2.4	-1
24.1	9.1	-16	7.3	20.2	-17	18.4	3.4	0
25.1	10.1	-17	8.3	21.2	-16	19.4	4.4	0
26.1	11.1	-17	9.3	22.2	-16	20.4	5.4	1
27.1	12.1	-17	10.3	23.2	-16	21.4	6.4	1
28.1	13.1	-17	11.3	24.2	-15	22.4	7.4	1
29.1	14.1	-18	12.3	25.2	-15	23.4	8.4	2
30.1	15.1	-18	13.3	26.2	-15	24.4	9.4	2
31.1	16.1	-18	14.3	27.2	-14	25.4	10.4	2
1.2	17.1	-18	15.3	28.2	-14	26.4	11.4	3
2.2	18.1	-18	16.3	1.3	-14	27.4	12.4	3
3.2	19.1	-19	17.3	2.3	-13	28.4	13.4	4
4.2	20.1	-19	18.3	3.3	-13	29.4	14.4	4
5.2	21.1	-19	19.3	4.3	-13	30.4	15.4	4
6.2	22.1	-19	20.3	5.3	-12	1.5	16.4	5
7.2	23.1	-19	21.3	6.3	-12	2.5	17.4	5
8.2	24.1	-19	22.3	7.3	-12	3.5	18.4	5
9.2	25.1	-19	23.3	8.3	-11	4.5	19.4	6
10.2	26.1	-19	24.3	9.3	-11	5.5	20.4	6
11.2	27.1	-19	25.3	10.3	-10	6.5	21.4	6

Date for 1400 г. BC	Date for 2015 г. AD	η , (min)	Date for 1400 г. BC	Date for 2015 г. AD	η , (min)	Date for 1400 г. BC	Date for 2015 г. AD	η , (min)
7.5	22.4	6	20.6	5.6	8	3.8	19.7	-2
8.5	23.4	7	21.6	6.6	8	4.8	20.7	-2
9.5	24.4	7	22.6	7.6	8	5.8	21.7	-2
10.5	25.4	7	23.6	8.6	8	6.8	22.7	-2
11.5	26.4	7	24.6	9.6	8	7.8	23.7	-2
12.5	27.4	8	25.6	10.6	7	8.8	24.7	-2
13.5	28.4	8	26.6	11.6	7	9.8	25.7	-3
14.5	29.4	8	27.6	12.6	7	10.8	26.7	-3
15.5	30.4	8	28.6	13.6	7	11.8	27.7	-3
16.5	1.5	9	29.6	14.6	7	12.8	28.7	-3
17.5	2.5	9	30.6	15.6	6	13.8	29.7	-3
18.5	3.5	9	1.7	16.6	6	14.8	30.7	-3
19.5	4.5	9	2.7	17.6	6	15.8	31.7	-3
20.5	5.5	9	3.7	18.6	6	16.8	1.8	-3
21.5	6.5	9	4.7	19.6	5	17.8	2.8	-3
22.5	7.5	10	5.7	20.6	5	18.8	3.8	-3
23.5	8.5	10	6.7	21.6	5	19.8	4.8	-3
24.5	9.5	10	7.7	22.6	4	20.8	5.8	-3
25.5	10.5	10	8.7	23.6	4	21.8	6.8	-3
26.5	11.5	10	9.7	24.6	4	22.8	7.8	-3
27.5	12.5	10	10.7	25.6	4	23.8	8.8	-3
28.5	13.5	10	11.7	26.6	3	24.8	9.8	-3
29.5	14.5	10	12.7	27.6	3	25.8	10.8	-3
30.5	15.5	10	13.7	28.6	3	26.8	11.8	-3
31.5	16.5	10	14.7	29.6	3	27.8	12.8	-3
1.6	17.5	10	15.7	30.6	2	28.8	13.8	-3
2.6	18.5	10	16.7	1.7	2	29.8	14.8	-3
3.6	19.5	10	17.7	2.7	2	30.8	15.8	-3
4.6	20.5	10	18.7	3.7	2	31.8	16.8	-2
5.6	21.5	10	19.7	4.7	1	1.9	17.8	-2
6.6	22.5	10	20.7	5.7	1	2.9	18.8	-2
7.6	23.5	10	21.7	6.7	1	3.9	19.8	-2
8.6	24.5	10	22.7	7.7	1	4.9	20.8	-2
9.6	25.5	10	23.7	8.7	0	5.9	21.8	-2
10.6	26.5	10	24.7	9.7	0	6.9	22.8	-2
11.6	27.5	10	25.7	10.7	0	7.9	23.8	-1
12.6	28.5	10	26.7	11.7	0	8.9	24.8	-1
13.6	29.5	10	27.7	12.7	0	9.9	25.8	-1
14.6	30.5	9	28.7	13.7	-1	10.9	26.8	-1
15.6	31.5	9	29.7	14.7	-1	11.9	27.8	-1
16.6	1.6	9	30.7	15.7	-1	12.9	28.8	-1
17.6	2.6	9	31.7	16.7	-1	13.9	29.8	0
18.6	3.6	9	1.8	17.7	-1	14.9	30.8	0
19.6	4.6	9	2.8	18.7	-2	15.9	31.8	0

Date for 1400 г. BC	Date for 2015 г. AD	η , (min)	Date for 1400 г. BC	Date for 2015 г. AD	η , (min)	Date for 1400 г. BC	Date for 2015 г. AD	η , (min)
16.9	1.9	0	30.10	15.10	9	13.12	28.11	2
17.9	2.9	0	31.10	16.10	10	14.12	29.11	2
18.9	3.9	1	1.11	17.10	10	15.12	30.11	1
19.9	4.9	1	2.11	18.10	10	16.12	1.12	1
20.9	5.9	1	3.11	19.10	10	17.12	2.12	0
21.9	6.9	1	4.11	20.10	10	18.12	3.12	0
22.9	7.9	2	5.11	21.10	10	19.12	4.12	-1
23.9	8.9	2	6.11	22.10	10	20.12	5.12	-1
24.9	9.9	2	7.11	23.10	10	21.12	6.12	-1
25.9	10.9	2	8.11	24.10	10	22.12	7.12	-2
26.9	11.9	3	9.11	25.10	10	23.12	8.12	-2
27.9	12.9	3	10.11	26.10	10	24.12	9.12	-3
28.9	13.9	3	11.11	27.10	10	25.12	10.12	-3
29.9	14.9	3	12.11	28.10	10	26.12	11.12	-4
30.9	15.9	4	13.11	29.10	10	27.12	12.12	-4
1.10	16.9	4	14.11	30.10	10	28.12	13.12	-5
2.10	17.9	4	15.11	31.10	10	29.12	14.12	-5
3.10	18.9	4	16.11	1.11	9	30.12	15.12	-6
4.10	19.9	5	17.11	2.11	9	31.12	16.12	-6
5.10	20.9	5	18.11	3.11	9	-	-	-
6.10	21.9	5	19.11	4.11	9	-	-	-
7.10	22.9	5	20.11	5.11	9	-	-	-
8.10	23.9	5	21.11	6.11	9	-	-	-
9.10	24.9	6	22.11	7.11	9	-	-	-
10.10	25.9	6	23.11	8.11	8	-	-	-
11.10	26.9	6	24.11	9.11	8	-	-	-
12.10	27.9	6	25.11	10.11	8	-	-	-
13.10	28.9	7	26.11	11.11	8	-	-	-
14.10	29.9	7	27.11	12.11	8	-	-	-
15.10	30.9	7	28.11	13.11	7	-	-	-
16.10	1.10	7	29.11	14.11	7	-	-	-
17.10	2.10	7	30.11	15.11	7	-	-	-
18.10	3.10	8	1.12	16.11	6	-	-	-
19.10	4.10	8	2.12	17.11	6	-	-	-
20.10	5.10	8	3.12	18.11	6	-	-	-
21.10	6.10	8	4.12	19.11	6	-	-	-
22.10	7.10	8	5.12	20.11	5	-	-	-
23.10	8.10	9	6.12	21.11	5	-	-	-
24.10	9.10	9	7.12	22.11	4	-	-	-
25.10	10.10	9	8.12	23.11	4	-	-	-
26.10	11.10	9	9.12	24.11	4	-	-	-
27.10	12.10	9	10.12	25.11	3	-	-	-
28.10	13.10	9	11.12	26.11	3	-	-	-
29.10	14.10	9	12.12	27.11	3	-	-	-

Древнейшие водяные часы эпохи бронзы (Северное Причерноморье)

Л.Н. Водолажская¹, А.Н. Усачук², М.Ю. Невский³

¹Южный Федеральный Университет, Ростов-на-Дону, Россия; e-mail: larisavodol@yahoo.com

²Донецкий областной краеведческий музей, Донецк, Украина; E-mail: doold@mail.ru

³Южный Федеральный Университет, Ростов-на-Дону, Россия; e-mail: munevsky@sfnu.ru

Аннотация

В статье приводятся результаты междисциплинарного исследования, проведенного с помощью археологических, физических и астрономических методов. Целью исследования являлся анализ и интерпретация меток и рисунков, нанесенных на поверхность срубного сосуда, обнаруженного вблизи пос. Старопетровское (Донецкая обл. Украина) недалеко от границы между Донецкой и Луганской областями. Проведенные расчеты и измерения позволили установить, что старопетровский сосуд является самыми древними водяными часами, обнаруженными на территории Европы, и имеющими приблизительно такой же возраст, как и самые древние из известных древнеегипетских водяных часов. Подобные сосуды – водяные часы были необходимы срубному населению для разметки солнечных часов, которые недавно были обнаружены в Северном Причерноморье.

Опираясь на анализ меток на внешней стороне сосуда, было выявлено, что старопетровский сосуд также являлся уникальным древнейшим комплексным устройством для измерения времени одновременно и с помощью водяных часов, и с помощью солнечных часов, позволявшим следить за неравномерностью видимого движения Солнца задолго до существующих письменных свидетельств о таком наблюдении.

Ряд меток на внешней поверхности сосуда и на его венчике был сопоставлен со звездой Сириус и с его гелиакическим восходом. Приводимые в статье результаты астрономических расчетов позволяют утверждать, что астрономическое начало года у срубного населения Северного Причерноморья фиксировалось с момента гелиакического восхода Сириуса.

Ключевые слова: археоастрономия, моделирование, срубная культура, сосуд, метки, водяные часы, солнечные часы, уравнение времени, Сириус, гелиакический восход.

Введение

В 1985 году у поселка Старопетровское (48⁰13' N, 38⁰09' E) в окрестностях г. Енакиево, в разрушенном кургане был найден сосуд, принадлежащий срубной культуре и датируемый XV-XIV вв. до н.э. [1-3]. Его уникальность заключалась в сочетании группы знаков, нанесенных на внешнюю и внутреннюю поверхности сосуда. Особенно редкими являлись метки на внутренней стороне сосуда, которые представляли собой вертикальный ряд ногтевых вдавлений (рис. 1).

Рисунок 1. Пос. Старопетровское, разрушенный курган, сосуд с метками на внутренней поверхности: *a* – рисунок композиции на внешней стороне сосуда, *b* – вид сверху

(рисунок), *c* – вид сбоку (рисунок), *d* – метки на внутренней боковой поверхности (рисунок); *A* – место нанесения меток на внутренней поверхности относительно композиции на внешней стороне сосуда. (прорисовка: В.Б. Панковский, А.Н. Усачук, 1993 г.), *e* – фотография внешней боковой поверхности сосуда (фото А.Н. Усачука, 2014 г.), *f* – фотография внутренней поверхности сосуда (фото А.Н. Усачука, 2014 г.).

Старопетровский сосуд имеет не очень симметричную форму. Его высота от 11,6-11,8 см до 12,0-12,2 см. Диаметр венчика 14,3-14,6 см, ребра – 15,3-15,6 см, дна – 9,4-9,8 см.

Цвет старопетровского сосуда снаружи – желто-серый с темно-серыми (изредка до почти черного цвета) пятнами. Тесто в изломе темно-серое без резких прослоек. В целом, обжиг сосуда довольно качественный, при постукивании по стенкам сосуда звук чистый и почти звонкий.

Под венчиком старопетровского сосуда участок наружной поверхности покрыт прочерченными знаками (рис. 1). На внутренней поверхности сосуда проходит вертикальная немного неровная линия отпечатков ногтя, начинающаяся в районе внутренней части ребра сосуда и заходящая на дно. Всего зафиксировано 8 отпечатков, нанесенных на тулово сосуда и 8 отпечатков ногтя на дне.

В данный момент уникальный сосуд хранится в Донецком областном краеведческом музее. Сосуд чудом уцелел во время бомбежек музея в августе 2014 года¹⁷.

Древние водяные часы

Наиболее известным типом древних сосудов, с вертикально расположенными метками, являются водяные часы (клепсидры).

Самое древнее упоминание о водяных часах было обнаружено в текстах клинописных табличек коллекций Энума-Ану-Энлиль (XVII-XII века до н.э.) и MUL.APIN (VII в. до н.э.) [4]. В этих табличках о водяных часах говорится в связи с платой охранникам в дневные и ночные часы.

Однако, древних водяных часов или их фрагментов из Месопотамии до сих пор обнаружено не было. Поэтому их внешний вид остается неясным. Предполагается, что в Вавилоне могли использоваться водяные часы цилиндрической формы [5]

Наиболее древние из обнаруженных водяных часов были найдены на территории Египта в Карнаке и датируются эпохой Аменхотепа III (XIV в. до н.э.) (рис. 2 а). В Египте была также обнаружена и надпись с описанием водяных часов в гробнице Аменемхета (XVI в. до н.э.), сановника времен Аменхотепа I, в которой также утверждалось, что Аменемхет был их изобретателем [6].

Также были обнаружены фрагменты египетских клепсидр и их уменьшенные копии, датированные более поздним, эллинистическим и римским периодами [7-12]

Рисунок 2. Карнакская клепсидра: **a** – фотография клепсидры (Каир, Египетский музей)¹⁸, **b** – схема шкал карнакской клепсидры на ее внутренней поверхности [13].

¹⁷ <http://www.youtube.com/watch?v=FKkCIKYM2dc>

Древние водяные часы могли иметь различную форму (перевернутый усеченный конус, призматическую, цилиндрическую и др.) и измеряли объем вытекающей или втекающей воды. Инструменты первого типа, называемые водяными часами вытекающего типа, перед началом измерений наполняли водой до предельного уровня, а второго типа, называемые часами накопительного типа, напротив, полностью освобождали от воды [14].

Водяные часы применялись для измерения времени в закрытых помещениях, чаще всего в храмах при совершении богослужения, когда требовалось строго учитывать время. Каждый час дня был посвящен одному божеству, и каждому божеству посвящалась особая молитва. Водяные часы были важным прибором и для определения времени в ночные часы, необходимого при астрономических наблюдениях [15].

Отсчет времени в египетских водяных часах производили по градуированным шкалам, нанесенным на внутреннюю поверхность сосуда. Клепсидра из Карнака имела 12 подобных шкал неодинаковой длины, скорее всего, по одной на каждый месяц года (рис. 2 б). Они были разделены на 11 интервалов, предположительно, позволяющих измерять время от конца 1-го часа до конца 12-го часа ночи. Исходной точкой для измерения, возможно, служил восход или кульминация определенной звезды, после чего отсчет часов производился независимо от звездных наблюдений [16].

В некоторых других образцах клепсидр также имелись 12 шкал, но разделенных уже на 12 интервалов. В ряде клепсидр распределение шкал по месяцам было неравномерным [17]. Таким образом, не существовало строгих правил для разметки египетских водяных часов, и они вполне могли меняться в разные эпохи.

Расчеты объема старопетровского сосуда

Обнаруженный в 1985 году вблизи поселка Старопетровское срубный сосуд имеет метки на внутренней стороне, напоминающие разметку водяных часов [18].

Первоначально, на основании опубликованной ранее прорисовки (рис. 1), нами были проведены расчеты объемов, соответствующие меткам сосуда. Сосуд мысленно был разделен на восемь горизонтальных слоев между девятью метками. Из-за крутых изгибов боковых стенок, для более точного расчета объема сосуда, слой между первой и второй метками был дополнительно разделен на четыре слоя, а слой между восьмой и девятой метками – на два слоя. Пространство между дном и первой меткой, а также девятой меткой и верхним краем венчика сосуда также рассматривались нами, как отдельные слои. Таким образом, сосуд был мысленно разбит нами на тринадцать слоев ($N=13$).

Рисунок 3. Пос. Старопетровское, разрушенный курган, чертеж сосуда: Y – вертикальная координатная ось, направленная от дна к венчику сосуда, y_i – координаты меток и вспомогательных слоев по оси Y . Рядом с метками проставлены их номера.

Боковую поверхность сосуда мы аппроксимировали ломаной линией, соответствующей делению сосуда на слои (рис. 3). Каждый слой был представлен нами, как усеченный круговой наклонный конус, объем которого рассчитывался по формуле 1:

¹⁸http://www.eternalegypt.org/EternalEgyptWebsiteWeb/HomeServlet?ee_website_action_key=action.display.text.viewer&language_id=1&element_id=60513&name=19741&image_name=http://www.eternalegypt.org/images/elements/19741_310x310.jpg&mode=1n&title=Water%20Clock

$$V_i = \frac{1}{12} \cdot \pi \cdot h_i \cdot (d_{i-1}^2 + d_{i-1} \cdot d_i + d_i^2), \quad (1)$$

где $h_i = y_i - y_{i-1}$,

$$i \in [1; N]$$

V_i – рассчитанный объем i -го конуса, i – номер конуса, y_i – координата метки сосуда или вспомогательного слоя по оси Y (для дна $i=0$), h_i – высота i -го конуса, d_i – диаметр основания i -го конуса, N – общее количество слоев. В нашем случае $N=13$.

Результаты наших расчетов представлены в таблице 1.

Таблица 1. Рассчитанные объемы слоев – усеченных конусов; i – номер конуса, y_i – координата метки сосуда или вспомогательного слоя по оси Y (для дна $i=0$), h_i – высота i -го конуса, d_i – диаметр основания i -го конуса, V_i – рассчитанный объем i -го конуса.

i	y_i (см)	h_i (см)	d_i (см)	V_i (см ³)
0	0.0	0.0	5.8	-
1	0.1	0.1	6.7	3.1
2	0.4	0.3	7.9	12.6
3	1.1	0.7	9.2	40.0
4	2.1	1.0	10.5	75.7
5	3.5	1.4	11.5	132.9
6	5.3	1.8	12.5	203.6
7	6.3	1.0	12.9	126.5
8	7.2	0.9	13.1	119.5
9	8.2	1.0	13.1	134.3
10	9.2	1.0	12.0	123.7
11	9.8	0.6	11.9	67.6
12	10.5	0.7	12.0	78.8
13	11.0	0.5	12.2	57.9

Рассчитанный нами по прорисовке суммарный объем сосуда равен сумме объемов всех слоев $V_{общ} = 1176,2 \text{ см}^3$.

Результирующие объемы слоев между метками представлены в таблице 2.

Таблица 2. Рассчитанные результирующие объемы слоев – усеченных конусов между метками; m – номер метки, j – номер слоя между метками, V_j – объем j -го слоя.

m	j	V_j (см ³)
1	-	-
2	1	128.3
3	2	132.9
4	3	203.6
5	4	126.5
6	5	119.5
7	6	134.3

8	7	123.7
9	8	146.4

Измеренная максимальная высота старопетровского сосуда равна 12.2 см.

Объем сосуда между крайними (1-й и 9-й) метками рассчитывался нами по формуле 2, средний объем слоя между метками – по формуле 3, и среднее квадратичное отклонение рассчитывалось по формуле 4 [19]:

$$V_{\text{мет}} = \sum_{j=1}^n V_j \quad (2)$$

$$V_{\text{cp}} = \sum_{j=1}^n \frac{V_j}{n} \quad (3)$$

$$\sigma = \pm \sqrt{\frac{1}{n} \sum_{j=1}^n (V_{\text{cp}} - V_j)^2} \quad (4)$$

где $V_{\text{мет}}$ - объем сосуда между крайними (1-й и 9-й) метками, j – номер слоя между метками, n – общее количество слоев между метками ($n=8$), V_j – объем j -го слоя, V_{cp} - средний объем слоя между метками, σ – среднее квадратичное отклонение.

$$V_{\text{marks}} = \sum_{j=1}^n V_j \quad (2)$$

$$V_{\text{ar}_m} = \sum_{j=1}^n \frac{V_j}{n} \quad (3)$$

$$\sigma = \pm \sqrt{\frac{1}{n} \sum_{j=1}^n (V_{\text{ar}_m} - V_j)^2} \quad (4)$$

Рассчитанный по формуле 2 объем сосуда между крайними (1-й и 9-й) метками $V_{\text{мет}}=1115.3 \text{ см}^3$. Рассчитанный по формуле 3 средний объем слоя между метками $V_{\text{cp}}=139.4 \text{ см}^3$. Рассчитанное по формуле 4 среднее квадратичное отклонение $\sigma=\pm 25,4 \text{ см}^3$. Таким образом, объем каждого слоя сосуда между двумя соседними метками оказался равен $139,4 \pm 25,4 \text{ см}^3$. Объемы почти всех слоев попали в этот диапазон. Только объем 3-го слоя на 38.8 см^3 (23.5%) превысил верхнюю границу указанного диапазона. Для выяснения причины такого отклонения требовалось проведение непосредственных измерений объема сосуда водой. Если причина заключалась в неточности прорисовки, то такие измерения полностью подтвердили бы нашу гипотезу о том, что старопетровский сосуд мог использоваться в качестве водяных часов.

Таким образом, проведенные нами расчеты на основе первичной прорисовки старопетровского сосуда, в первом приближении, подтвердили гипотезу о том, что старопетровский сосуд мог являться водяными часами накопительного типа для измерения временных промежутков равной длительности, т.к. метки отмечали объемы

примерно одной и той же величины. Однако, для окончательного вывода, требовалось проведение непосредственных измерений сосуда водой.

Измерения объема старопетровского сосуда

Для проверки результатов расчетов и уточнения объема, А.Н. Усачуком были проведены измерения объема каждого слоя сосуда между метками с помощью воды. Для того, чтобы добиться максимальной точности измерений, были использованы химико-лабораторные мерные стаканы: на 200 мл (№ 00159) и на 25 мл (без №) ПАО "Стеклоприбор", соответствующие техническим условиям ТУ У 14307481.016-96, а так же дополнительный стакан-пробирка без мерок для доливания воды в мерный стакан на 200 мл.

В процессе повторного изучения меток на внутренней боковой поверхности старопетровского сосуда было выявлено, что 1-я метка на прорисовке относится к группе меток на дне сосуда, т.к. находится на продолжении линии, вдоль которой располагается большинство меток дна. Однако, примерно на той же высоте, но на продолжении линии, вдоль которой располагается большинство боковых меток, находится еще одна метка, не отмеченная на первоначальной прорисовке. Эта метка и была пронумерована нами в измерениях, как 1-я метка (рис. 4). Также было обнаружено, что 9-я метка прорисовки визуально заметно отличается от остальных меток и фактически является случайной царапиной, поэтому нами в измерениях она не рассматривалась. И, как следствие, измерения объема между 8-й и 9-й метками не производились.

При сопоставлении расположения меток с рисунком на внешней боковой поверхности сосуда было выявлено, что метка 7 располагается примерно на том же уровне, что и нижняя часть обода "колеса", а метка 8 – на уровне центра колеса. Т.е. элементы "колеса" могли выполнять функцию меток на внешней стороне сосуда. Предположив, что верхняя часть обода "колеса" также могла играть роль метки, мы попытались учесть и ее в дальнейших измерениях водой, обозначив, как метку Т.

Рисунок 4. Пос. Старопетровское, разрушенный курган, фотография внутренней поверхности сосуда. На фотографии рядом с метками на боковой поверхности нанесены их номера в измерениях.

Каждое измерение сосуда водой производилось в шести повторях. Воду наливали с помощью мерных стаканов (определяя тем самым объем) до каждой из меток и для меток на внутренней боковой поверхности измеряли высоту уровня воды от дна. Результаты измерений представлены в таблице 3 и 4.

Таблица 3. Результаты измерений объема сосуда водой; $V_{изм 1}, \dots, V_{изм 8}$ – измеренный объем сосуда от дна до каждой из восьми меток, $V_{изм T}$ – измеренный объем сосуда до метки Т, $V_{изм общ}$ – общий измеренный объем сосуда.

номер измерения	$V_{изм 1}$, (мл)	$V_{изм 2}$, (мл)	$V_{изм 3}$, (мл)	$V_{изм 4}$, (мл)	$V_{изм 5}$, (мл)	$V_{изм 6}$, (мл)	$V_{изм 7}$, (мл)	$V_{изм 8}$, (мл)	$V_{изм T}$, (мл)	$V_{изм общ}$, (мл)

1	36.5	140.0	259.5	418.0	539.0	686.5	848.0	999.0	1138.5	1187.5
2	36.0	143.0	256.0	414.6	532.5	684.0	846.0	988.8	1138.3	1180.5
3	37.0	137.5	260.5	410.5	528.2	679.5	842.5	983.0	1137.5	1181.0
4	37.6	137.0	264.9	416.3	525.0	690.5	842.0	988.0	1134.5	1180.0
5	36.4	143.3	257.8	411.5	523.5	686.0	846.5	984.0	1128.5	1186.5
6	37.0	140.0	252.0	414.5	523.0	682.5	842.5	996.0	1133.8	1171.0

Таблица 4. Результаты измерений высоты расположения меток относительно дна; $y_{изм 1}$, ..., $y_{изм 8}$ – измеренная высота каждой из восьми меток.

номер измерения	$y_{изм 1}$, (см)	$y_{изм 2}$, (см)	$y_{изм 3}$, (см)	$y_{изм 4}$, (см)	$y_{изм 5}$, (см)	$y_{изм 6}$, (см)	$y_{изм 7}$, (см)	$y_{изм 8}$, (см)
1	0.8	2.3	3.7	5.1	6.1	6.9	8.2	9.4
2	0.8	2.2	3.7	5.1	6.1	6.9	8.2	9.4
3	0.7	2.3	3.8	5.1	6.0	6.9	8.2	9.4
4	0.8	2.3	3.9	5.1	6.0	6.9	8.2	9.4
5	0.7	2.4	3.8	5.1	6.0	6.9	8.2	9.5
6	0.8	2.4	3.8	5.1	6.1	6.9	8.2	9.5

Затем, полученные объемы и высоты были пересчитаны для каждого слоя по формулам 5 и 6:

$$V_{сл j} = V_{изм j} - V_{изм (j-1)} \quad (5)$$

$$h_{сл j} = y_{изм j} - y_{изм (j-1)}, \quad (6)$$

где $j \in [1; k]$

где j – номер слоя, n – количество слоев ($k=7$), $V_{сл j}$ – измеренный объем слоя j , $V_{изм j}$ – измеренный объем сосуда от дна до метки $m=j+1$, $h_{сл j}$ – измеренная высота слоя j , $y_{изм j}$ – измеренная высота сосуда от дна до метки $m=j+1$.

Результаты такого пересчета представлены в таблице 5 и 6.

Таблица 5. Объем слоев сосуда между метками; $V_{сл 0}$ – объем слоя сосуда от дна до метки 1, $V_{сл 1}, \dots, V_{сл 7}$ – высота слоев между соседними восемью метками, $V_{сл T}$ – объем слоя сосуда от метки 8 до метки T , $V_{сл вен}$ – объем слоя сосуда от метки T до края венчика.

номер измерения	$V_{сл 0}$, (мл)	$V_{сл 1}$, (мл)	$V_{сл 2}$, (мл)	$V_{сл 3}$, (мл)	$V_{сл 4}$, (мл)	$V_{сл 5}$, (мл)	$V_{сл 6}$, (мл)	$V_{сл 7}$, (мл)	$V_{сл T}$, (мл)	$V_{сл вен}$, (мл)
1	36.5	103.5	119.5	158.5	121.0	147.5	161.5	151.0	139.5	49.0
2	36.0	107.0	113.0	158.6	117.9	151.5	162.0	142.8	149.5	42.2
3	37.0	100.5	123.0	150.0	117.7	151.3	163.0	140.5	154.5	43.5
4	37.6	99.4	127.9	151.4	108.7	165.5	151.5	146.0	146.5	45.5
5	36.4	106.9	114.5	153.7	112.0	162.5	160.5	137.5	144.5	58.0
6	37.0	103.0	112.0	162.5	108.5	159.5	160.0	153.5	137.8	37.2

Таблица 6. Высота слоев между метками; $h_{сл 0}$ – высота слоя от дна до метки 1, $h_{сл 1}, \dots, h_{сл 7}$ – высота слоев между соседними метками.

номер измерения	$h_{сл 0}$, (см)	$h_{сл 1}$, (см)	$h_{сл 2}$, (см)	$h_{сл 3}$, (см)	$h_{сл 4}$, (см)	$h_{сл 5}$, (см)	$h_{сл 6}$, (см)	$h_{сл 7}$, (см)
1	0.8	1.5	1.4	1.4	1.0	0.8	1.3	1.2
2	0.8	1.5	1.5	1.4	1.0	0.8	1.3	1.2
3	0.7	1.6	1.6	1.3	0.9	0.9	1.3	1.2
4	0.8	1.5	1.6	1.3	0.9	0.9	1.3	1.2
5	0.7	1.7	1.5	1.3	1.0	0.9	1.3	1.3
6	0.8	1.7	1.4	1.4	1.0	0.9	1.3	1.3

Средняя высота слоя между метками и средний объем слоя между метками рассчитывались для $n=7$ по формуле, аналогичной формуле 3. Среднее квадратичное отклонение от среднего измеренного объема рассчитывалось по формуле 4. Результаты расчетов представлены в таблице 7.

Таблица 7. Средние значения высоты и объема слоев старопетровского сосуда между метками; m – метка, j – номер слоя, $h_{сл j ср}$ – средняя высота слоя j , $V_{сл j ср}$ – средний объем слоя j , $\sigma_{сл j}$ – среднее квадратичное отклонение от среднего объема слоя j .

m	j	$h_{сл j ср}$, (см)	$V_{сл j ср}$, (см ³)	$\sigma_{сл j}$, (см ³)
1	0	0.8	36.8	±0.5
2	1	1.6	103.4	±2.9
3	2	1.5	118.3	±5.7
4	3	1.3	155.8	±4.4
5	4	1.0	114.3	±4.8
6	5	0.9	156.3	±6.6
7	6	1.3	159.8	±3.8
8	7	1.2	145.2	±5.6
T	8	1.2	145.4	±5.7
Край венчика	9	0.6	45.9	±6.5

Для проверки гипотезы о водяных часах нами были рассмотрены слои 1-7 между метками 1 и 8. Слой воды между дном и первой меткой нами не рассматривался, т.к. его объем был значительно меньше объемов между остальными метками. С нашей точки зрения, для начала отсчета времени, сосуд каждый раз должен был заполняться водой до первой метки. Это могло быть целесообразным с точки зрения контроля целостности дна и контроля горизонтального или одного и того же уровня установки сосуда, близкого к горизонтальному. В последнем случае, в качестве вспомогательной, могла быть использована, как раз, та самая метка, которая обозначена первой на прорисовке и расположена, примерно, на той же высоте, что и первая метка измерений.

По результатам измерений общий измеренный объем старопетровского сосуда равен $V_{сл общ} = 1181,1 \text{ см}^3$ (таб. 3). Суммарный измеренный объем слоев сосуда между крайними (1-й и 8-й) метками равен $V_{сл мет} = 953,1 \text{ см}^3$. Для сравнения, суммарный рассчитанный объем сосуда между аналогичными (1-й и 8-й) метками на прорисовке равен $V_{мет} = 968,9 \text{ см}^3$. Т.е.

суммарный рассчитанный объем между этими метками отличается от измеренного менее, чем на 2%, что свидетельствует о хорошем качестве прорисовки профиля сосуда и адекватности выбранной математической модели для расчета его объема. Рассчитанный по формуле, аналогичной формуле 3, средний измеренный объем слоя между соседними метками равен $V_{сл_ср}=136.2 \text{ см}^3$. Рассчитанное по формуле, аналогичной формуле 4, соответствующее среднее квадратичное отклонение равно $\sigma_{сл_ср}=\pm 21.7 \text{ см}^3$. Таким образом, измеренный объем слоя сосуда между двумя соседними боковыми метками оказался равен $136.2\pm 21.7 \text{ см}^3$.

Измеренные объемы всех слоев между боковыми метками соответствуют этому диапазону. Исключение составляет только шестой слой. Однако его объем превышает верхнюю границу указанного диапазона лишь на $1,9 \text{ см}^3$ (1.2%). Такое незначительное отклонение можно отнести к погрешности измерений, но, скорее всего, оно связано с наклонным расположением седьмой метки. Возможно, в измерениях следовало ориентироваться на ее нижний край.

Рассчитанный объем слоя сосуда между двумя соседними боковыми метками, как было указано выше, равен $139.4\pm 25.4 \text{ см}^3$. Его среднее значение лишь незначительно, на 3.2 см^3 или 2.4%, превышает среднее значение измеренного объема слоя между соседними метками. Этот факт подтверждает возможность проведения по прорисовке сосуда расчетов его объема с использованием математической модели, представляющей собой комплекс усеченных круговых конусов, аппроксимирующих туловище сосуда.

Если мы рассмотрим в качестве метки верхнюю часть обода "колеса", то общий объем между крайними метками (первой меткой и меткой Т) будет равен $\approx 1098.4 \text{ см}^3$, а объем слоя между восьмой меткой и меткой Т будет равен $\approx 145.4 \text{ см}^3$. Т.е. он соответствует среднему значению измеренного объема слоя между остальными соседними метками на боковой поверхности. Таким образом, верхнюю часть обода "колеса" вполне могли использовать, как еще одну метку.

Если сопоставить каждый слой между метками с временным промежутком, равным одному часу, то с помощью семи слоев можно было измерить семь часов равной длительности. Если учесть возможность использования верхней части обода "колеса" в качестве еще одной метки, то с помощью такой разметки можно было измерит восемь часов.

Итак, в случае со старопетровским сосудом мы имеем 8 боковых меток, маркирующих семь слоев воды, каждый из которых имеет объем $V_{сл}=136.2\pm 21.7 \text{ см}^3$. С помощью такой разметки можно было измерять каждый час со средней точностью $\Delta t_{сл_ср}=\sigma_{сл_ср}/V_{сл_ср}=\pm 0.16$ часа= ± 9.6 минут.

В процессе исследования без какой-либо интерпретации остались только метки на дне сосуда. Все попытки связать их с процессом измерения объема воды и/или времени не дали положительного результата. Скорее всего, их наличие является следствием технологических особенностей процесса нанесения меток на внутреннюю боковую поверхность сосуда перед обжигом, т.к. инструмент, измеряющий высоту нанесения меток, вполне мог опираться на дно сосуда.

Интерпретация старопетровского сосуда, как водяных часов

Если допустить, что каждому слою старопетровского сосуда соответствует один час длительностью 60 минут или 3600 секунд, то промежутку времени, равному одной секунде, будет соответствовать объем воды $V_{1сек} \approx V_{сл\ ср} / 3600 = 0,04 \text{ см}^3$. Известно, что объем обычной водной капли составляет в среднем¹⁹: 0,03-0,05 см³. Долгое время, вплоть до XIX в., "капля" была наименьшей единицей аптекарской меры²⁰ [20]. Т.е., если с помощью старопетровского сосуда измеряли время, а каждой его метке соответствовал один час, равный 1/24 части солнечных суток, то вода в сосуд должна была поступать со скоростью равной, примерно, одной капле в секунду. Однако, о секунде, как единице измерения времени, достоверно известно только с 1000 года н.э. [21], хотя отсутствие достоверных свидетельств еще не говорит о невозможности существования этой единицы измерения в более ранние эпохи. Существование в более ранние периоды и само происхождение секунды вполне могло быть связано с наблюдением за пульсом взрослого здорового человека в спокойном состоянии, который, как правило, равен 60 ударам в минуту или одному удару в секунду²¹.

Таким образом, равенство объема воды, соответствующего одной секунде (наименьшей единице измерения времени), объему одной водной капли (наименьшей старинной единице измерения объема жидкости), также может рассматриваться, как свидетельство в пользу использования старопетровского сосуда в качестве водяных часов накопительного типа.

В древнем Вавилоне вес воды в водяных часах измерялся в *mina* (*mana*) [22]. Исходя из длительности суток равной 6 *mina* [23-25] и веса одной *mina*, находящегося, примерно, в диапазоне от 460 г до 540 г [26], можно определить, что вес воды для измерения одного часа находился в диапазоне от 115 г до 135 г, а одной секунде соответствовал вес в диапазоне 0.03 г до 0,04 г.

Таким образом, с учетом, что средняя плотность пресной воды $\approx 1 \text{ г/см}^3$ при температурах от +15° до +20° С [27], то объем пресной воды, соответствующий одной *mina*, находится в диапазоне от 460 см³ до 540 см³ (следовательно, в среднем объем одной *mina* равен $\approx 500 \text{ см}^3$), объем воды, необходимый для измерения 1 часа находится в диапазоне от 115 см³ до 135 см³, а для измерения одной секунды – от 0,03 см³ до 0,04 см³. Объем воды для измерения одного часа с помощью старопетровского сосуда превышает верхнюю границу для традиционной *mina*, примерно, на 1.2 см³ (0.9%). Столь малой величиной отличия вполне можно пренебречь, отнеся ее к погрешности измерений.

В старовавилонских астрономических текстах – в табличках BM 17175 + 17284 (опубликованы в приложении к изданию MUL.APIN [28]) - приведена схема определения длительности дня и ночи - дневной и ночной стражи - в зависимости от сезонов года. В дни равноденствия для измерения длительности дня требуется 3 *mina* воды, а ночи - 3 *mina*. В день летнего солнцестояния для дня - 4 *mina*, а ночи - 2 *mina*. В день зимнего солнцестояния для дня - 2 *mina*, а ночи - 4 *mina*. Данный текст послужил прототипом для более поздних текстов в "Астролябиях", в таблице XIV серии EAE и в MUL.APIN. [29].

¹⁹ <http://ru.wikipedia.org/wiki/Капля>

²⁰ [http://en.wikipedia.org/wiki/Minim_\(unit\)](http://en.wikipedia.org/wiki/Minim_(unit))

²¹ <http://www.nlm.nih.gov/medlineplus/ency/article/003399.htm>

Интересным фактом является то, что указанное в табличке ВМ 17175 отношение длительности дня в день летнего солнцестояния к длительности дня в равноденствие и к длительности дня в зимнее солнцестояние – 4:3:2 (аналогично для ночи, но в обратном порядке), наиболее точно соответствует не широтам Месопотамии (примерно, 30° - $38^\circ N$), а широтам между $45^\circ N$ и $50^\circ N$ (таб. 8, 9). В таблице 8 приведены результаты расчетов длительности дня (от восхода до захода Солнца) в минутах для 1500 года до н.э. для долготы равной $44^\circ E$ (выбор долготы принципиального значения не имеет, т.к. длительность дня и ночи зависит только от широты) и для широт в диапазоне от $30^\circ N$ до $50^\circ N$. Расчеты производились нами с помощью астрономической программы RedShift-7 Advanced. В таблице 9 представлены результаты пересчета длительности дня в *mina* для тех же широт.

Чтобы соответствовать соотношению, указанному в табличке ВМ 17175, при длительности дня в равноденствие равной 725 минут, длительность дня в летнее солнцестояние должна быть равна 967 минут, а в зимнее солнцестояние 483 минуты. Таким образом, длительность дня в летнее солнцестояние меньше, чем указано в табличке ВМ 17175, для $30^\circ N$ примерно на 2 часа, для $35^\circ N$ на 1.6 часа, для $40^\circ N$ на 1.1 часа, для $45^\circ N$ на 0.5 часа, а для $50^\circ N$ - больше на 0.3 часа. Длительность дня в зимнее солнцестояние больше, чем указано в табличке ВМ 17175, для $30^\circ N$ примерно на 2 часа, для $35^\circ N$ на 1.7 часа, для $40^\circ N$ на 1.2 часа, для $45^\circ N$ на 0.6 часа, а для $50^\circ N$ - меньше на 0.1 часа. Соотношения длительности дня и, соответственно, ночи будут точно такими же, как указано в табличке, в диапазоне от $47^\circ 55' N$ до $49^\circ 25' N$ с точностью $5'$.

Таблица 8. Длительность дня в минутах на разных широтах, рассчитанная для 1500 года до н.э.; $t_{\text{днев}}$ – длительность дневного времени в минутах.

	$t_{\text{днев}}$, (минута)					
	$30^\circ N$	$35^\circ N$	$40^\circ N$	$45^\circ N$	$48^\circ N$	$50^\circ N$
<i>летнее солнцестояние</i>	845	871	901	939	965	983
<i>равноденствие</i>	725	725	725	725	725	725
<i>зимнее солнцестояние</i>	608	582	553	518	493	475

Таблица 9. Длительность дня в *mina* на разных широтах, рассчитанная для 1500 года до н.э.; $t_{\text{мина}}$ – длительность дневного времени в *mina*.

	$t_{\text{днев}}$, (<i>mina</i>)					
	$30^\circ N$	$35^\circ N$	$40^\circ N$	$45^\circ N$	$48^\circ N$	$50^\circ N$
<i>летнее солнцестояние</i>	3.5	3.6	3.7	3.9	4.0	4.1
<i>равноденствие</i>	3.0	3.0	3.0	3.0	3.0	3.0
<i>зимнее солнцестояние</i>	2.5	2.4	2.3	2.1	2.0	2.0

Старопетровский сосуд имеет объем между крайними метками (с учетом метки T) $\approx 1098.4 \text{ см}^3 = 2.03 \text{ mina} \approx 2 \text{ mina}$ (где $1 \text{ mina} = 540 \text{ см}^3$). Таким образом, с помощью девяти меток (восемь на внутренней боковой поверхности и метка T на внешней) старопетровского сосуда можно было измерить восемь часов равной длительности аналогично вавилонским часам, при наполнении сосуда водой с той же скоростью, как и в

вавилонских водяных часах, – одна капля в секунду. Примерно восемь часов длится день в зимнее солнцестояние (ночь в летнее солнцестояние) на широте обнаружения старопетровского сосуда. Для измерения этого промежутка времени сосуд должен был наполниться один раз. В день летнего солнцестояния, или в ночь зимнего солнцестояния, старопетровский сосуд должен был наполниться дважды.

А на протяжении целых суток - трижды. Т.е. с помощью старопетровского сосуда было легко производить измерения длительности дня и ночи в дни летнего и зимнего солнцестояний по правилу, указанному в табличке BM 17175. А, если учесть, что широта обнаружения старопетровского сосуда равна $48^{\circ}13' N$ и попадает в диапазон широт, оптимально соответствующих правилу из этой таблички, то можно предположить, что, как минимум, опосредованные контакты между срубным населением Северного Причерноморья (Северо-Восточного Приазовья) и населением Древней Месопотамии в эпоху поздней бронзы все-таки существовали.

Т.к., древних водяных часов из Месопотамии до сих пор обнаружено не было, и неизвестно, как они точно выглядели, то, можно предположить, что они могли быть похожи на старопетровский сосуд. Внешне он представляет собой обычный лепной сосуд с малозаметными ногтевыми вдавлениями на внутренней боковой поверхности. Долгое время никто из исследователей не предполагал, что сосуд мог использоваться, как водяные часы. Аналогия между месопотамскими водяными часами и старопетровским сосудом может в дальнейшем помочь исследователям в поисках, как фрагментов, так и целых экземпляров, древних месопотамских водяных часов.

Известные древнеегипетские водяные часы – карнакская клепсида - значительно превышали объем старопетровского сосуда (рис. 2). Так, рабочий объем карнакской клепсиды приблизительно равен 22 л. Считается, что она была предназначена для измерения 12 часов со скоростью 10 капель в секунду, при объеме капли 0.05 см^3 [30, 31].

Т.е. для измерения одного часа требовалось, примерно, 1.8 л, что более чем в три раза превышает объем, необходимый для аналогичного измерения и в месопотамских водяных часах, и в старопетровском сосуде. А, скорость наполнения такой клепсиды должна почти в десять раз превышать скорость наполнения месопотамских водяных часов.

Однако, известно, что в Древнем Египте существовала единица объема *hinu* или *hin* (банка), равная 480 см^3 [32].

Вес пресной воды такого объема приблизительно равен по весу одной месопотамской *mina*. Возможно, *hinu* и *mina* имеют общее происхождение, и *hinu* использовалась в водяных часах аналогично *mina* в более простых вариантах водяных часов, чем карнакская клепсида. Так, в написании египетского названия единицы объема *hinu* (рис. 5a) и в написании часа (рис. 5b), в отличие от написания других единиц объема и времени, присутствует иероглиф, интерпретируемый, как сосуд Ноу (рис. 5c).

Рисунок 5. Египетские надписи, содержащие иероглиф сосуда Ноу: *a* – единица объема *hinu*²², *b* – час²³, *c* – сосуд (банка/ваза) Ноу²⁴.

²² http://en.wikipedia.org/wiki/Ancient_Egyptian_units_of_measurement#cite_note-CR-2

²³ http://en.wikipedia.org/wiki/Ancient_Egyptian_units_of_measurement#cite_note-CR-2

Известен также отрывок текста на поверхности фрагмента линейки или L-образных солнечных часов: "Час в локоть"²⁵. Банка из меди, заполнена водой ..." [33]. Банку из меди в этом фрагменте исследователи интерпретируют, как водяные часы [34]. Возможно, что медная банка из надписи на линейке и сосуд, обозначаемый иероглифом "сосуд Ноу", – являются родственными типами сосудов, представляющими собой водяные часы накопительного типа, аналогом которых может являться старопетровский сосуд.

Водяные часы в виде банки, похожей на сосуд Ноу, возможно использовались в Древнем Египте на ранних этапах развития технологии измерения времени и применялись в дальнейшем для бытовых измерений, т.к. были просты в изготовлении и не требовали дорогостоящих материалов для своего изготовления. Если это действительно так, и сосуды Ноу, применяемые в качестве водяных часов, могли внешне выглядеть, как обычные лепные горшки, правда, с метками внутри, то теперь, зная их основные внешние признаки, можно было бы целенаправленно попытаться их обнаружить среди уже найденных древнеегипетских керамических сосудов и их фрагментов.

Анализ рисунков на внешней поверхности сосуда. Интерпретация рисунка колеса.

Под венчиком старопетровского сосуда участок наружной поверхности покрыт прочерченными знаками (рис. 6)²⁶. Знаки образуют две группы шириной 8.2 см и 3 см. Длинная группа представляет собой небрежно прочерченный небольшой неровный зигзаг. Слева от него находится грубо прочерченный крест, напоминающий четырехлучевую звезду, справа – круглая композиция, напоминающая колесо со спицами.

Рисунок 6. Пос. Старопетровское, разрушенный курган, сосуд с метками на внутренней поверхности: *a* – фотография композиции на внешней стороне сосуда, *b* – прорисовка композиции (фотография А.Н. Усачука, 2014 г.; прорисовка В.Б. Панковского и А.Н. Усачука, 1993 г.).

После полукруга прочерчены три неровные наклонные линии, затем прочерчена короткая горизонтальная линия и сделаны три вдавления. В 1.8 см справа от первой (длинной) группы расположена вторая группа, представляющая собой тонкий зигзаг.

Срез венчика украшен отпечатками ногтя, причем частота вдавлений на участке венчика, под которым находятся обе группы знаков больше, чем, на остальных участках.

На внутренней поверхности сосуда, напротив креста первой группы знаков, проходит вертикальная линия отпечатков ногтя, заходящая на дно.

Знаки на внешней стороне старопетровского сосуда уже привлекали внимание специалистов [35, 36]. Е.Ю. Захарова считает, что композицию на сосуде "уместно ... обозначить термином письма" [37]. Интересно наблюдение исследовательницы, что подобные "надписи" на всех сосудах срубной культуры выполнены прочерчиванием

²⁴ <http://hieroglyphes.pagesperso-orange.fr/Index%20W-b.html#W10> ;

http://en.wikipedia.org/wiki/List_of_portraiture_offerings_with_Ancient_Egyptian_hieroglyphs

²⁵ локоть (cubit) – единица длины

²⁶ В 1993 г. А.Н. Усачуком было сделано детальное описание следов изготовления сосуда из Старопетровского и описана последовательность нанесения композиции. Все это вошло в публикацию [Клименко и др., 1994, с. 102, 107-108]. Здесь приводится обширная цитата из: [Клименко и др., 1994, с. 107-108] с некоторыми добавлениями, сделанными при работе с сосудом для этой статьи.

острым предметом до обжига. Добавим, что Е.Ю. Захарова привела очень близкую аналогию второй (короткой) строке старопетровской композиции, выявленную ею на сосуде срубной культуры с территории Донбасса из коллекции Н.Е. Бранденбурга [38].

Знаки на внешней стороне старопетровского сосуда уже привлекали внимание специалистов [35, 36]. Е.Ю. Захарова считает, что композицию на сосуде "уместно ... обозначить термином письмена" [37]. Интересно наблюдение исследовательницы, что подобные "надписи" на всех сосудах срубной культуры выполнены прочерчиванием острым предметом до обжига. Добавим, что Е.Ю. Захарова привела очень близкую аналогию второй (короткой) строке старопетровской композиции, выявленную ею на сосуде срубной культуры с территории Донбасса из коллекции Н.Е. Бранденбурга [38].

Однако, никто из исследователей не рассматривал знаки на внешней и внутренней сторонах старопетровского сосуда как единую смысловую композицию.

Наличие своеобразной композиции и возможные аналогии (сосуд из коллекции Н.Е. Бранденбурга), позволяют считать, что реальное использование старопетровского сосуда могло быть более сложным, чем бытовое.

Центральным элементом всей композиции на внешней поверхности старопетровского сосуда является рисунок "колеса". Т.к. круговые элементы в орнаментах часто трактуют, как солярные, мы предположили, что и "колесо" композиции могло быть связано по смыслу с Солнцем. В связи с этим предположением мы попытались сопоставить со "спицами колеса" азимуты восходов и заходов Солнца.

Азимуты восходов и заходов Солнца в дни равноденствий и солнцестояний были рассчитаны по формулам [39].

$$\cos A_r = \frac{\sin \delta - \sin \varphi \cdot \sin h}{\cos \varphi \cdot \cos h}, \quad (7)$$

$$A_s = 360^\circ - A_r, \quad (8)$$

где A_r - азимут восхода светила, отсчитываемый от севера к востоку (геодезический), A_s - азимут захода светила, δ - склонение светила, h - высота светила над горизонтом, φ - географическая широта. Высота светила в момент восхода (захода) рассчитывалась на верхний край диска:

$$h = -R - \rho + p, \quad (9)$$

где R - угловой радиус светила, ρ - рефракция на горизонте, p - горизонтальный параллакс светила [40]. Для Солнца, как и для Луны принимаем $R=16'$, $\rho=35'$, $p=8.8''$ [41].

В дни летнего солнцестояния склонение Солнца равно углу наклона эклиптики к небесному экватору ε , который рассчитывается с помощью формул [42]:

$$\varepsilon = 23.43929111^\circ - 46.8150'' \cdot T - 0.00059'' \cdot T^2 + 0.001813 \cdot T^3, \quad (11)$$

$$T \approx \frac{(y - 2000)}{100}, \quad (12)$$

где T - число юлианских столетий, отделяющих эпоху от полудня 1 января 2000 года, y - год нужной эпохи. В дни зимнего солнцестояния склонение Солнца $\delta = -\varepsilon$, а в дни равноденствий $\delta = 0$.

Рассчитанный нами по формуле 11 угол наклона эклиптики к небесному экватору для 1400 г. до н.э. $\varepsilon = 23^{\circ}51'41''$. Результаты наших расчетов азимутов восхода и захода Солнца по формуле 7 для астрономически значимых событий представлены в таблице 10.

Таблица 10. Азимуты Солнца в моменты его восхода/захода в дни равноденствий и солнцестояний, рассчитанные на верхний край видимого диска Солнца; h - высота Солнца, δ - склонение Солнца, A_r - азимут восхода Солнца, A_s - азимут захода Солнца, A_r+180 - направление тени при восходе Солнца, A_s-180 - направление тени при заходе Солнца.

явление	$h, (^{\circ})$	$\delta, (^{\circ})$	$A_r, (^{\circ})$	$A_s, (^{\circ})$	$A_r+180, (^{\circ})$	$A_s-180, (^{\circ})$
Летнее солнцестояние	-0.85	23.86	51.41	308.59	231.41	128.59
Равноденствие	-0.85	0.00	89.05	270.95	269.05	90.95
Зимнее солнцестояние	-0.85	-23.86	126.20	233.80	306.20	53.80

В центре "колеса" имеется углубление, в которое можно воткнуть тонкий стержень, например, соломинку в качестве гномона, который отбрасывал бы тень при освещении Солнцем (рис. 7).

Рисунок 7. Пос. Старопетровское, разрушенный курган, сосуд с метками на внутренней поверхности, моделирование гномона в центре "колеса": **a** - вид сосуда целиком, **b** - фрагмент сосуда с "колесом".

В рамках одной из наших гипотез, если повернуть стоящий сосуд под углом 90° "колесом" вверх, то нижняя (для стоящего сосуда) "спица" будет соответствовать тени, отбрасываемой такой соломинкой в полдень, и, соответственно, указывать направление на Север. При этом направление первой спицы, если считать по часовой стрелке от нижней "спицы", будет примерно совпадать с направлением тени, которую отбрасывает соломинка при заходе Солнца в день зимнего солнцестояния. Направление второй спицы будет совпадать с направлением тени при заходе Солнца в день равноденствия, а третьей спицы - при заходе Солнца в день летнего солнцестояния (рис. 8). Совпадение направлений рассматривалось нами, как приблизительное, т.к. поверхность сосуда в области "колеса" искривлена, что не позволяет вычислить точность такого совпадения.

Рисунок 8. Пос. Старопетровское, разрушенный курган, сосуд с метками на внутренней поверхности, "колесо" из композиции с нанесенными азимутами направления тени, соответствующими заходу Солнца в дни равноденствия, летнего и зимнего солнцестояния: **a** - фотография, **b** - прорисовка. N - направление на истинный север.

Нижняя "спица" "колеса", указывающая на Север, отклонена от вертикальной оси симметрии сосуда на угол приблизительно равный 15° (рис. 9). Это величина соответствует углу, на который перемещается Солнце по эклиптике за один час (360° за 24 часа) и может быть использована для приблизительного определения длительности дня.

Рисунок 9. Пос. Старопетровское, разрушенный курган, сосуд с метками на внутренней поверхности, отклонение сосуда (вертикальной оси симметрии сосуда) от направления на Север "колеса". Ось симметрии нанесена черной линией. *N* – направление на истинный север.

Анализ и интерпретация рисунка "зигзаг"

С учетом того, что центральный элемент композиции, скорее всего, являлся рисунком, связанным с конкретными астрономическими явлениями – заходом Солнца в дни равноденствий и солнцестояний, то мы предположили, что и другие элементы композиции могли также иметь астрономический смысл.

Первоначально, предположение об использовании старопетровского сосуда, как водяных часов, возникло у нас в связи с необходимостью отсчитывать контрольные промежутки времени длительностью в один час при разметке аналемматических солнечных часов [43]. Однако, солнечные часы всегда показывают местное истинное солнечное время, а водяные – среднее солнечное время. Продолжительность истинных солнечных суток величина непостоянная, поэтому показания солнечных и водяных часов совпадают не всегда.

С точки зрения современной астрономии, истинные солнечные сутки – это промежуток времени между двумя последовательными верхними или нижними кульминациями²⁷ Солнца на одном и том же географическом меридиане [44]. Неравномерность суточного движения Солнца обусловлена эллиптичностью орбиты Земли вокруг Солнца и наклоном земной оси к плоскости эклиптики. Продолжительностью средних солнечных суток является среднее значение продолжительности истинных солнечных суток за год. Разность между истинным солнечным временем и средним временем в один и тот же момент называется уравнением времени²⁸:

$$\eta = T_s - T_m , \quad (13)$$

где η – уравнение времени, T_s – истинное солнечное время, T_m – среднее солнечное время.

Мы вычислили значение уравнения времени для 1400 года до н.э. (см. Приложение) и построили его график (рис. 10). Начало координат соответствует дате начала года²⁹.

²⁷ Явление пересечения светилом небесного меридиана - большого круга небесной сферы, плоскость которого проходит через отвесную линию и ось мира, называется кульминацией светила.

²⁸ Иногда используется инвертированное уравнение времени, равное разности между средним временем и истинным солнечным временем.

²⁹ Об определении даты начала года см. ниже.

Вычисления проводились с помощью астрономической компьютерной программы HORIZONS System³⁰.

Рисунок 10. График уравнения времени: η – уравнение времени. По оси ординат – значение уравнения времени в минутах, по оси абсцисс – количество дней от начала года.

"Зигзаг" из композиции напоминает своей формой график уравнения времени (рис. 11). При этом горизонтальной оси соответствует нулевое отклонение от среднего солнечного времени. Три точечных вдавления под "зигзагом" расположены так, что каждое вдавление можно соотнести с одним из экстремумов (пиков) на графике.

Крайние вдавления располагаются ниже центрального и соответствуют пикам "зигзага", когда показания водяных часов будут отставать от показаний солнечных часов, т.е. уровень воды в водяных часах будет ниже, чем в тоже время по солнечным часам, но в другие дни. Центральное вдавление располагается, соответственно, выше центрального и соответствует пику, когда показания водяных часов будут опережать показания солнечных часов, т.е. уровень воды в водяных часах будет выше, чем в тоже время по солнечным часам в другие дни. Т.е. эти вдавления могли показывать пики инвертированного графика уравнения времени и играть роль небольшой подсказки для правильного использования водяных часов.

В Вавилоне во II веке до н.э. уже знали об отклонении истинного солнечного времени от среднего солнечного. Тогда же существовали достаточно хорошо и подробно разработанные теории, описывающие неравномерное видимое движение Солнца [45, 46]. Птолемей - позднеэллинистический астроном из Александрии (Египет) - в своем фундаментальном труде "Альмагест" (Книга III, часть 9) также рассматривал вопрос о неравномерности движения Солнца [47].

Однако, все эти теории не могли появиться внезапно. Для их формирования требовались годы систематических наблюдений за движением Солнца. Мы считаем, что фрагмент композиции "зигзаг" на старопетровском сосуде, как раз, и является одним из таких свидетельств наблюдения в более ранние эпохи неравномерности годового движения Солнца.

Рисунок 11. Пос. Старопетровское, разрушенный курган, сосуд с метками на внутренней поверхности: *a* – фотография композиции "зигзаг"; *b* – схематичная прорисовка "зигзага", *c* – совмещение прорисовки "зигзага" и графика уравнения времени.

Анализ и интерпретация рисунка "звезда".

Рядом с "зигзагом" в композиции на поверхности старопетровского сосуда прочерчена четырехлучевая "звезда" (рис. 12).

Рисунок 12. Пос. Старопетровское, разрушенный курган, сосуд с метками на внутренней поверхности: *a* – фотография композиции "звезда"; *b* – схематичная прорисовка "звезды".

³⁰ <http://ssd.jpl.nasa.gov/?horizons>

Известно, что в вавилонских "астролябиях" (XII век до н.э.) с календарными месяцами соотносились гелиакические восходы различных звезд [48]. В Древнем Египте с III тысячелетия до н.э. начало года отсчитывалось от гелиакического восхода³¹ звезды Сириус, который первоначально совпадал с летним солнцестоянием и разливом Нила [49]. Сириус виден практически на любой широте, вплоть до 73° N, и является самой яркой звездой всего ночного неба³², имея звездную величину -1.46^m [50].

Т.к. Сириус превосходно видно на широте обнаружения старопетровского сосуда, то мы предположили, что четырехлучевая звезда в композиции символизировала его гелиакический восход. При сравнении графика уравнения времени, построенного для дат начала года, соответствующих солнцестояниям, равноденствиям и гелиакическому восходу Сириуса, было обнаружено, что больше всего по своей форме на "зигзаг" похож график, где начало года совпадает с гелиакическим восходом Сириуса на широте пос. Старопетровское (рис. 13).

Явление гелиакического восхода Сириуса характеризуется высотой³³ Сириуса, примерно, от +2° до +3° , и высотой Солнца от -8° до -6° [51]. Древнеегипетский календарь, начало года в котором соответствовало дате гелиакического восхода Сириуса, впервые был введен в 2767 году до н.э. в Мемфисе [52], [53]. В этот год гелиакический восход Сириуса совпал с летним солнцестоянием. В астрономической программе RedShift-7 Advanced дата летнего солнцестояния для этого года приходится на 16.07. С помощью этой же программы мы рассчитали, что в этот день высота Сириуса достигала +3°, при высоте Солнца ≈-6°. Опираясь на эти значения, мы определили, что на широте обнаружения старопетровского сосуда гелиакический восход Сириуса в 1400 году до н.э. приходился на 9.08 – 34-й день после летнего солнцестояния (примерно соответствует 25.07 для 2000-х годов н.э. – см. Приложение/Application).

Для географических координат Мемфиса (29°50'40" N, 31°15'03" E) рассчитанная нами дата гелиакического восхода Сириуса, примерно, 17.07.1400 г. до н.э. – 11-й день после летнего солнцестояния (примерно соответствует 02.07 для 2000-х годов н.э.) (рис. 13f). С помощью расчетов на программе RedShift Advanced мы определили, что гелиакический восход Сириуса приходился на тот же день после летнего солнцестояния, примерно, в диапазоне ±100 лет.

Рисунок 13. График уравнения времени для начала года, соответствующего дате: *a* – весеннего равноденствия, *b* – летнего солнцестояния, *c* – осеннего равноденствия, *d* – зимнего солнцестояния, *e* – гелиакического восхода Сириуса на широте пос. Старопетровское, *f* - гелиакического восхода Сириуса на широте Мемфиса.

Графики уравнения времени для гелиакического восхода Сириуса в Мемфисе (рис. 13e) и для широты пос. Старопетровское (рис. 13f) очень похожи. Однако, значение уравнения времени в конце года принимает отрицательное значение - линия графика пересекает горизонтальную ось аналогично "зигзагу" в композиции старопетровского сосуда не для

³¹ первое в году появление звезды перед восходом Солнца

³² https://ru.wikipedia.org/wiki/Список_самых_ярких_звезд

³³ Высотой *h* светила называется дуга вертикала светила от плоскости математического горизонта до направления на светило. Высота отсчитываются в пределах от 0° до +90°.

Мемфиса, а лишь для пос. Старопетровское. Таким образом, если "зигзаг" действительно является схематичным изображением графика уравнения времени, то изображением графика, построенного именно для широты близкой к широте пос. Старопетровское, а не для более южных широт.

Таким образом, визуальное сходство графика уравнения времени для начала года, соответствующего дате гелиакического восхода Сириуса на широте пос. Старопетровское, элементу "зигзаг" композиции на старопетровском сосуде свидетельствует не только в пользу астрономической интерпретации композиции в целом, но и позволяет предположить наличие у срубного населения календарной системы, близкой к древнеегипетской, с началом года, отсчитываемым от даты гелиакического восхода Сириуса.

Анализ и интерпретация трех линий рядом с рисунком "колеса"

Еще один элемент в композиции, который с нашей точки зрения, может быть связан с календарным исчислением времени – три тонкие линии слева внизу от "колеса" (рис. 14).

Рисунок 14. Пос. Старопетровское, разрушенный курган, сосуд с метками на внутренней поверхности: *a* - фотография композиции "колесо"; *b* – схематичная прорисовка "колеса".

"Колесо" в композиции на старопетровском сосуде семантически и функционально связано с Солнцем и может символизировать солнечный год³⁴ - отрезок времени, за который Солнце завершает один цикл смены времён года, например, от одного дня летнего солнцестояния до другого. В тропическом году содержится примерно 365.24 суток. Промежуток между двумя гелиакическими восходами Сириуса составляет примерно 365.25 суток. Эти величины близки и, возможно, первоначально, длительность года в 365 суток была определена египтянами именно благодаря наблюдениям за гелиакическими восходами Сириуса. Количество целых дней между его гелиакическими восходами составляет 365 суток, но только на протяжении 3-х лет. На четвертый год между его гелиакическими восходами будет 366 суток, затем все будет повторяться. Видимо поэтому за длину своего года египтянами было принято 365 дней.

За каждые 4 года сезонные явления опережали календарь на 1 сутки и возникала необходимость во введении високосного года, который был официально введен в Египте только в III веке до н.э. Т.к. при систематических наблюдениях за гелиакальными восходами звезд было легко заметить закономерность, связанную с повторением на протяжении трех лет промежутка в 365 дней, то мы считаем, что три черты рядом с "колесом" композиции на старопетровском сосуде могут обозначать именно эти три повторяющихся года, когда солнечное годовое "колесо", как бы "вращается на одном месте".

Анализ и интерпретация рисунка "тонкий зигзаг".

Вторая группа знаков, расположенная правее "колеса" и представляющая собой еще один "зигзаг", нанесена более тонкими линиями, - "тонкий зигзаг" (рис. 15).

³⁴ Такой солнечный год в современной астрономии называется тропическим.

Рисунок 15. Пос. Старопетровское, разрушенный курган, сосуд с метками на внутренней поверхности, композиция "тонкий зигзаг": *a* – фотография композиции; *b* – чертеж со схематичной прорисовкой "тонкого зигзага".

Вторая группа знаков – "тонкий зигзаг" - состоит из трех пиков и, на наш взгляд, могла бы символизировать изменения максимальной высоты Солнца в верхней кульминации (в полдень) и изменения углового расстояния между азимутами восхода и захода Солнца в дни зимнего солнцестояния (пик с вершиной A_1), равноденствия (пик с вершиной B_1) и летнего солнцестояния (пик с вершиной C_1). Высота Солнца в момент верхней кульминации и время восхода и захода Солнца для дней солнцестояний и равноденствий представлены на рисунке 16.

Рисунок 16. Графики изменения высоты Солнца в зависимости от времени суток в дни зимнего солнцестояния (нижний график), равноденствия (средний график) и летнего солнцестояния (верхний график).

Величина длительности дня от восхода до захода Солнца в дни летнего солнцестояния D_{ss} относится к длительности в равноденствия D_{eq} и длительности в зимнее солнцестояние D_{ws} , для широты обнаружения старопетровского сосуда, как $D_{ss}:D_{eq}:D_{ws}=4:3:2=2:1.5:1$ (см. таб. 9).

Чтобы легче было анализировать высоту пиков, мы развернули на чертеже изображение "тонкого зигзага" так, чтобы вершины A_1 , B_1 , C_1 расположились на одной линии (рис. 15 b), и измерили высоту этих пиков. Высота пика C_1 рассматривалась нами, как проекция отрезка $[C_1C_2]$ на вертикальную ось, $c \approx 1.5$ см. При этом хорошо заметно, что отрезки $[D_1D_2]$ и $[E_1E_2]$ имеют примерно такую же длину и наклон, как отрезок $[C_1C_2]$. Очень похоже, что отрезки $[D_1D_2]$ и $[E_1E_2]$ являлись эталонами длины при нанесении "тонкого зигзага" и выполняли функцию образцов, отталкиваясь от которых и были нанесены остальные линии.

Высота пика B_1 рассматривалась нами, как проекция отрезка $[B_1B_2]$ на вертикальную ось, $b \approx 2.2$ см. Сильная изогнутость линии отрезка $[B_1B_2]$, скорее всего, является случайным дефектом. Точки B_2 и E_3 находятся, примерно, на одном уровне, поэтому, возможно, отрезок $[E_2E_3]$ выполнял вспомогательную роль для определения местоположения точки B_2 .

Высота пика A_1 рассматривалась нами, как проекция отрезка $[A_1A_2]$ на вертикальную ось. Однако, имея в виду, что нанесение линии $[A_1A_2]$, скорее всего, как и остальных линий, опиралось на образцы $[D_1D_2]$ и $[E_1E_2]$, а также то, что отрезок $[A_1A_2]$ заканчивается дефектом поверхности, мы расположили точку A_2 в зоне дефекта на том же уровне, что и точку E_2 на эталонном отрезке $[E_1E_2]$. Высота пика A_1 при этом, равна $a \approx 2.9$ см.

Отношение высоты пиков $a:b:c \approx 2.9:2.2:1.5 = 1.9:1.5:1$ очень близко к отношению длительности дня для солнцестояний и равноденствий $D_{ss}:D_{eq}:D_{ws}=4:3:2=2:1.5:1$, что подтверждает нашу гипотезу о том, что "тонкий зигзаг" символизирует изменение длительности дня на протяжении года.

Анализ и интерпретация меток венчика, как солнечных часов

На венчик старопетровского сосуда нанесены метки (рис. 17). Мы предположили, что они также могут иметь астрономический смысл.

Рисунок 17. Пос. Старопетровское, разрушенный курган, фотография сосуда с метками на внутренней поверхности: *a* – вид сбоку; *b* – вид сверху.

Мы попытались сопоставить их с часовыми углами солнечных часов. Наиболее интересные результаты были получены нами для горизонтальных солнечных часов с наклонным, гномоном. Место крепления наклонного гномона было определено нами эмпирически с помощью компьютерного эксперимента, проведенного на базе графического редактора Adobe Photoshop CS5. В рамках эксперимента графический слой, с нанесенными рассчитанными часовыми линиями, был сопоставлен со слоем, содержащим фотографию и прорисовку меток венчика сосуда. Фотография была сделана с расстояния в четыре раза превышающего диаметр венчика. Объектив фотоапарата был направлен вертикально вниз – перпендикулярно плоскости венчика. Это позволило избавиться от искажений, возникающих при фотографировании с близкого расстояния.

Для поиска возможного места крепления и ориентировки наклонного гномона нами был применен метод морфологического анализа Цвикки, основанный на подборе всех возможных решений для отдельных частей задачи (так называемых морфологических признаков, характеризующих устройство) и последующем систематизированном получении их сочетаний (комбинировании) [54]. В качестве устройства мы рассматривали старопетровский сосуд, как горизонтальные солнечные часы с наклонным гномоном. В качестве отдельных частей рассматривались: комплекс меток венчика в качестве часовых меток и наклонный гномон (место крепление и ориентировка). В соответствии с методом морфологического анализа, нами был проведен полный перебор всех вариантов возможных положений места крепления гномона и его ориентировки относительно сторон света.

Слой с часовыми линиями перемещался нами в графическом редакторе по вертикали и по горизонтали (по высоте и ширине рисунка), с шагом 1 мм, и поворачивался относительно центра часовых линий с шагом 1°. Оптимальный вариант с максимальным количеством совпадений меток венчика и часовых линий первоначально был определен нами визуально, а затем проанализирован с помощью статистических методов (см. ниже).

Выявленное нами наиболее вероятное место крепления характеризуется отношением расстояния от гномона до ближайшего края венчика к расстоянию от гномона до максимально удаленного края венчика, как 1:4. При этом, часть венчика с часто расположенными маленькими метками оказалась ориентирована на Юг, а с редкими и крупными метками – на Север (рис. 18).

Рисунок 18. Пос. Старопетровское, разрушенный курган, реконструкция горизонтальных солнечных часов с наклонным гномоном, выполненная на основе фотографии сосуда. В верхней части сосуда – деревянный диск с нанесенными точными

часовыми метками, укрепленным гномоном и отверстием для поступления воды в сосуд. N – направление на истинный Север, φ – широта пос. Старопетровское.

Расчет часовых углов для горизонтальных солнечных часов с наклонным гномоном проводился нами по формулам [55, 56]:

$$H_t' = \text{arctg}(\sin \varphi \cdot \text{tg}(H_t))$$

или

$$H_t' = \text{arctg}(\sin \varphi \cdot \text{tg}(15 \cdot (t - 12))), \text{ for } t \in [6; 18] \quad (14)$$

$$H_t' = \text{arctg}(\sin \varphi \cdot \text{tg}(15 \cdot (t - 12))) - 180, \text{ for } t \in [0; 6[\quad (15)$$

$$H_t' = \text{arctg}(\sin \varphi \cdot \text{tg}(15 \cdot (t - 12))) + 180, \text{ for } t \in]18; 24] \quad (16)$$

где $H_t = 15^\circ \cdot (t - 12)$ – часовой угол Солнца (для полдня $H_{12} = 0^\circ$), t - время, H_t' - угол между полуденной линией и часовой линией на часах (рис. 19), φ – широта местности. Результаты наших расчетов по формулам 14-16 для широты пос. Старопетровское $Lat = 48^\circ 13' N$ представлены в таблице 11.

Таблица 11. Рассчитанные часовые линии горизонтальных солнечных часов (от 6 утра до полудня). H_t – часовой угол Солнца, H_t' - рассчитанный угол между полуденной линией и часовой линией, t - время.

t, (час)	0	0.5	1	1.5	2	2.5	3	3.5	4	4.5	5	5.5
H_b , ($^\circ$)	-180.0	-172.5	-165.0	-157.5	-150.0	-142.5	-135.0	-127.5	-120.0	-112.5	-105.0	-97.5
H_t' , ($^\circ$)	-180.0	-174.4	-168.7	-162.8	-156.7	-150.2	-143.3	-135.8	-127.7	-119.1	-109.8	-100.0
t, (час)	6.0	6.5	7.0	7.5	8.0	8.5	9.0	9.5	10.0	10.5	11.0	11.5
H_b , ($^\circ$)	-90.0	-82.5	-75.0	-67.5	-60.0	-52.5	-45.0	-37.5	-30.0	-22.5	-15.0	-7.5
H_t' , ($^\circ$)	-90.0	-80.0	-70.2	-60.9	-52.3	-44.2	-36.7	-29.8	-23.3	-17.2	-11.3	-5.6
t, (час)	12.0	12.5	13.0	13.5	14.0	14.5	15.0	15.5	16.0	16.5	17.0	17.5
H_b , ($^\circ$)	0.0	7.5	15.0	22.5	30.0	37.5	45.0	52.5	60.0	67.5	75.0	82.5
H_t' , ($^\circ$)	0.0	5.6	11.3	17.2	23.3	29.8	36.7	44.2	52.3	60.9	70.2	80.0
t, (час)	18.0	18.5	19.0	19.5	20.0	20.5	21.0	21.5	22.0	22.5	23.0	23.5
H_b , ($^\circ$)	90.0	97.5	105.0	112.5	120.0	127.5	135.0	142.5	150.0	157.5	165.0	172.5
H_t' , ($^\circ$)	90.0	100.0	109.8	119.1	127.7	135.8	143.3	150.2	156.7	162.8	168.7	174.4

Рисунок 19. Координатная плоскость с часовыми линиями горизонтальных солнечных часов с наклонным гномоном: H'_t - угол между полуденной линией и заданной часовой линией. $H'_{12}=0^\circ$, $H'_6=-90^\circ$, $H'_{18}=90^\circ$. Пунктиром обозначены часовые линии нерабочего диапазона солнечных часов от 21 часа ночи до 3-х часов утра по местному истинному солнечному времени. N – истинный Север.

Оптимальный результат совмещения рассчитанных часовых углов с метками на венчике старопетровского сосуда представлен на рисунке 20. Количество меток на венчике сосуда превышает количество рассчитанных часовых линий, однако, сразу заметно совпадение часовых линий с метками в диапазоне от восьми до 13-ти часов (через каждые полчаса).

Рисунок 20. Пос. Старопетровское, разрушенный курган, сосуд с метками на внутренней поверхности: **a** – фотография венчика с метками; **b** – прорисовка венчика с метками. Синими линиями обозначены часовые линии горизонтальных солнечных часов с наклонным гномоном. Цифрами нанесены часы, соответствующие часовым линиям. Серым цветом отмечены метки, располагающиеся в непосредственной близости от часовых линий. N – истинный Север.

Для проверки нашей гипотезы о выполнении метками венчика старопетровского сосуда функции часовых меток солнечных часов, все метки венчика были пронумерованы и для каждой из них (приблизительно для их геометрических центров) нами были измерены угловые расстояния относительно полуденной линии (таб. 12).

Таблица 12. Угловые расстояния до меток венчика относительно полуденной линии. Z – номер метки; H'_z - угловое расстояние относительно полуденной линии.

Z	H'_z , (°)	Z	H'_z , (°)	Z	H'_z , (°)
1	-180.0	23	-86.6	46	38.7
2	-174.7	24	-81.1	47	42.9
3	-168.3	25	-78.2	48	47.9
4	-162.2	26	-69.7	49	52.2
5	-153.7	27	-64.7	50	56.1
6/1	-149.0	28	-59.0	51	63.6
6/2	-143.1	29	-51.6	52	70.5
7	-139.5	30	-44.0	53	78.7
8	-136.2	31	-37.2	54	83.5

9	-132.7	32	-29.5	55	88.2
10	-127.4	33	-22.8	56	92.5
11	-122.4	34	-17.2	57	96.2
12	-119.9	35	-12.5	58	101.2
13	-117.0	36	-6.0	59	106.8
14	-114.3	37	0.3	60	114.0
15	-109.9	38	5.6	61	118.1
16	-108.5	39	11.5	62	124.2
17	-106.3	40	15.8	63	130.7
18	-104.0	41	19.3	64	140.7
19	-100.8	42	24.2	65	149.1
20	-98.1	43	28.0	66	156.0
21	-93.6	44	32.7	67	162.7
22	-89.8	45	36.7	68	172.4

Рисунок 21. Пос. Старопетровское, разрушенный курган, сосуд с метками на внутренней поверхности, прорисовка венчика с метками. Синими линиями обозначены часовые линии горизонтальных солнечных часов с наклонным гномоном. Цифрами нанесены номера меток. Серым цветом отмечены метки, располагающиеся в непосредственной близости от часовых линий. N – истинный Север.

Для всех меток, через которые проходят или поблизости от которых находятся часовые линии (рис. 21), нами было вычислены абсолютные погрешности измеряемого метками времени относительно рассчитанных часовых линий по формуле 17:

$$\Delta t'_z = \frac{\Delta H'_z}{\Delta H'_t} \cdot 30 \quad (17)$$

где $\Delta t'_z$ – абсолютные погрешности измеряемого метками времени относительно рассчитанных часовых линий, $\Delta H'_t = H'_t - H'_{t+0.5}$ - угловое расстояние между соседними часовыми линиями, ближайшими к метке с номером Z (см. таб. 11 и 12), $\Delta H'_z = H'_t - H'_z$ - разность между ближайшей к метке Z часовой линией H'_t и угловым расстоянием метки H'_z относительно полуденной линии.

Результаты вычислений по формуле 17 представлены в таблице 13. Рассматриваемые метки выделены на рисунке 21 серым цветом. Метки венчика, которые не относятся явно

к меткам солнечных часов, изображены на рисунке 21 без цветной заливки. Возможно, что эти метки, за исключением меток 5-9 (об этом см. ниже), могли служить для маскировки технологии измерения времени и препятствовали использованию сосуда, как солнечных часов, без участия его владельца.

Корректное использование старопетровского сосуда, как солнечных часов, могло быть связанным с существованием более точного "циферблата" в виде деревянной крышки-диска, в котором и был укреплен гномон (рис. 18). Такая крышка могла играть роль шкалы с подписями к венчику с метками, аналогично, как L-образные солнечные часы играли роль шкалы с подписями к дисковидным вертикальным солнечным часам [57]. Отсутствие таких вспомогательных подписей препятствовало правильной интерпретации показаний солнечных часов без участия владельца сосуда.

Таблица 13. Абсолютные погрешности измеряемого метками времени относительно рассчитанных часовых линий. Z - номер метки, H'_z - угловое расстояние метки относительно полуденной линии, T – время, H'_t - часовая линия, ближайшая к метке Z , $\Delta H'_z$ - разность между часовой линией H'_t и угловым расстоянием метки H'_z , $\Delta t'_z$ - абсолютная погрешность измеряемого метками времени относительно ближайшей к метке часовой линии.

Z	$H'_z, (^\circ)$	$T, (\text{час})$	$H'_t, (^\circ)$	$\Delta H'_z, (^\circ)$	$\Delta t'_z, (\text{мин})$
1	-180.0	0.0	-180.0	0.0	0.0
2	-174.7	0.5	-174.4	0.3	-1.6
3	-168.3	1.0	-168.7	-0.4	2.1
4	-162.2	1.5	-162.8	-0.6	3.1
10	-127.4	4.0	-127.7	-0.3	1.1
12	-119.9	4.5	-119.1	0.8	-2.8
15	-109.9	5.0	-109.8	0.1	-0.3
19	-100.8	5.5	-100.0	0.8	-2.5
22	-89.8	6.0	-90.0	-0.2	0.6
25	-78.2	6.5	-80.0	-1.8	5.4
26	-69.7	7.0	-70.2	-0.5	1.5
28	-59.0	7.5	-60.9	-1.9	6.1
29	-51.6	8.0	-52.3	-0.7	-2.4
30	-44.0	8.5	-44.2	-0.2	-0.7
31	-37.2	9.0	-36.7	0.5	-2.0
32	-29.5	9.5	-29.8	-0.3	-1.3
33	-22.8	10.0	-23.3	-0.5	-2.3
34	-17.2	10.5	-17.2	0.0	0.0
35	-12.5	11.0	-11.3	1.2	6.1
36	-6.0	11.5	-5.6	0.4	2.1
37	0.3	12.0	0.0	-0.3	1.6
38	5.6	12.5	5.6	0.0	0.0
39	11.5	13.0	11.3	-0.2	1.1
40	15.8	13.5	17.2	1.4	-7.2

42	24.2	14.0	23.3	-0.9	4.4
43	28.0	14.5	29.8	1.8	-8.3
45	36.7	15.0	36.7	0.0	0.0
47	42.9	15.5	44.2	1.3	-5.2
49	52.2	16.0	52.3	0.1	-0.4
51	63.6	16.5	60.9	-2.7	9.3
52	70.5	17.0	70.2	-0.3	1.0
53	78.7	17.5	80.0	1.3	-4.0
55	88.2	18.0	90.0	1.8	-5.4
58	101.2	18.5	100.0	-1.2	3.6
59	106.8	19.0	109.8	3.0	-9.2
61	118.1	19.5	119.1	1.0	-3.2
62	124.2	20.0	127.7	3.5	-12.1
63	130.7	20.5	135.8	5.1	-19.0
64	140.7	21.0	143.3	2.6	-10.4
65	149.1	21.5	150.2	1.1	-4.8
66	156.0	22.0	156.7	0.7	-3.2
67	162.7	22.5	162.8	0.1	-0.5
68	172.4	23.5	174.4	2.0	-10.5

Средняя абсолютная погрешность измерения времени в диапазоне от 8 до 13 часов Δt_z _{ср} ≈ 1.8 минуты оказалась минимальной по сравнению с другими диапазонами, так же, как и рассчитанное по формуле, аналогичной формуле 4, соответствующее среднее квадратичное отклонение σ ≈ 1.6 минуты. Т.е. в этом диапазоне измерение времени могло производиться с максимальной точностью, что свидетельствует о ключевой роли этого диапазона в технологии измерения времени с помощью рассматриваемых солнечных часов. Т.к. в этом диапазоне находится метка 12 часов, а с 12-тью часами связано такое легко фиксируемое явление, как самая короткая тень на протяжении светового дня, то указанный диапазон мог использоваться для контроля пространственной ориентации сосуда, а также для контроля скорости наполнения сосуда и измерения отклонения показаний солнечных часов от показаний водяных часов - измерения величины уравнения времени (см. формула 13).

Аналогично рассчитанная нами средняя абсолютная погрешность для диапазона, включающего все метки, Δt_z _{ср} ≈ 3.9 минуты, среднее квадратичное отклонение σ ≈ 3.9 минуты.

Рассчитанная средняя абсолютная погрешность для временного диапазона, не относящегося к рабочему диапазону солнечных часов, от 20-ти до 4-х часов утра имеет максимальное значение по сравнению со всеми другими диапазонами: Δt_z _{ср} ≈ 5.5 минуты, а среднее квадратичное отклонение σ ≈ 5.7 минуты. Это вполне ожидаемый результат для диапазона меток, который не мог участвовать в непосредственном измерении времени с помощью солнечных часов.

К рабочему диапазону солнечных часов, определяемому временем восхода и захода Солнца в день летнего солнцестояния, относятся только метки с 4-х до 20-ти часов. Рассчитанная нами средняя абсолютная погрешность для этого диапазона: Δt_z _{ср} ≈ 3.4

минуты, среднее квадратичное отклонение $\sigma \approx 3.1$ минуты. Средняя абсолютная погрешность для временного диапазона, ограниченного временем восхода и захода Солнца в дни равноденствия от 6 до 18 часов: $\Delta t'_{z\text{cp}} \approx 3.1$ минуты, среднее квадратичное отклонение $\sigma \approx 2.7$ минуты. Средняя абсолютная погрешность для временного диапазона, ограниченного временем восхода и захода Солнца в дни зимнего солнцестояния от 8 до 16 часов: $\Delta t'_{z\text{cp}} \approx 2.7$ минуты. Рассчитанное среднее квадратичное отклонение $\sigma \approx 2.5$ минуты. Учитывая полученные результаты можно сделать вывод, что в рабочем диапазоне, как для зимнего солнцестояния, так и для равноденствия и летнего солнцестояния, точность возможных измерений времени с помощью меток венчика была приблизительно одинакова и равнялась ≈ 3 минутам.

Таким образом, мы считаем, что метки венчика старопетровского сосуда вполне могли служить часовыми метками солнечных часов с наклонным гномоном. С их помощью во временном диапазоне от 4 до 20 часов могли проводиться измерения времени со средней точностью 3.4 минуты. Эта точность близка по своему значению точности измерения времени с помощью древнеегипетских вертикальных солнечных часов с наклонным гномоном той же эпохи - 3.6 мин [58]. Этот факт косвенно свидетельствует о сходстве и возможной опосредованной передаче технологии измерения времени между рассматриваемыми регионами.

Анализ и интерпретация звездообразных меток венчика

На венчике старопетровского сосуда почти все метки нанесены с помощью ногтевых вдавлений. Однако, метки с номерами 5-8 от них отличаются (рис. 21). Метка с номером 5 напоминает звезду и выполнена с помощью прочерчивания линий из центральной точки тонким острым предметом, видимо, заостренной тростинкой (рис. 22). Метка с номером 6 представляет собой наклонную черту в виде отпечатка тонкой палочки, скорее всего, тоже тростинки. Метки с номерами 7 и 8 напоминают звезды, но имеют значительно меньшие размеры, чем метка 6. Эти метки выполнены с помощью надавливания тонким острым предметом.

Рисунок 22. Пос. Старопетровское, разрушенный курган, сосуд с метками на внутренней поверхности, фрагмент венчика с метками 5-9: **a** - фотография, **b** - прорисовка. Цифрами нанесены номера меток.

Непосредственно под этой группой меток, на внешней боковой поверхности старопетровского сосуда, расположено изображение звезды основной композиции (рис. 23). Мы предположили, что звезда на венчике сосуда так же, как звезда на боковой поверхности, могла символизировать Сириус. В Древнем Египте, по крайней мере, с III тысячелетия до н.э. гелиакическому восходу Сириуса придавалось особенно большое значение, а в Месопотамии, как минимум, с VII века до н.э., регулярно фиксировались гелиакический восход, гелиакический заход и акронический восход (последний восход звезды, видимый после захода Солнца) Сириуса [59, 60].

Рисунок 23. Пос. Старопетровское, разрушенный курган, сосуд с метками на внутренней поверхности: **a** – вид сбоку, **b** – вид сверху. Цифрами обозначены номера меток.

Как уже указывалось выше, явление гелиакического восхода Сириуса характеризуется высотой Сириуса, примерно, от $+2^\circ$ до $+3^\circ$, и высотой Солнца от -8° до -6° [61]. Для гелиакического захода и акронического восхода мы взяли те же значения высот для Солнца и Сириуса. Даты и время этих восходов были вычислены для 1400 года до н.э. с помощью астрономической программы RedShift 7 Advanced. На широте пос. Старопетровское для высоты Сириуса $h \approx +3^\circ$ при высоте Солнца $h \approx -6^\circ$ гелиакический восход Сириуса наблюдался 9.08.1400 BC, примерно, в 3:40, гелиакический заход - 8.11.1400 BC в 6:23, а акронический восход Сириуса - 17.01.1400 BC в 16:51. Метка звезды на венчике сосуда попадает во временной диапазон примерно от двух до четырех часов утра, которому соответствует только гелиакического восхода Сириуса.

Гелиакический восход Сириуса в 1400 г. до н.э. наблюдался 9 августа в диапазоне, примерно, ± 100 лет. Вычислив с помощью программы RedShift 7 Advanced время T_s восхода Сириуса для его высоты h_s , равной последовательно $0^\circ, +2^\circ, +3^\circ$ над горизонтом, и, проанализировав его, мы обнаружили, что оно близко времени T_z , отмеченному метками 7, 8 и 9. Вычисление T_z – времени, соответствующего метке с заданным номером Z , проводилось по формулам:

$$\Delta t'_s = \frac{\Delta H'_s}{\Delta H'_t} \cdot 30 \quad (18)$$

$$T_z = T_s + \Delta t'_s \quad (19)$$

где $\Delta t'_s$ – отличие времени, соответствующего метке с номером Z , от времени астрономического события, связанного с видимым положением Сириуса, $\Delta H'_t = H'_t - H'_{t+0.5}$ – угловое расстояние между соседними часовыми линиями, ближайшими по времени к астрономическому событию (см. таб. 11), $\Delta H'_s = H'_s - H'_z$ – разность между часовой линией H'_s , соответствующей астрономическому событию, и угловым расстоянием H'_z , на котором находится метка с номером Z относительно полуденной линии, T_z – время, соответствующее метке с номером Z , T_s – время астрономического события, связанного с Сириусом.

Результаты наших расчетов по формулам 18 и 19 представлены в таблице 14.

Таблица 14. Время восхода Сириуса вблизи даты его гелиакического восхода и время, соответствующее меткам 5-9 на венчике старопетровского сосуда. Z – номер метки, h_s – высота Сириуса, h_{sun} – высота Солнца, T_s – время астрономического события, связанного с видимым положением Сириуса, H'_s – угловое расстояние, на котором должна находиться метка относительно полуденной линии, для времени данного астрономического события, H'_z – угловое расстояние, на котором находится метка с номером Z относительно полуденной линии, $\Delta H'_s$ – разность между угловым расстоянием H'_s и угловым расстоянием H'_z , T_z – время, соответствующее метке с номером Z , $\Delta t'_s$ – абсолютное отклонение времени, соответствующего метке с номером Z , от времени астрономического события, связанного с видимым положением Сириуса.

Z	h_s , (°)	h_{sun} , (°)	дата	T_s	H_s' , (°)	H_z' , (°)	$\Delta H_s'$, (°)	$\Delta t'_s$, (МИН)	T_z
5	+0°04'	- 20°03' астрономическая ночь	26.08.1400	2:13	-153.9	-153.7	-0.2	0.9	2:13.9
6/1	+3°07'	17°58' начало астрономических сумерек	26.08.1400	2:34	-149.3	-149.0	-0.3	1.4	2:35.4
6/2	+3°04'	-12°26' начало навигационных сумерек	18.08.1400	3:05	-142.1	-143	0.9	-3.6	3:01.4
7	+0°00',	-8°36'	9.08.1400	3:20	-138.4	-139.5	1.1	-4.4	03:15.6
8	+2°00',	-6°59'	9.08.1400	3:33	-135	-136.2	1.2	-4.5	03:28.5
9	+3°00',	-6°06' начало гражданских сумерек	9.08.1400	3:40	-133.2	-132.7	-0.5	1.9	3:41.9

Анализируя результаты вычислений, представленные в таблице 14, мы можем сделать вывод о том, что метки 5-9 действительно отмечают на венчике сосуда, как на циферблате, моменты времени, которые соответствуют характерным видимым положениям Сириуса на небосклоне вблизи даты его гелиакического восхода. Проследить по времени восход Сириуса с помощью солнечных часов было невозможно. Это можно было сделать только с помощью водяных часов. Видимо, именно для этого и использовался, в первую очередь, старопетровский сосуд.

Самая ранняя по дате и времени из меток 5-9 – метка 7. Она представляет собой малую звездообразную метку, которая располагается у внутренней кромки венчика. Она соответствует видимому пересечению звездой Сириус линии горизонта. Солнце при этом находится, примерно, на 9° ниже горизонта. Такое положение Солнца соответствует навигационным сумеркам, которые характеризуются хорошей видимостью только самых ярких – навигационных звезд, к которым относится и Сириус. Большинство звезд практически невозможно увидеть в непосредственной близости от горизонта, но Сириус является самой яркой звездой ночного неба, что делает возможность такого наблюдения более вероятной при благоприятных погодных условиях. К тому же, окрестности поселка Старопетровского характеризуются равнинным ландшафтом, не препятствующим пригоризонтным наблюдениям (рис. 24). Возможно, наблюдения гелиакического восхода Сириуса велись в направлении небольшого (1° – 2°) естественного понижения горизонта относительно основной линии горизонта, как на фотографии (рис. 24), что и делало возможным его наблюдение в момент времени, соответствующей метке 7.

Рисунок 24. Вид на пос. Старопетровское (на переднем плане) поблизости от разрушенного кургана, где был найден сосуд с метками, на горизонте – трубы Енакиевского металлургического завода (прибл. 4,5 км), вид с запада (фото А.Усачука, сентябрь 2008 г.)

Следующая за ней метка 8 – вторая звездообразная малая метка, которая расположена у внешней кромки венчика. Она соответствует высоте Сириуса $+2^\circ$. Солнце при этом находится, примерно, на 7° ниже горизонта, что так же соответствует навигационным сумеркам. То, что метка 8 похожа по форме и размеру на метку 7, но находится дальше, как бы выше, от места крепления гномона, можно рассматривать, как подтверждение, что обе метки символизируют один и тот же небесный объект – звезду, но на разной высоте над горизонтом. Малый размер этих меток, в таком случае, можно трактовать, как слабую видимость звезды, связанную с ее близостью к горизонту и, одновременно, с близостью ее наблюдения по времени к завершению навигационных сумерек, когда общее освещение увеличивается.

Следующая метка – метка 9 – изображена в виде обычной лунки, выполненной, как ногтевое вдавление. Время, отмеченное этой лункой, совпадает с достижением Сириусом высоты $+3^\circ$. Высота Солнца при этом достигает, примерно, -6° . Это положение Солнца характеризует утреннее завершение навигационных сумерек и начало гражданских сумерек. С этого момента освещение увеличивается настолько, что становятся невидимы даже яркие навигационные звезды. Типичная для меток венчика старопетровского сосуда форма метки 9, скорее всего, и показывает, что Сириус так же становится в этот момент уже невидим.

Как отмечалось выше, отсчет года с дня гелиакического восхода Сириуса в Египте был введен в эпоху, когда Сириус поднимался до высоты $+3^\circ$ в момент, когда Солнце достигало высоты -6° . Метка 9 на венчике фиксирует именно такой момент времени. Т.к. он связан с началом гражданских сумерек и, соответственно, качественным изменением видимости звезд, мы попытались рассчитать даты и время, когда достижение Сириусом высоты $+3^\circ$ совпадало с началом астрономических и навигационных сумерек, т.к. эти моменты также связаны с качественным изменением видимости небесных объектов. Утром начало астрономических сумерек характеризуется достижением Солнца высоты -18° . В этот момент перестает быть видимым Млечный путь и туманности. Остаются видимыми только звезды. После завершения астрономических сумерек, в момент начала навигационных сумерек Солнце достигает высоты -12° . С этого момента становится невидимой основная масса звезд на небе. Как уже отмечалось выше, остаются видимыми только самые яркие – навигационные звезды.

Наши расчеты показали, что датой достижения Сириусом высоты $+3^\circ$ в момент начала навигационных сумерек было 18 августа. Причем, время этой астрономической ситуации совпало со временем, соответствующим краю метки 6, находящемуся ближе к внутреннему краю венчика. Датой достижения Сириусом высоты $+3^\circ$ в момент начала астрономических сумерек оказалось 26 августа. Время этой астрономической ситуации совпало со временем, соответствующим краю метки 6, находящемуся ближе к внешнему краю венчика. Расчеты также показали, что в тот же день - 26 августа - Сириус восходил, находясь на высоте $h \approx 0^\circ$, в момент времени соответствующий метке 5, представляющей

собой прочерченную звезду. В этот момент Солнце находилось на высоте около -20° , что соответствовало периоду астрономической ночи, которая характеризуется высотой Солнца $h < -18^\circ$. Астрономической ночью освещение минимально, поэтому становятся видимыми и доступными для визуального наблюдения даже самые слабые небесные объекты, а Сириус начинает производить впечатление более яркой звезды по сравнению с днем гелиакического восхода и ближайшими к нему днями. Возможно именно с этим связаны большие размеры звездообразной метки 5 по сравнению с малыми звездообразными метками 7 и 8, соответствующими дате гелиакического восхода Сириуса.

Т.к. на венчике старопетровского сосуда к наблюдению Сириуса вблизи даты его гелиакического восхода относится целый ряд меток, фиксирующих время, связанное с особенностью видимого движения Сириуса, на протяжении 17 дней, можно предположить, что с Сириусом связывался весь этот период. Возможно, истоки традиции празднования каникул с дня гелиакического восхода Сириуса [62] связаны именно с наблюдениями за изменением видимости Сириуса на его восходе после дня гелиакического восхода. Наличие на венчике старопетровского сосуда целого ряда меток, связанных с Сириусом, позволяло проводить дублирующие наблюдения Сириуса вблизи дня его гелиакического восхода, например, для коррекции даты начала отсчета астрономического года или же для вычисления этой даты, если, например, плохие погодные условия препятствовали наблюдениям непосредственно в день гелиакического восхода Сириуса.

Заключение

Таким образом, в процессе исследования была создана геометрическая модель старопетровского сосуда с метками на внутренней поверхности, позволившая рассчитать объемы слоев между метками. На основании полученных результатов была выдвинута гипотеза о возможном использовании старопетровского сосуда, как водяных часов накопительного типа. Измерения с помощью воды объема слоев сосуда между метками подтвердили эту гипотезу. С помощью такой разметки старопетровским сосудом можно было измерять временные промежутки длительностью один час с точностью ≈ 9.6 минут. Объем воды для измерения одного часа с помощью старопетровского сосуда оказался приблизительно равен объему воды для измерения того же промежутка времени в древнеавилонских водяных часах.

В рамках данного исследования, для меток на венчике старопетровского сосуда была разработана модель горизонтальных солнечных часов с наклонным гномоном, который крепился на деревянной дисковидной крышке с отверстием для поступления воды. Рассчитанная точность возможных измерений временных промежутков длительностью половина часа с помощью таких солнечных часов в рабочем диапазоне равнялась ≈ 3.4 минуты.

Одновременное измерение времени с помощью водяных часов и солнечных часов позволяло заметить разницу в их показаниях, отражающую отличие среднесолнечного времени от истинного солнечного времени. В связи с этим один из элементов композиции

на внешней поверхности сосуда был интерпретирован, как схематичное изображение изменения величины такого отличия на протяжении года – графика уравнения времени.

Ряд меток на внешней поверхности сосуда и на его венчике был сопоставлен со звездой Сириус и с его гелиакическим восходом. Приводимые в статье результаты астрономических расчетов позволяют утверждать, что астрономическое начало года у срубного населения Северного Причерноморья фиксировалось с момента гелиакического восхода Сириуса.

Другие элементы композиции также удалось сопоставить с астрономическими закономерностями, связанными с видимым движением Солнца на протяжении года.

Таким образом, в процессе проведенного исследования, было установлено, что старопетровский сосуд является самыми древними водяными часами, обнаруженными на территории Европы, и имеют приблизительно такой же возраст, как и самые древние из известных древнеегипетских водяных часов. Подобные сосуды – водяные часы были, в частности, необходимы для разметки солнечных часов, которые уже были обнаружены у срубного населения Северного Причерноморья.

С большой долей вероятности старопетровский сосуд являлся уникальным древнейшим комплексным устройством для измерения времени одновременно и с помощью водяных часов, и с помощью солнечных часов, позволявшим следить за неравномерностью видимого движения Солнца задолго до существующих письменных свидетельств о таком наблюдении.

Благодарности

Авторы выражают искреннюю признательность астроному Европейской Южной Обсерватории Нандо Патат за консультации по работе с программой HORIZONS System.